



ใบรับรองวิทยานิพนธ์

บัณฑิตวิทยาลัย มหาวิทยาลัยเกษตรศาสตร์

วิทยาศาสตร์การประมง (วิทยาศาสตร์การประมง)

ปริญญา

วิทยาศาสตร์การประมง ชีววิทยาประมง
สาขาวิชา ภาควิชา

เรื่อง ปฏิสัมพันธ์ระหว่างปรสิตกลุ่มโมโนจีเนียน กับชีววิทยาการสืบพันธุ์ ของปลาดงกัด Ariidae
ในทะเลสาบสงขลา เขตจังหวัดพัทลุง

Interaction Between Monogenean Parasites and Reproductive Biology of Ariid Catfish,
in Songkhla Lake, Patalung Area

นามผู้วิจัย นายธีรนันท์ เทพรักษ์

ได้พิจารณาหนึ่งรอบโดย

อาจารย์ที่ปรึกษาวิทยานิพนธ์หลัก

(ผู้ช่วยศาสตราจารย์ธนิยฐา บรรพนันทน์ ใจดี, ปร.ด.)

อาจารย์ที่ปรึกษาวิทยานิพนธ์ร่วม

(ผู้ช่วยศาสตราจารย์ธีรุวดี เลิศสุทธิชวาล, Ph.D.)

หัวหน้าภาควิชา

(ผู้ช่วยศาสตราจารย์ณรงค์ วีระไวยะ, M.Sc.)

บัณฑิตวิทยาลัย มหาวิทยาลัยเกษตรศาสตร์รับรองแล้ว

(รองศาสตราจารย์กัญจนा ธีระกุล, D.Agr.)

คณบดีบัณฑิตวิทยาลัย

วันที่ เดือน พ.ศ.

วิทยานิพนธ์

เรื่อง

ปฏิสัมพันธ์ระหว่างปรสิตกุ่มโนนจีนีียน กับชีววิทยาการสืบพันธุ์
ของปลากรดวงศ์ Ariidae ในทะเลสาบสงขลา เขตจังหวัดพัทลุง

Interaction Between Monogenean Parasites and Reproductive Biology
of Ariid Catfish, in Songkhla Lake, Patalung Area

โดย

นายธีรันนท์ เทพรักษ์

เสนอ

บัณฑิตวิทยาลัย มหาวิทยาลัยเกษตรศาสตร์
เพื่อความสมบูรณ์แห่งปริญญาวิทยาศาสตร์มหาบัณฑิต (วิทยาศาสตร์การประมง)

พ.ศ. 2552

ธีรนันท์ เทพรักษ์ 2552: ปฏิสัมพันธ์ระหว่างปรสิตกลุ่มโมโนจีเนียน กับชีววิทยาการสืบพันธุ์ของปลาด้วงค์ Ariidae ในทะเลสาบสงขลา เขตจังหวัดพัทลุง ปริญญา วิทยาศาสตร์มหาบัณฑิต (วิทยาศาสตร์การประมง) สาขาวิทยาศาสตร์การประมง ภาควิชาชีววิทยาประมง อาจารย์ที่ปรึกษาวิทยานิพนธ์หลัก: ผู้ช่วยศาสตราจารย์ ชนิษฐา บรรพนันทน์ ใจดี, ปร.ค. 123 หน้า

ปฏิสัมพันธ์ระหว่างปรสิตกลุ่มโมโนจีเนียน กับชีววิทยาการสืบพันธุ์ของปลาด้วงค์ Ariidae ในทะเลสาบสงขลา เขตจังหวัดพัทลุง โดยศึกษาชีววิทยาเบื้องต้นของการสืบพันธุ์ร่วมกับประชากรของปรสิตโมโนจีเนียนด้วย พบร่วมกับความสัมพันธ์ระหว่างความยาวมาตรฐานและน้ำหนักของปลาด้วงหัวแข็งเพศผู้ และเพศเมีย มีค่าเท่ากับ $W = 0.0807 SL^{2.4249}$ และ $W = 0.1349 SL^{2.2552}$ ตามลำดับ และปลาด้วงหัวอ่อนเพศผู้ และ เพศเมีย พบร่วมกับความยาวมาตรฐานและน้ำหนัก มีค่าเท่ากับ $W = 0.0819 SL^{2.3625}$ และ $W = 0.2072 SL^{2.0698}$ ตามลำดับ อัตราส่วนเพศของปลาด้วงหัวแข็ง และปลาด้วงหัวอ่อน ทั้งจาก 2 ระบบนิเวศ มีค่าเท่ากับ 1 : 1 ขนาดแรกสืบพันธุ์ ปลาด้วงหัวแข็ง เพศเมียในทะเลสาบสงขลา มีความยาวแรกสืบพันธุ์ ระหว่าง 15 ถึง 17 เซนติเมตร และปลาด้วงหัวอ่อน เพศเมียในทะเลสาบสงขลา มีความยาวแรกสืบพันธุ์ ระหว่าง 18 ถึง 22 เซนติเมตร ดัชนีสมบูรณ์ เพศปลาด้วงหัวแข็งในระบบนิเวศนี้สูง จะมีช่วงการผสมพันธุ์ที่เด่นชัด 2 ครั้ง ต่อปี ส่วนในระบบนิเวศน้ำกร่อย จะมีช่วงการผสมพันธุ์เพียงครั้งเดียว ขณะที่ปลาด้วงหัวอ่อนในระบบนิเวศน้ำกร่อย จะมีช่วงการผสมพันธุ์ที่เด่นชัด 2 ครั้ง

ปรสิตกลุ่มโมโนจีเนียนของปลาด้วงหัวแข็ง และปลาด้วงหัวอ่อน ในทะเลสาบสงขลา เขตจังหวัดพัทลุง พบร่วมกับโมโนจีเนียน 2 สกุล คือ *Chauhanellus* และ *Hamatopeduncularia* ทั้งนี้ ปริมาณประชากร และความหนาแน่น โดยรวม *Hamatopeduncularia* จะมีค่าสูงกว่า *Chauhanellus* ความสัมพันธ์ระหว่างประชากรปรสิตโมโนจีเนียนกับปลาด้วงหัวแข็ง และปลาด้วงหัวอ่อน ในบทบาท การเป็นเครื่องหมายธรรมชาติ (biological marker) การแพร่กระจายของโมโนจีเนียน มีแนวโน้มในการผันแปรในเชิงพฤติกรรมกับดัชนีความสมบูรณ์เพศ โดยที่โมโนจีเนียนสกุล *Hamatopeduncularia* มีความโดดเด่นในการปรากฏในปลาด้วงหัวแข็งที่พบในระบบนิเวศที่จำเพาะ จึงมีแนวโน้มที่จะใช้เป็นเครื่องหมายธรรมชาติได้

Theeranun Tapparuk 2009: Interaction Between Monogenean Parasites and Reproductive Biology of Ariid Catfish, in Songkhla Lake, Patalung Area. Master of Science (Fisheries Science), Major Field: Fisheries Science, Department of Fishery Biology. Thesis Advisor: Assistant Professor Thanitha Thapanand-Chaidee, Ph.D. 123 pages.

Interaction between monogenean parasites and reproductive biology of ariid catfish, in Songkhla Lake, Patalung area was determined. Study of primary reproductive biology was also taken. The length-weight relationship of *Arius maculatus* of male and female were $W = 0.0807SL^{2.4249}$ and $W = 0.1349 SL^{2.2552}$ respectively. Those of *Osteogeneiosus militaris* were $W = 0.0819SL^{2.3625}$ for male and $W = 0.8034 SL^{2.0698}$ for female, respectively. Similarly, sex ratio of *A. maculatus* and *O. militaris* from freshwater and brackish-water system were 1:1. Size at first maturity of female *A. maculatus* showed between 15 to 17 cm. and that of female *O. militaris* was between 18 to 22 cm. The gonadosomatic index of *A. maculatus* from freshwater had two reproductive periods per year, while only one time was shown in brackish-water system. Contrarily, *O. militaris* from freshwater system had one reproductive period a year, while in brackish-water system, the fish showed two reproductive periods a year.

Two genera of monogenean parasites were found on both *A. maculatus* and *O. militaris*, *Chauhanellus* and *Hamatopeduncularia*. The interaction between monogenean parasites and their hosts showed that the number and density were inversely varied by host gonadosomatic index. According to monogenean number and density, *Hamatopeduncularia* was potentially suitable to be biological indicator.

Student's signature

Thesis Advisor's signature

กิตติกรรมประกาศ

ผู้วิจัยขอรับขอบพระคุณ ผู้ช่วยศาสตราจารย์ธนิษฐา ทรงพันธุ์ ใจดี ประธานกรรมการ
ที่ปรึกษาวิทยานิพนธ์ ผู้ช่วยศาสตราจารย์ธีรัฐ ลีสุทธิชวาล กรรมการที่ปรึกษาวิทยานิพนธ์ ที่ให้
คำปรึกษาในการเรียน การค้นคว้าวิจัย ตลอดจนการตรวจแก้ไขวิทยานิพนธ์จนกระทั่งเสร็จสมบูรณ์
และขอขอบพระคุณ ผู้ช่วยศาสตราจารย์วัชริยา ภูริวิโรจน์กุล ประธานการสอบ และรองศาสตราจารย์
เกริกุณ นิติธรรมยงค์ ผู้ทรงคุณวุฒิภายนอก สำหรับคำแนะนำ รวมทั้งตรวจแก้ไขวิทยานิพนธ์ฉบับนี้ให้
มีความสมบูรณ์ยิ่งขึ้น

ขอรับขอบพระคุณคณาจารย์ทุกท่านที่ได้อบรมสั่งสอน ว่ากล่าวตักเตือน และเคยให้
กำลังใจเสมอ และขอขอบคุณสามารถห้องปฏิบัติการวิจัยชีวประวัติสัตว์น้ำและพลาสติร์การ
ประเมิน ภาควิชาชีววิทยาประมง คณะประมง มหาวิทยาลัยเกษตรศาสตร์ และห้องปฏิบัติการ โรค
สัตว์น้ำ สาขาวิชาประมง คณะเกษตรศาสตร์ มหาวิทยาลัยเทคโนโลยีราชมงคลศรีวิชัย วิทยาเขต
นครศรีธรรมราช ทุกคนที่ช่วยเหลือในการเก็บรวบรวมข้อมูล เป็นอย่างดีตลอดระยะเวลาการวิจัย

ด้วยความคิดหรือประโยชน์อันได้เนื่องจากวิทยานิพนธ์เล่มนี้ ขอขอบคุณพ่อ คุณแม่ ที่เคย
ให้การสนับสนุน อบรมสั่งสอน และเคยให้กำลังใจผู้วิจัยในทุกเรื่องเสมอมา

ธีรันันท์ เทพรักษ์
กรกฎาคม 2552

สารบัญ

หน้า

สารบัญ	(1)
สารบัญตาราง	(2)
สารบัญภาพ	(4)
คำนำ	1
วัตถุประสงค์	3
การตรวจเอกสาร	4
อุปกรณ์และวิธีการ	19
ผลและวิจารณ์	25
สรุปและข้อเสนอแนะ	63
สรุป	63
ข้อเสนอแนะ	65
เอกสารและลิ้งค้างอิง	66
ภาคผนวก	72
ประวัติการศึกษา และการทำงาน	123

สารบัญตาราง

	ตารางที่	หน้า
1	ความสัมพันธ์ระหว่างความยาวมาตราฐาน และน้ำหนักตัว ของปลากรดหัวแข็ง	27
2	อัตราส่วนเพศผู้ต่อเพศเมียของปลากรดหัวแข็ง บริเวณระบบนิเวศน้ำจืด	29
3	อัตราส่วนเพศผู้ต่อเพศเมียของปลากรดหัวแข็ง บริเวณระบบนิเวศน้ำกร่อย	30
4	ความสัมพันธ์ระหว่างความยาวมาตราฐาน และน้ำหนักตัว ของปลากรดหัวอ่อน	37
5	อัตราส่วนเพศผู้ต่อเพศเมียของปลากรดหัวอ่อน บริเวณระบบนิเวศน้ำจืด	38
6	อัตราส่วนเพศผู้ต่อเพศเมียของปลากรดหัวแข็ง บริเวณระบบนิเวศน้ำกร่อย	39
7	ความชุกชุม และความหนาแน่น ของโโมโนนจีเนียนสกุล <i>Chauhanellus</i> และ <i>Hamatopeduncularia</i> ในปลากรดหัวแข็งและปลากรดหัวอ่อน	49
8	ปริมาณประชากร โโมโนนจีเนียน (ตัว) ในปลากรดหัวแข็งและปลากรดหัวอ่อน บริเวณระบบนิเวศน้ำจืด	51
9	ความหนาแน่นของ โโมโนนจีเนียน ในปลากรดหัวแข็ง และปลากรดหัวอ่อน บริเวณระบบนิเวศน้ำจืด	52
10	ปริมาณประชากร โโมโนนจีเนียน (ตัว) ในปลากรดหัวแข็งและปลากรดหัวอ่อน บริเวณระบบนิเวศน้ำกร่อย	55
11	ความหนาแน่นของ โโมโนนจีเนียน ในปลากรดหัวแข็ง และปลากรดหัวอ่อน บริเวณระบบนิเวศน้ำกร่อย	56
12	ความสัมพันธ์ระหว่างเพศของปลา กับการเข้าเกาะอาศัยของ โโมโนนจีเนียน บริเวณ ระบบนิเวศน้ำจืด	61
13	ความสัมพันธ์ระหว่างเพศของปลา กับการเข้าเกาะอาศัยของ โโมโนนจีเนียน บริเวณระบบนิเวศน้ำกร่อย	62

ตารางผนวกที่

1	ข้อมูลความยาวเหยียด (เซนติเมตร) ความยาวมาตราฐาน (เซนติเมตร) น้ำหนักตัว (กรัม) เพศ และน้ำหนักกรังไช่ (กรัม) ของปลากรดหัวแข็ง ในระบบนิเวศน้ำจืด	73
---	---	----

สารบัญตาราง (ต่อ)

ตารางผนวกที่	หน้า
2 ข้อมูลความพยายามเหยียด (เซนติเมตร) ความพยายามมาตรฐาน (เซนติเมตร) น้ำหนักตัว (กรัม) เพศ และน้ำหนักกรังไช่ (กรัม) ของปลาคอดหัวแข็ง ในระบบนิเวศน์กรร้อย	84
3 ข้อมูลความพยายามเหยียด (เซนติเมตร) ความพยายามมาตรฐาน (เซนติเมตร) น้ำหนักตัว (กรัม) เพศ และน้ำหนักกรังไช่ (กรัม) ของปลาคอดหัวอ่อน ในระบบนิเวศน์น้ำจืด	97
4 ข้อมูลความพยายามเหยียด (เซนติเมตร) ความพยายามมาตรฐาน (เซนติเมตร) น้ำหนักตัว (กรัม) เพศ และน้ำหนักกรังไช่ (กรัม) ของปลาคอดหัวอ่อน ในระบบนิเวศน์กรร้อย	106
5 ดัชนีความสมบูรณ์เพศ ของปลาคอดหัวแข็ง บริเวณระบบนิเวศน์น้ำจืด	119
6 ดัชนีความสมบูรณ์เพศ ของปลาคอดหัวแข็ง บริเวณระบบนิเวศน์กรร้อย	120
7 ดัชนีความสมบูรณ์เพศ ของปลาคอดหัวอ่อน บริเวณระบบนิเวศน์น้ำจืด	121
8 ดัชนีความสมบูรณ์เพศ ของปลาคอดหัวอ่อน บริเวณระบบนิเวศน์กรร้อย	122

สารบัญภาพ

ภาพที่		หน้า
1	การแพร่กระจายของปลาในกลุ่ม Ariidae	4
2	ปลากรดหัวแข็ง	6
3	การแพร่กระจาย ของปลากรดหัวแข็ง	6
4	ปลากรดหัวอ่อน	8
5	การแพร่กระจาย ของปลากรดหัวอ่อน	9
6	กลุ่มน้ำทะเลสาบสังขลา	14
7	กลุ่มน้ำทะเลสาบสังขลา	19
8	ความสัมพันธ์ระหว่างความยาวมาตรฐานและน้ำหนักของปลากรดหัวแข็งเพศผู้	26
9	ความสัมพันธ์ระหว่างความยาวมาตรฐานและน้ำหนักของปลากรดหัวแข็งเพศเมีย	27
10	ความสัมพันธ์ระหว่าง สัดส่วนสัดวันน้ำวัยเจริญพันธุ์ต่อเพศเมียทั้งหมดกับความ ความยาวค่ากลางของปลากรดหัวแข็ง เพศเมียบริเวณระบบนิเวศน้ำจืด	31
11	ความสัมพันธ์ระหว่าง สัดส่วนสัดวันน้ำวัยเจริญพันธุ์ต่อเพศเมียทั้งหมดกับความ ความยาว ค่ากลางของปลากรดหัวแข็ง เพศเมียบริเวณระบบนิเวศน้ำกร่อย	32
12	ค่าเฉลี่ยดัชนีสมบูรณ์เพศของปลากรดหัวแข็งในทะเลสาบสังขลา เขตจังหวัดพัทลุง	34
13	ความสัมพันธ์ระหว่างความยาวมาตรฐานและน้ำหนักของปลากรดหัวอ่อนเพศผู้	35
14	ความสัมพันธ์ระหว่างความยาวมาตรฐานและน้ำหนักของปลากรดหัวอ่อนเพศเมีย	36
15	ความสัมพันธ์ระหว่าง สัดส่วนสัดวันน้ำวัยเจริญพันธุ์ต่อเพศเมียทั้งหมดกับความ ความยาวค่ากลางของปลากรดหัวอ่อน เพศเมียบริเวณระบบนิเวศน้ำจืด	40
16	ความสัมพันธ์ระหว่าง สัดส่วนสัดวันน้ำวัยเจริญพันธุ์ต่อเพศเมียทั้งหมดกับความ ความยาวค่ากลางของปลากรดหัวอ่อน เพศเมียบริเวณระบบนิเวศน้ำกร่อย	41
17	ค่าเฉลี่ยดัชนีสมบูรณ์เพศของปลากรดหัวอ่อน ในทะเลสาบสังขลา ^{***} เขตจังหวัดพัทลุง	43
18	<i>Chauhanellus</i> sp.	45
19	โครงสร้างภายในอโพสแฟพเตอร์ ของ <i>Chauhanellus</i> sp.	45
20	<i>Hamatopeduncularia</i> sp.	47

สารบัญภาพ (ต่อ)

	ภาพที่	หน้า
21	โครงสร้างภายในอโพสิสແພເຕອ່ງ ของ <i>Hamatopeduncularia</i> sp.	47
22	ปริมาณประชากรโมโนนจีเนียน ในป่ากุดหัวแม่เงี้งและป่ากุดหัวอ่อน บริเวณระบบนิเวศน้ำจืด	53
23	ความหนาแน่นของโมโนนจีเนียน ในป่ากุดหัวแม่เงี้ง และป่ากุดหัวอ่อน บริเวณระบบนิเวศน้ำจืด	53
24	ปริมาณประชากรโมโนนจีเนียนในป่ากุดหัวแม่เงี้งและป่ากุดหัวอ่อน บริเวณระบบนิเวศน้ำกร่อย	57
25	ความหนาแน่นของโมโนนจีเนียน ในป่ากุดหัวแม่เงี้ง และป่ากุดหัวอ่อน บริเวณระบบนิเวศน้ำกร่อย	57

ปฏิสัมพันธ์ระหว่างปรสิตกลุ่มโมโนเจนีน กับชีววิทยาการสืบพันธุ์ ของปลากรดวงศ์ Ariidae ในทะเลสาบสงขลา เขตจังหวัดพัทลุง

Interaction Between Monogenean Parasites and Reproductive Biology of Ariid Catfish, in Songkhla Lake, Patalung Area

คำนำ

การศึกษาด้านปรสิตสัตว์น้ำที่ผ่านมา ส่วนใหญ่เป็นเรื่องของความเสียหาย หรือ ไทยที่เกิดจากปรสิต โดยเฉพาะปรสิตภายนอก (external parasite) ที่พบในปลาขนาดเล็ก และน้ำกร่อย ที่มีความ สำคัญทางเศรษฐกิจหลายชนิด (ธีรุณี, 2543) แต่มีนักวิทยาศาสตร์อีกกลุ่มนึงกลับใช้ ประโยชน์ จากภาระการเป็นปรสิตของสัตว์น้ำในเชิงนิเวศวิทยา โดยใช้เป็นเครื่องหมายทางชีวภาพ (biological tag) และมีความเป็นไปได้ที่จะใช้เป็นตัวบ่งชี้เรื่องราค่าต่าง ๆ ที่เกี่ยวกับสัตว์น้ำ หรือปลาเจ้า บ้าน (host) ดังจะเห็นได้จากรายงานของ Arthur (1997) ซึ่งกล่าวถึงการใช้ประโยชน์ของปรสิต แต่ ละชนิดที่ มีความต้องการทางสิ่งแวดล้อมเจ้าบ้านที่จำเพาะเจาะจง และมีวงจรชีวิตที่หลากหลาย ดังนั้นการใช้ปรสิตเป็นเครื่องหมายทางชีวภาพ จึงมีประโยชน์สำหรับการศึกษากลุ่มประชากร เช่น ปรสิตที่ตรวจ พนในปลากลุ่มนึง แต่ไม่ถูกพบในปลากลุ่มอื่น ๆ นอกจากนี้ปรสิตยังใช้เป็น เครื่องมือสำหรับการ ศึกษาการอพยพข้ายื่น (Barse and Hocutt, 1990) และศึกษาการเพิ่มขึ้นของ ประชากรของกลุ่ม สัตว์น้ำ รวมไปถึงระยะเวลาการทดแทนที่ของกลุ่มปลาโดยใช้ปรสิตกลุ่มโมโน เจนีน หรือปลิงไส (Monogenean) เป็นตัวบ่งชี้ (Humphreys *et al.*, 1993) ด้วยเหตุที่ปรสิตกลุ่มโมโน โนเจนีน เป็นสัตว์ที่ถือว่ามีวิวัฒนาการต่ำ รักษาลักษณะของความดั้งเดิมอย่างคงที่ และมี ความจำเพาะเจาะจงต่อปลาเจ้าบ้านสูง ซึ่งนักปรสิตวิทยาเชื่อว่าเป็นวิวัฒนาการร่วมระหว่างเจ้าบ้าน และปรสิต (Gussev, 1976; Rohde, 1993)

กลุ่มน้ำทะเลสาบสงขลา ตั้งอยู่บนชายฝั่งด้านตะวันออกของภาคใต้ กลุ่มน้ำทะเลสาบสงขลา เป็นแหล่งน้ำขนาดใหญ่ มีพื้นที่ทั้งหมดประมาณ 8,729 ตารางกิโลเมตร เป็นพื้นที่ผิวน้ำ 1,042 ตารางกิโลเมตร เป็นพื้นที่แผ่นดิน 7,687 ตารางกิโลเมตร และมีทางเปิดออกสู่อ่าวไทยที่ ต.บ่อยาง อ.เมือง จ.สงขลา ครอบคลุมพื้นที่ 3 จังหวัด ได้แก่ จังหวัดพัทลุงทั้งจังหวัด จังหวัดสงขลา จำนวน 12 อำเภอ และจังหวัดนครศรีธรรมราช 2 อำเภอ ทะเลสาบสงขลาเป็นทะเลสาบธรรมชาติที่ใหญ่

ที่สุดของประเทศไทย มีสัณฐานของทะเลสาบแบบลา古น (lagoon) เป็นที่แหล่งรวมของน้ำจากต้นน้ำลำคลองเล็ก ๆ กว่าร้อยสาย อีกทั้งยังมีทางออกสู่ทะเลอ่าวไทย จึงทำให้มีสภาพทางนิเวศที่มีระบบ niwet ของน้ำจืด น้ำกร่อย และน้ำเค็มรวมอยู่ในแหล่งน้ำเดียวกัน อันเป็นลักษณะเฉพาะตัว ดังนี้ ทะเลสาบสงขลาจึงถูกแบ่งออกตามลักษณะของระบบ niwet ได้เป็น 4 ตอน จากตอนบนสุดซึ่งเป็นระบบน้ำจืด จนถึงตอนล่างที่ติดต่อกันอ่าวไทยได้แก่ ทะเลน้อย ทะเลหลวง (ทะเลสาบสงขลาตอนบน) ทะเลสาบ (ทะเลสาบสงขลาตอนกลาง) และทะเลสาบสงขลา (ทะเลสาบสงขลาตอนล่าง) ตามลำดับ ความโดดเด่นของระบบ niwet ในทะเลสาบสงขลานี้ จึงทำให้ทะเลสาบสงขลาเป็นแหล่งอาศัยของสัตว์มีชีวิตหลากหลายชนิด เป็นแหล่งทำประมงที่สำคัญ ที่สามารถสร้างอาชีพ และรายได้แก่ประชากรในพื้นที่ตลอดมา (อังสุนีย์, 2539; นวรัตน์ และคณะ, 2547)

การศึกษาปรสิตในกลุ่มโโนโนจีเนียนของปลาในวงศ์ Ariidae ในแถบเอเชียตะวันออกเฉียงใต้โดย Lim (1994, 1995, 1996) ก่อให้เกิดความสนใจศึกษาเรื่องความสัมพันธ์ระหว่างปรสิตในกลุ่มโโนโนจีเนียน กับกลุ่มประชากรปลาในวงศ์ Ariidae แต่เนื่องจากการศึกษา ในลักษณะเช่นนี้ยังไม่เคยดำเนินการมาก่อนในประเทศไทย จึงเป็นเหตุผลสำคัญที่ศึกษาวิจัยในครั้งนี้ ซึ่งได้ออกศึกษาในบริเวณทะเลสาบสงขลา เขตจังหวัดพัทลุง ซึ่งเป็นระบบ niwet น้ำจืด และน้ำกร่อย สำหรับทะเลสาบสงขลาเป็นทะเลสาบธรรมชาติที่ใหญ่ที่สุดในประเทศไทย มีลักษณะเป็นลา古น จึงมีระบบ niwet ของน้ำจืด น้ำกร่อย และน้ำเค็มรวมอยู่ในแหล่งน้ำเดียวกัน ทะเลสาบสงขลาจึงเป็นแหล่งอาศัยของสัตว์มีชีวิตหลากหลายชนิด เป็นแหล่งประมงที่สำคัญ ที่สามารถสร้างอาชีพ และรายได้แก่ประชากร โดยเดือดศึกษาปลาในวงศ์ Ariidae 2 ชนิด ได้แก่ ปลาจดหัวแข็ง *Arius maculatus* (Thunberg, 1792) และปลาจดหัวอ่อน *Osteogeneiosus militaris* (Linnaeus, 1758) ซึ่งจัดว่าเป็นปลาที่มีความสำคัญทางเศรษฐกิจ ชนิดหนึ่งของทะเลสาบสงขลา สามารถพบปala ทั้ง 2 ชนิดนี้ได้ทั่วไปทั้งในระบบ niwet น้ำกร่อย และน้ำเค็ม จึงทำให้สามารถพัฒนาการแพร่กระจายของปลาชนิดนี้ได้ทั่วไปในทะเลสาบสงขลาทุกตอน แต่ มีปริมาณการจับที่แตกต่างไปตามฤดูกาล นอกจากนี้ยังคาดว่าปลาทั้ง 2 ชนิด อาจมีพฤติกรรมการอพยพ ข้ายกัน แต่เนื่องจากยังไม่มีผู้ทำการศึกษาปลากดหัวแข็ง และปลาจดหัวอ่อน ในทะเลสาบสงขลามา ก่อน จึงจำเป็นต้องเริ่มศึกษาจากชีวิทยาเบื้องต้นของการสืบพันธุ์ของปลาชนิดนี้ รวมไปถึงการศึกษาชนิดและปริมาณของปรสิต ในกลุ่มโโนโนจีเนียน เลพะในบริเวณทะเลสาบสงขลา เขตจังหวัดพัทลุง ซึ่งเป็นตัวแทนทะเลสาบทั้งระบบ niwet น้ำจืด และน้ำกร่อย

วัตถุประสงค์

1. เพื่อศึกษาเปรียบเทียบชีวิทยาเบื้องต้น และการสืบพันธุ์ของประชากรปลากคหัวแม่เงี้ยง และปลากคหัวอ่อน
2. เพื่อศึกษาเปรียบเทียบชนิด และปริมาณของปรสิตกลุ่มโมโนจีเนียนของปลากคหัวแม่เงี้ยง และปลากคหัวอ่อน
3. เพื่อศึกษาความสัมพันธ์ระหว่างประชากรปรสิตโมโนจีเนียนกับปลากคหัวแม่เงี้ยง และปลากคหัวอ่อน ในบทบาทการเป็นเครื่องหมายธรรมชาติ (biological marker)

การตรวจเอกสาร

1. ชีวประวัติของปลาในกลุ่ม Ariidae

ปลาในวงศ์ปลาคดทะเล (Ariidae) จัดอยู่ใน Order Siluriformes เป็นปลาที่อาศัยในบริเวณน้ำกร่อย ปากแม่น้ำ และในทะเล ทั่วเขตตอบอุ่น และเขตหนาวของโลก (ภาพที่ 1) มีลำตัวค่อนข้างยาว รูปร่างคล้ายปลาสวยงามแต่มีส่วนหัวโตกว่าและแบบรวมเล็กน้อย รูปร่างของหัวเป็นรูปกรวยมีสิ่งปักกุ้มแข็งเป็นเกราะ มีครีบแข็งที่ก้านครีบออก ครีบหลังยกสูงมีก้านแข็งคงเช่นเดียวกับครีบออก ครีบไนบันใหญ่ ครีบก้นสั้น ครีบทางเว้าลึก มีหนวด 1-3 คู่รอบปาก บนเพดานมีฟันเป็นแฉบแข็ง รูปกลมรี (ชัยชาญ, 2516; Ricardo *et al.*, 2007)



ภาพที่ 1 การแพร่กระจายของปลาในกลุ่ม Ariidae

ที่มา : Ricardo *et al.* (2007)

อุปนิสัยการกินอาหาร ปลาในกลุ่มนี้เป็นปลาที่หากินตามพื้นน้ำท้องน้ำ โดยมากมีอุปนิสัยในการกินอาหารแบบ omnivore คือ กินพวยชากรพีช ชากระดั๊ว และสัตว์ไม่มีกระดูกสันหลัง (เสาวภา และคณะ, 2548)

เนื่องจากพฤติกรรมการผสมพันธุ์ของปลาในกลุ่มนี้ หลังจากการผสมพันธุ์ภายในอกแล้ว ลักษณะพิเศษประการหนึ่งของปลาที่อยู่ในกลุ่มนี้ คือ ปลาตัวผู้จะทำหน้าที่อ่อนไข่ไว้ในปาก จนกว่าจะฟิก

เป็นตัว ซึ่ง ไข่ของปลาในกลุ่มนี้มีขนาดเส้นผ่านศูนย์กลางสูงสุดประมาณ 1 เซนติเมตร (อุกฤษ, 2551; Balon, 1990; Jeyaseelan, 1998)

สำหรับปลาที่ทำการศึกษาในกลุ่มนี้มี 2 ชนิด กือปลากรดหัวแข็ง *Arius maculatus* (Thunberg, 1792) และปลากรดหัวอ่อน *Osteogeneiosus militaris* (Linnaeus, 1758)

1.1 ปลากรดหัวแข็ง

ปลากรดหัวแข็ง มีชื่อสามัญภาษาอังกฤษว่า spotted catfish และมีชื่อวิทยาศาสตร์ว่า *Arius maculatus* (Thunberg, 1792) Kailola (1999) ได้จัดจำแนกลักษณะทางอนุกรมวิธานดังนี้

Phylum	Chordata
Subphylum	Vertebrata
Class	Actinopterygii
Subclass	Neopterygii
Superorder	Ostariophysi
Order	Siluriformes
Family	Ariidae
Genus	<i>Arius</i>
Species	<i>Arius maculatus</i> (Thunberg, 1792)

ปลากรดหัวแข็ง (ภาพที่ 2) มีลำตัวค่อนข้างยาว บนหัวมีลักษณะเป็นเม็ดหยาบ ร่องบนหัวเริ่มจากจะงอยปาก และยาวไปถึงกระดูกท้ายทอย กระดูกท้ายทอยเป็นรูปสามเหลี่ยมมีความยาวมากกว่าความกว้างตรงส่วนฐาน กระดูกท้ายทอยส่วนปลายจะติดกับกระดูกฐานของก้านครีบแข็งของครีบหลังจะงอยปากค่อนข้างขึ้น หนวดที่ขากรรไกรบนยาวถึงฐานครีบออก หนวดที่ขากรรไกรล่างยาวถึงส่วนหลังของเยื่อบุเหงือก หนวดได้ค้างสั้น ความสูงของครีบหลังมากกว่าความยาวหัว เมื่อไม่รวมจะงอยปาก ก้านครีบแข็งของครีบหลังเป็นเส้นยาวเรียว ด้านหน้าของก้านครีบแข็ง บรรทุก ด้านหลังหักเป็นพื้นเดี่ยง ฐานของครีบ ไขมันขาวเท่ากับฐานครีบหลังที่เป็นก้านครีบอ่อน และเป็น 1 ใน 3 หรือ 1 ใน 4 ของระยะห่างระหว่างครีบหลัง และครีบไขมันครีบไขมันอยู่เหนือ ส่วนกลางของครีบกัน ครีบท้องจะขาวถึงครีบกัน ครีบออกเท่ากับส่วนหัวจากหลังตา ก้านครีบ

แข็งของครีบอ กด้านหน้าเป็นเม็ดด้านหลังหักเป็นฟันเลื่อย ครีบทางแยกลึก ปลายทางชี้แหลม แพนทางบนยาวกว่าแพนทางล่าง ด้านบนลำตัวมีสีขาวเงิน และสีน้ำตาล ด้านท้องมีสีขาว ครีบมีสีเหลือง ครีบไขมันมีจุดสีดำ ฟันบนขากรรไกรเล็กและอ่อน ฟันบนเพดานปากเป็นเม็ดรวมกันเป็นกลุ่มรูปไข่ ซี่กรองมี 14 ซี่ สันทู (ชัยชาญ, 2516)



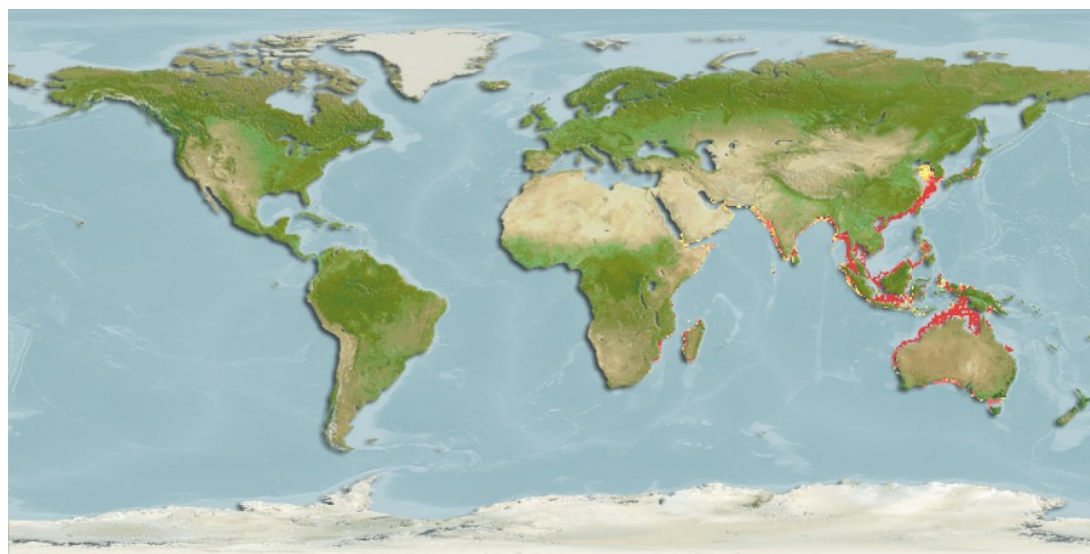
ภาพที่ 2 ปลาคดหัวแข็ง

การแพร่กระจาย

ปลาคดหัวแข็ง เป็นปลาอาศัยในบริเวณน้ำจืด น้ำกร่อย ปากแม่น้ำ และในทะเล ในประเทศไทยพบได้ที่ จังหวัดสมุทรปราการ สมุทรสงคราม จันทบุรี สุราษฎร์ธานี และสงขลา (ชัยชาญ, 2516) ในต่างประเทศมีพื้นแดน Indo-West Pacific ประเทศไทยลังกา ปากีสถาน บังกลาเทศ หมู่เกาะชวา สุมาตรา และบอร์เนียว (Russell and Houston, 1989) (ภาพที่ 3)

อุปนิสัยการกินอาหาร

ปลาคดหัวแข็ง เป็นปลาที่หากินตามพื้นท้องน้ำ กินเนื้อสัตว์เป็นอาหาร โดยกินสัตว์น้ำ และชาตสัตว์เป็นอาหาร องค์ประกอบอาหารในกระเพาะปลาคดหัวแข็ง ส่วนใหญ่กินพากสัตว์น้ำดิน พากครัสตาเชียนเป็นอาหารหลัก รองลงมาเป็นพากหอย และไส้เดือนทะเล ทั้งนี้ขึ้นอยู่กับโครงสร้างทางประชารัฐของสัตว์น้ำดินที่อาศัยอยู่ในแหล่งน้ำนั้น ๆ (เสาวภา และคณะ, 2548)



ภาพที่ 3 การแพร่กระจาย ของปลากรดหัวแข็ง

ที่มา : Rainboth (1996)

1.2 ปลากรดหัวอ่อน

ปลากรดหัวอ่อน มีชื่อสามัญภาษาอังกฤษว่า soldier catfish และมีชื่อวิทยาศาสตร์ว่า *Osteogeneiosus militaris* (Linnaeus, 1758) Kailola (1999) ได้จัดจำแนกกลุ่มณะทางอนุกรมวิธานดังนี้

Phylum	Chordata
Subphylum	Vertebrata
Class	Actinopterygii
Subclass	Neopterygii
Superorder	Ostariophysi
Order	Siluriformes
Family	Ariidae
Genus	<i>Osteogeneiosus</i>
Species	<i>Osteogeneiosus militaris</i> (Linnaeus, 1758)

ปลากรดหัวอ่อน (ภาพที่ 4) มีลำตัวค่อนข้างยาว ส่วนหัวแบบมากปกคลุมด้วยหนังเรียบ ๆ บนหัวมีร่องว่างแต่ยาวไม่ลึกกระดูกห้ายกอย ตาอยู่ทางครึ่งหน้าของส่วนหัว หนวดที่ปากไร้

บนยาวยาไปถึงครึ่งอก ความสูงของครึ่งหลังมากกว่าความยาวของส่วนหัวเมื่อวัดจากหลังตา ก้านครึ่งแข็งของครึ่งหลังสั้นกว่าความยาวหัวเล็กน้อย ด้านหน้าของก้านครึ่งแข็งจะบุบระ ส่วนด้านหลังจะหยักเป็นพื้นเลื่อย ฐานครึ่งไขมันยาวย่างกับฐานครึ่งหลัง ครึ่งไขมันอยู่ตรงข้ามกับครึ่งก้น ความสูงของครึ่งก้นเป็น 2 ใน 3 ของครึ่งหลัง ครึ่งท้องยาวยานี้ 2 ใน 5 ของส่วนหัว จุดเริ่มต้นของครึ่งท้องอยู่ตรงส่วนสันสุดของครึ่งหลัง ก้านครึ่งแข็งของครึ่งอกยาวมากกว่าครึ่งหนึ่งของส่วนหัว และมีหยักทึบสองด้าน ครึ่งหางแยกลึก ลำตัวตอนบนเป็นสีน้ำเงิน ด้านท้องจะมีสีอ่อนกว่า ตอนบนของครึ่งหลัง และครึ่งไขมันมีสีน้ำเงินเข้ม ที่ขากรรไกรบนและล่างมีพื้นเด็กคละอีกด้วย เป็นแถบๆ ที่เพดานปากมีพื้นรูปกรวยอยู่เป็นหมู่รูปๆ คู่ริ่งเลี้ยว ซึ่งรอบบนด้านล่างของโถงเหงือกมีจำนวน 8 คู่ (ชัยชาญ, 2516)



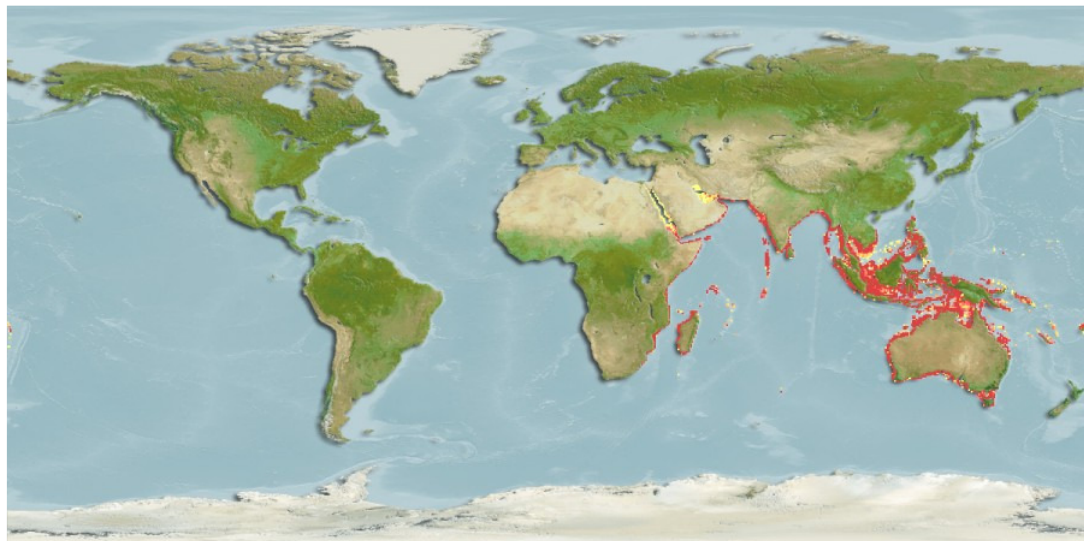
ภาพที่ 4 ปลาகดหัวอ่อน

การแพร่กระจาย

ปลาகดหัวอ่อน เป็นปลาอาศัยในบริเวณน้ำจืด น้ำกร่อย ปากแม่น้ำ และในทะเล ในประเทศไทยพบที่ จังหวัดจันทบุรี สมุทรปราการ สุราษฎร์ธานี และสงขลา (ชัยชาญ, 2516) นอกจากพบในประเทศไทยแล้ว ปลาชนิดนี้ยังมีการแพร่กระจายไปยังกว้างขวาง ในประเทศเวียดนาม อินเดีย พม่า บруไน มาเลเซีย เกาะชวา เกาะสุมาตรา และเกาะบอร์เนียว (Bianchi, 1985) (ภาพที่ 5)

อุปนิสัยการกินอาหาร

ปลากรดหัวอ่อน มีอุปนิสัยการกินอาหารคล้ายกับปลากรดหัวแข็ง แต่แตกต่างกันที่สัดส่วนของอาหารแต่ละชนิดที่บริโภค โดยที่อาหารที่กินมีความหลากหลายน้อยกว่า และขนาดของอาหารที่กินมีขนาดเล็กกว่าปลากรดหัวแข็ง ปลากรดหัวอ่อนเป็นปลาที่หากินตามพื้นน้ำ กินเนื้อสัตว์เป็นอาหารโดยกินสัตว์น้ำ และชากระดูกสัตว์เป็นอาหาร องค์ประกอบของอาหารในระบบทะเลปลากรดหัวอ่อน ส่วนใหญ่กินพวกสัตว์หน้าดินไม่มีกระดูกสันหลัง พากครัวสตาเตี้ยนเป็นอาหารหลัก รองลงมาเป็นพวกหอยและไส้เดือนทะเล (เสาวภา และคณะ, 2548)



ภาพที่ 5 การแพร่กระจาย ของปลากรดหัวอ่อน

ที่มา : Bianchi (1985)

สำหรับจุดสังเกตที่แตกต่างกันอย่างชัดเจนของปลาทั้ง 2 ชนิดนี้ที่เห็นได้จากภายนอก คือ หนวดบริเวณขากรรไกรบน ในปลากรดหัวอ่อนหนวดบริเวณขากรรไกรจะมีลักษณะเป็นก้านแข็ง คล้ายกระดูก ซึ่งเป็นลักษณะสำคัญที่ใช้ในการจัดจำแนกสกุลของปลากรดหัวอ่อน ซึ่งไม่พบในปลากรดหัวแข็ง ส่วนในปลากรดหัวแข็งปลายครีบหลังจะยื่นยาวออกเป็นเส้น (filament) และบริเวณครีบไขมันจะมีจุดสีดำ ซึ่งไม่พบในปลากรดหัวอ่อน

2. ชีววิทยาของปรสิตในกลุ่มโนโนจีเนียน

โนโนจีเนียน หรือที่เรียกกันทั่วไปในชื่อ “ไทยว่า ปลิงไส” จัดเป็นสัตว์กลุ่มนี้ที่มีสมาชิกมากที่สุดใน Phylum Platyhelminthes (หนอนดัวแบบ) โนโนจีเนียนทุกชนิดดำรงชีวิตเป็นปรสิตส่วนใหญ่เป็นปรสิตภายในอก ของปลา รวมทั้งสัตว์ที่ต้องใช้ชีวิตอยู่ในน้ำ (Lerssutthichawal, 1999; Lim, 1998) อย่างไรก็ตาม ปลาจัดเป็นเจ้าบ้าน (host) ที่มีปรสิตกลุ่มนี้มากที่สุด (Euzet and Combes, 1998) ลักษณะพิเศษของโนโนจีเนียนจะมีโครงสร้างที่ใช้ในการยึดเกาะซึ่งจะตั้งอยู่ด้านท้ายตัวเรียกว่า haptor ประกอบด้วยโครงสร้างของอวัยวะชีดเกาะ (haptoral armaments) รูปแบบต่าง ๆ กัน และใช้เป็นลักษณะสำคัญในการจับแนบทองนุกรมวิชาน ลักษณะสำคัญอื่นที่ใช้ประกอบจำแนกชนิดของโนโนจีเนียน ที่ใช้กันส่วนใหญ่ได้แก่ อวัยวะช่วยผสมพันธุ์เพศผู้ (male copulatory organ) อวัยวะช่วยผสมพันธุ์เพศเมีย (vaginal armament) โครงสร้างดังกล่าวมักจะมีสารไคตินเป็นองค์ประกอบ (chitinous structures) จึงทำให้คงทน สังเกตเห็นชัดเจน (Gussev, 1976; Lim, 1991; Lerssutthichawal, 1999)

ปรสิตในกลุ่มโนโนจีเนียนที่พบ จะมีรูปแบบการแพร่กระจายคล้ายคลึงกัน ทั้งนี้จะขึ้นอยู่กับชนิดของเจ้าบ้าน และองศาของความจำเพาะ (degree of specificity) ยกเว้น *Gyrodactylus* ซึ่งเป็นกลุ่มที่พบได้ทั่วไปในจำเพาะต่อกลุ่มปลา ส่วนโนโนจีเนียนกลุ่มอื่น ๆ จะจำเพาะต่อปลา (ธีรรุติ, 2543; Lim, 1998)

ด้วยเหตุที่โนโนจีเนียน เป็นสัตว์ที่ลือว่ามีวิวัฒนาการต่ำ รักษาลักษณะของความดั้งเดิมอย่างคงที่ และมีความจำเพาะเฉพาะเจาะจงต่อปลาเจ้าบ้านสูง (Gussev, 1976) นอกจากนี้ การศึกษาทางสัมฐานวิทยาของโนโนจีเนียนแต่ละชนิด ในสกุลเดียวกัน จึงสามารถนำมาใช้เป็นหลักในการวิเคราะห์ความสัมพันธ์ หรือความใกล้ชิดระหว่างปลาเจ้าบ้าน ได้ (Lerssutthichawal, 1999)

สำหรับปลาในวงศ์ Ariidae มีรายงานว่าพบปรสิตกลุ่มโนโนจีเนียน ที่เกาะอาศัยที่บริเวณเหงือก รวม 2 วงศ์ 4 สกุล คือ Ancylodiscoididae ประกอบด้วย 2 สกุล ได้แก่ *Chauhanellus* (Bychowsky & Nagibina, 1969), *Hamatopeduncularia* (Yamaguti, 1953) และ วงศ์ Neocalceostomatidae ประกอบด้วย 2 สกุล คือ *Neocalceostoma* (Tripathi, 1957) และ *Neocalceostomoides* (Kritsky, Mizelle & Bilquees, 1978) (Lim et al., 2001) โดยที่ 2 สกุลแรก มีความหลากหลายด้านชนิดมากที่สุด ปัจจุบันมีรายงานว่า *Chauhanellus* และ *Hamatopeduncularia* ประกอบด้วยสมาชิก 15 ชนิด

เท่ากัน ที่พบแพร่กระจายในกลุ่มปลากรดสองน้ำสกุล *Arius* และในภูมิภาคเอเชีย ขณะที่ *Neocalceostoma* มีเพียง 1 ชนิด และ *Neocalceostomoides* ประกอบด้วย 3 ชนิดเท่านั้น (Lim, 1994, 1996, 1998)

Lim (1994, 1996) ได้เสนอว่าปรสิต 2 สกุลคือ *Chauhanellus* และ *Hamatopeduncularia* มีความใกล้ชิดกันมาก และเชื่อว่ามีวิวัฒนาการคู่กันมาอย่างนาน มีความจำเพาะกับปลาเจ้าบ้านในวงศ์ Ariidae เท่านั้น ซึ่งนักปรสิตวิทยาเชื่อว่าการที่โนโนจีเนียนมีความจำเพาะต่อเจ้าบ้านนี้ เป็นวิวัฒนาการร่วม (coevolution) (Rohde, 1993) ดังนั้น จึงมีการใช้ประโยชน์ของปรสิตกลุ่มนี้ในการเป็นดัชนีต่าง ๆ รวมทั้งใช้เป็นเครื่องหมายธรรมชาติ (biological markers) สำหรับการจำแนกกลุ่มประชากร และการศึกษาการอพยพข้ายื่น (Arthur, 1997)

ความสำคัญของโนโนจีเนียนในการเป็นเครื่องหมายธรรมชาติ

จากรายงานที่ผ่านมา สามารถระบุได้ว่าโนโนจีเนียนมีความจำเพาะต่อปลาเจ้าบ้านเป็นอย่างยิ่ง (Whittington *et al.*, 2000) ทำให้สนับสนุนสมมติฐาน หรือทฤษฎีที่เกี่ยวข้องกับการใช้ประโยชน์ของปรสิตกลุ่มนี้ ในการเป็นเครื่องหมายธรรมชาติ

ในกรณีของปลาทะเล Rohde (1993) ได้ระบุว่า ประมาณร้อยละ 78 ของโนโนจีเนียน จะจำเพาะต่อชนิดของเจ้าบ้าน และร้อยละ 89 จะมีความจำเพาะในระดับสกุลของเจ้าบ้าน ทั้งนี้ Brooks (1986) รายงานว่าชนิดของโนโนจีเนียนที่มีความจำเพาะต่อเจ้าบ้านยิ่งสูงเท่าใด จะสามารถใช้เป็นหลักฐานในการสืบสานถึงวิวัฒนาการ และแหล่งกำเนิดของปลาเจ้าบ้านได้เท่านั้น

โนโนจีเนียนยังมีการใช้ประโยชน์ต่อการศึกษาอนุกรมวิธาน สายสัมพันธ์ในวิวัฒนาการ (phylogenetic relationship) ตลอดจนลักษณะทางนิเวศวิทยาของปลาเจ้าบ้าน เช่น ปลากราย ซึ่งเดิมจัดอยู่ในสกุล *Notopterus* เช่นเดียวกับปลาสลาด แต่จากการพับโนโนจีเนียนสกุล *Malayanodiscoides* ในปลาสลาด (*Notopterus notopterus*) และ *Notopterodiscoides* ในปลากราย (เดิมมีชื่อวิทยาศาสตร์ว่า *Notopterus chitala*) โดย Lim and Furtado (1986) ทำให้มีการทบทวนถึงอนุกรมวิธานของปลาทั้ง 2 ชนิดนี้ และ ในที่สุด Roberts (1992) จึงเสนอการจัดจำแนกปลาทั้งสองใหม่อีกครั้ง โดยปลาสลาดยังคงใช้ชื่อวิทยาศาสตร์ ชื่อ *Notopterus notopterus* แต่ยังคงปลากรายขึ้นเป็นสกุลใหม่ ในชื่อ *Chitala lopis*

ส่วนในเรื่องของการจำแนกกลุ่มประชารกรปลา และเวลาในการทดสอบที่นั้น Stanley *et al.* (1992) รายงานถึงความเป็นไปได้ในการใช้โนโนจีเนียนเพื่อเป็นเครื่องหมายธรรมชาติ สำหรับในการระบุกลุ่มประชารกรปลา ในเขตแอตแลนติกเหนือ นอกจากนี้ยังมีรายงานว่า *Dactylogyrus spp.* สามารถใช้เป็นตัวชี้วัด ถึงรูปแบบของการกินอาหารของปลา roach (*Rutilus rutilus*) ซึ่งมี 2 กลุ่ม คือ กลุ่มที่อยู่ตามชายฝั่ง ซึ่งจะกินพืชเป็นอาหาร ขณะที่อีกกลุ่ม จะอาศัยอยู่ในที่ลึกกว่า จะกินหอย เป็นอาหาร (Zharikova and Kasyanov, 1997) เช่นเดียวกับ Grutter (1998) ที่เลือกใช้ข้อมูลความชุก ชุม และปริมาณของโนโนจีเนียนกลุ่ม *Benedenia* ในการจำแนกกลุ่มปลา blackeye thicklip (*Hemigymnus melapterus*) 2 กลุ่ม ที่อาศัยอยู่บริเวณ Great Barrier Reef ทางตะวันออกเฉียงเหนือ ของประเทศไทยอสเตรเลีย

นอกจากนี้ยังมีรายงานการใช้ประโยชน์จากโนโนจีเนียน ที่จำเพาะเจาะจงกับปลาทะเลด้วย สกุล ในการเป็นตัวชี้วัดภาวะมลพิษซึ่งเกิดจากการปนเปื้อนของโลหะหนักในทะเลแดง และพบว่า ความชุกชุมของโนโนจีเนียนชนิดต่าง ๆ จะมีค่าสหสัมพันธ์ในเชิงบวกกับปริมาณโลหะหนักที่เพิ่มขึ้น โดยเฉพาะในกุ้ร้อน (Bayoumy *et al.*, 2008)

3. ทะเลสาบสงขลา

กลุ่มน้ำทะเลสาบสงขลา ตั้งอยู่บนชายฝั่งด้านตะวันออกของภาคใต้ (ภาพที่ 6) กลุ่มน้ำทะเลสาบ สงขลาเป็นแหล่งน้ำขนาดใหญ่ มีพื้นที่ทั้งหมดประมาณ 8,729 ตารางกิโลเมตร เป็นพื้นที่ผิวน้ำ 1,042 ตารางกิโลเมตร เป็นพื้นที่แผ่นดิน 7,687 ตารางกิโลเมตร ความยาวประมาณ 150 กิโลเมตร และมี ความกว้างประมาณ 65 กิโลเมตร และมีทางเดินออกสู่อ่าวไทยที่ ต.บ่อยาง อ.เมือง จ.สงขลา ครอบคลุม พื้นที่ 3 จังหวัด ได้แก่ จังหวัดพัทลุง ทั้งจังหวัด จังหวัดสงขลา จำนวน 12 อำเภอ คือ อำเภอเมือง อำเภอหาดใหญ่ อำเภอสะเดา อำเภอรัตนภูมิ อำเภอระโนด อำเภอสทิงพระ อำเภอสิงหนคร อำเภอกระแตสินธุ์ อำเภอควนเนียง อำเภอหาหมื่น อำเภอบางคล้า อำเภอคลองหอยโนง และจังหวัดศรีธรรมราช 2 อำเภอ คือ อำเภอชะواด และอำเภอหัวไทร (สำนักงานนโยบายและแผนทรัพยากรธรรมชาติและ สิ่งแวดล้อม, 2548)

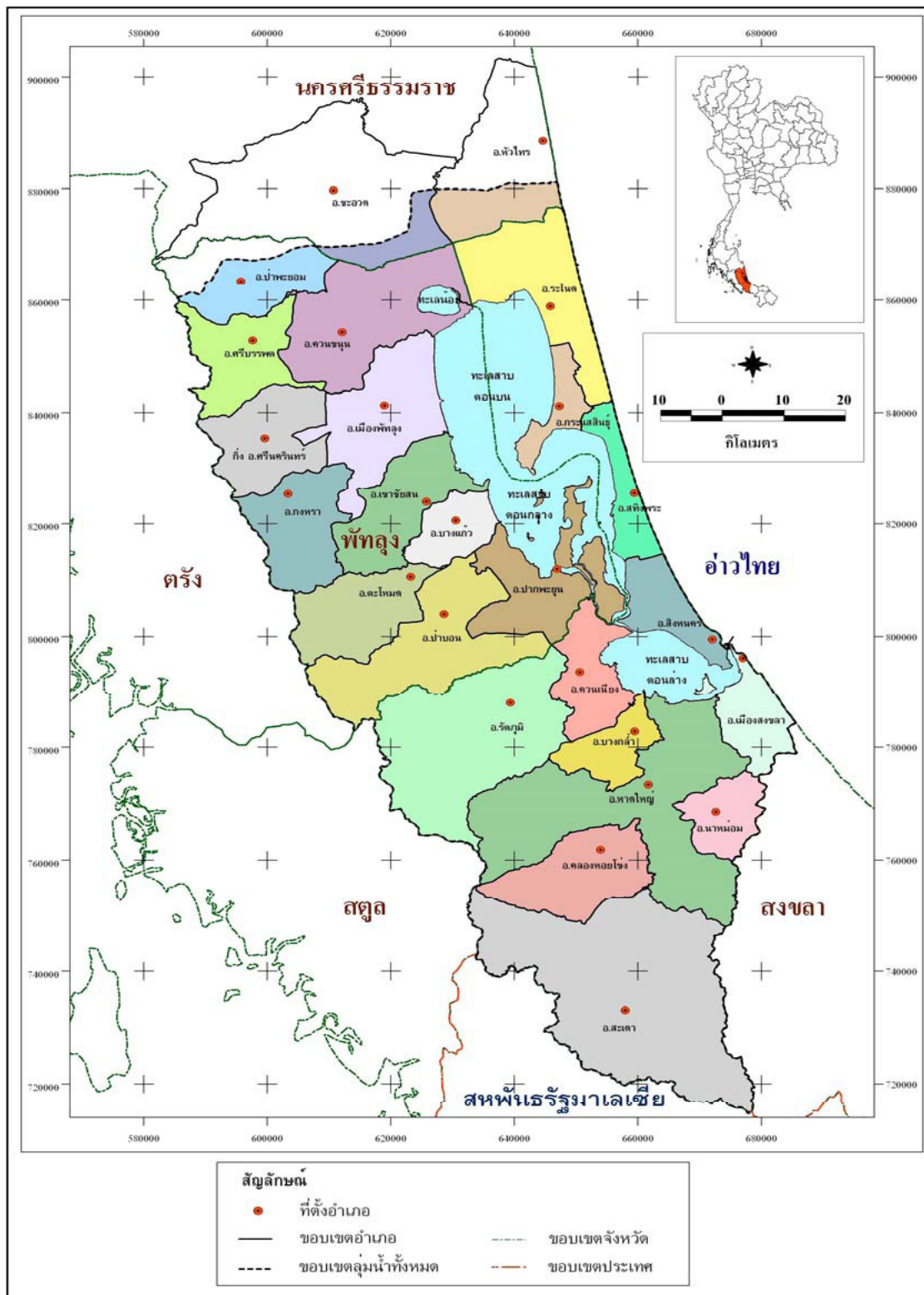
ลักษณะภูมิประเทศ

ด้านตะวันตกของลุ่มน้ำ มีเทือกเขาบรรทัดเป็นสันปันน้ำทอดตัวยาวในแนวเหนือ-ใต้ สูงประมาณ 1,200 เมตร จากระดับน้ำทะเลปานกลาง และลดระดับลงไปทางทิศตะวันออกจนถึงทะเลสาบด้านทิศใต้ของลุ่มน้ำเป็นส่วนหนึ่งของแนวเทือกเขาระนาคคีรี เทือกเขาทั้งสองนี้ปักคู่ไปด้วยป่าไม้ และเป็นแหล่งต้นน้ำของลุ่มน้ำนี้ ถัดจากพื้นที่ภูเขาลงมาจะเป็นที่รับสัมบเนินเขาเดียว เริ่มตั้งแต่ตอนเหนือของนานกันแนวเทือกเขาระทัด ไปจนถึงตอนใต้ของพื้นที่ลุ่มน้ำ ส่วนใหญ่เป็นพื้นที่ป่าดงพารา ถัดลงมาจะเป็นที่รับขนาดใหญ่ ล้อมรอบด้วยทะเลสาบ ส่วนใหญ่เป็นพื้นที่นาข้าว ทางตะวันออกของลุ่มน้ำเป็นที่รับชายฝั่งทะเลติดต่อกันอ่าวไทย

ลุ่มน้ำทะเลสาบสงขลา เป็นลุ่มน้ำที่มีลักษณะเฉพาะแห่งเดียวของประเทศไทยที่ น้ำฝน น้ำจีด จากคลอง และน้ำหลาจากแผ่นดิน ให้ลากพื้นที่ลุ่มน้ำ ลงสู่ทะเลสาบสงขลาซึ่งทำหน้าที่เป็นแหล่งรับน้ำ ก่อนที่น้ำจีดจากแผ่นดินจะไหลออกสู่อ่าวไทย และมีน้ำเค็มจากทะเลเข้ามาผสมผสาน ทำให้มีลักษณะเป็นระบบทะเลสาบแบบลากูน ขนาดใหญ่ การที่ทะเลสาบสงขลาได้รับทั้งน้ำจีด และน้ำเค็ม ทำให้ความเค็มของน้ำในทะเลสาบเปลี่ยนแปลงตามเวลา ขึ้นอยู่กับว่า ช่วงเวลาใดน้ำจีด หรือน้ำทะเล มีอิทธิพลหนึ่งกว่า อากล่าวได้ว่าทะเลสาบสงขลาเป็นทะเลสาบ 3 น้ำ คือ น้ำจีด น้ำกร่อย และน้ำเค็ม ทะเลสาบสงขลาได้รับอิทธิพลจากทั้งน้ำจีดจากดินน้ำ และน้ำเค็มจากทะเล ที่เรียกว่าอสหaur (estuary) เป็นบริเวณที่อุดมสมบูรณ์ไปด้วยทรัพยากรสัตว์น้ำ ดังนั้น “ทรัพยากรน้ำ” และ “ทรัพยากรสัตว์น้ำ” จึงเป็นทรัพยากรที่สำคัญในลุ่มน้ำทะเลสาบสงขลา (สำนักงานนโยบายและแผนทรัพยากรธรรมชาติ และสิ่งแวดล้อม, 2548)

สภาพภูมิอากาศ

สภาพภูมิอากาศของลุ่มน้ำทะเลสาบสงขลาเป็นแบบมรสุมเขตร้อน ลุ่มน้ำทะเลสาบสงขลา ตั้งอยู่บนภาคใต้ฝั่งตะวันออก ทำให้ได้รับอิทธิพลจากลมมรสุมที่สำคัญ 2 ช่วง คือ ลมมรสุมตะวันตกเฉียงใต้ และมรสุมตะวันออกเฉียงเหนือ สามารถแบ่งฤดูกาลออกได้เป็น 2 ฤดู คือ ตั้งแต่เดือนกุมภาพันธ์ ถึงเดือนกรกฎาคมเป็นฤดูร้อน และช่วงปลายเดือนกรกฎาคมถึงเดือนมกราคมเป็นฤดูหนาว โดยจะมีปริมาณฝนมากที่สุดในช่วงเดือนพฤษภาคมของทุกปี (นวัตตน์ และคณะ, 2547)



ภาพที่ 6 ลุ่มน้ำทะเลสาบสงขลา

ที่มา : สำนักงานนโยบายและแผนทรัพยากรธรรมชาติและสิ่งแวดล้อม (2548)

สภาพทางนิเวศวิทยา

ทะเลสาบสงขลาเป็นที่รวมของน้ำจากต้นน้ำลำคลองเล็ก ๆ กว่าร้อยสาย จึงเป็นแหล่งกักเก็บน้ำ และระบายน้ำตามธรรมชาติ ที่มีเอกลักษณ์พิเศษคือ มีระบบนิเวศ 3 ชั้น ที่มีการผสมผสานทั้งน้ำจืด น้ำกร่อย และน้ำเค็ม จึงทำให้มีสภาพทางนิเวศวิทยาที่หลากหลาย ปริมาณและสภาพน้ำในทะเลสาบขึ้นอยู่กับน้ำจืดที่ไหลลงมา และน้ำเค็มจากทะเลทราย โดยทะเลสาบตอนล่างเชื่อมกับอ่าวไทยบริเวณ อ.เมือง จ.สงขลา ทำให้น้ำและระบบนิเวศในทะเลสาบได้รับอิทธิพลจากน้ำทะเล ความเค็มของน้ำในทะเลสาบเปลี่ยนแปลงไปตามฤดูกาล อย่างไรก็ตาม ทะเลสาบสงขามีความต่างของระดับน้ำขึ้น-ลง ไม่มากนัก กล่าวคือ ในฤดูน้ำหลากประมาณเดือนพฤษภาคม ถึงเดือนธันวาคม จะมีน้ำจืดไหลลงสู่ทะเลสาบเป็นจำนวนมาก ซึ่งจะช่วยผลักดันน้ำเค็มออกไปสู่อ่าวไทยในช่วงนี้ น้ำเค็มจะไหลเข้ามาแทนที่ ในช่วงนี้น้ำในทะเลสาบจะกร่อย น้ำเค็มจะไหลเข้ามาแทนที่ ในช่วงนี้น้ำในทะเลสาบจะกร่อย

ทะเลสาบสงขามีลักษณะคดเป็นตอน ๆ สามารถแบ่งทะเลสาบสงขลาตามระบบนิเวศวิทยาออกได้เป็น 4 ตอนใหญ่ ๆ ดังนี้ (นวรัตน์ และคณะ, 2547)

ทะเลน้อย

อยู่ตอนบนสุด มีพื้นที่ประมาณ 28 ตารางกิโลเมตร ความลึกเฉลี่ยประมาณ 1.5 เมตร เป็นทะเลสาบน้ำจืด โดยแยกออกจากทะเลสาบ แต่มีคลองน้ำเรียมเชื่อมต่อแหล่งน้ำทั้งสองเข้าด้วยกัน ทะเลน้อยมีความหลากหลายของพืชพรรณที่พบเห็นได้ทั่วไปโดยรอบได้แก่ ป่าพรุนภาคใหญ่ กะราก วัชพืชพากผักตบชวา นอกจากนี้ ยังเป็นแหล่งน้ำพันธุ์ทั้งนกประจำถิ่น และนกอพยพ นอกจากนี้ทะเลน้อยได้รับการจัดให้เป็นพื้นที่ชุมชนที่มีความสำคัญระดับนานาชาติ (สำนักงานนโยบายและแผนสิ่งแวดล้อม, 2542)

ทะเลหลวง (ทะเลสาบสงขลาตอนบน)

เป็นส่วนบนของทะเลสาบสงขลาตัดจากทะเลน้อยลงมาจนถึงเกาะใหญ่ อำเภอระแศสินธุ เป็นพื้นที่กว้างใหญ่ที่สุด มีพื้นที่ประมาณ 458 ตารางกิโลเมตร ความลึกประมาณ 2 เมตร มีคลอง

ท่าแนะนำท่อง และคลองท่ามະเดื่อ ระบายน้ำสู่ทะเลสาบต่อนบน ทะเลหลวงส่วนนี้ในอดีต เป็นแหล่งน้ำจืดขนาดใหญ่ แต่ในบางปีพบว่ามีการรุกรัตัวของน้ำเค็มค่อนข้างสูงในช่วงฤดูแล้ง

ทะเลสาบ (ทะเลสาบสงขลาตอนกลาง)

อยู่ตั้งจากทะเลหลวงมา ตั้งแต่บริเวณแนวกำแพงใหญ่ทางใต้ ไปบรรจบกับเขตอำเภอ ปากพะยูน จังหวัดพัทลุง อำเภอสหทิพะรา จนถึงบริเวณปากอ่าวแก่อสิงหนคร จังหวัดสงขลา มีพื้นที่ ได้แก่ เกาะสี เกาะห้า (ซึ่งเป็นเกาะที่เป็นสัมปทานรัตนโกสินทร์) เกาะมาก เกาะนางคำ พื้นที่ทะเลสาบ ส่วนนี้เป็นการผสมผสานของน้ำเค็ม และน้ำจืด จึงมีระบบนิเวศน์เป็นทั้งน้ำจืด และน้ำกร่อย ในช่วงที่ เป็นน้ำจืดจะมีพืชน้ำเขียวปกคลุมโดยทั่วไป เช่นต่อ กับทะเลสาบสงขลาตอนล่าง โดยคลองหลวง และ อ่าวห้องแบนมีคลองพรุพ้อ คลองพาน ไทร และคลองป่าบอน ระบายน้ำสู่ทะเลสาบสงขลาตอนกลาง

ทะเลสาบสงขลา (ทะเลสาบสงขลาตอนล่าง)

เป็นส่วนของทะเลสาบตอนนอกสุดที่เชื่อมต่อกับอ่าวไทย มีพื้นที่ประมาณ 182 ตาราง- กิโลเมตร ความลึกประมาณ 1.5 เมตร ยกเว้นช่องแคบที่ติดต่อกับทะเลอ่าวไทย ซึ่งเป็นช่องเดินเรือ มีความลึกประมาณ 12-14 เมตร ทะเลสาบส่วนนี้เป็นบริเวณที่มีน้ำเค็ม แต่บางส่วนในช่วงฤดูฝนจะ เป็นน้ำกร่อย และได้รับอิทธิพลจากน้ำเขื่อนน้ำลำ บริเวณทางตอนใต้มีพื้นที่ป่าชายเลนปกคลุมโดย ทั่วไป แต่ปัจจุบันถูกเปลี่ยนไปเป็นพื้นที่อาชญาภาพ พื้นที่เพาะปลูกกุหลาบ และการเพาะปลูกข้าว ชาฝั่ง มีคลองหลายสายที่ระบายน้ำสู่ทะเลสาบสงขลาตอนล่าง ได้แก่ คลองอู่ตะเภา คลองรัตภูมิ คลองบางโหนด เป็นต้น

ด้วยระบบนิเวศที่ซับซ้อน ลุ่มน้ำทะเลสาบสงขลาจึงมีความอุดมสมบูรณ์ของความหลากหลาย สายพันธุ์ชีวภาพ ทั้งสัตว์น้ำ และพืชพรรณธรรมชาติต่าง ๆ รวมทั้งยังเป็นฐานการดำรงชีวิต และการ พลิกทางเศรษฐกิจของประชาชนบริเวณลุ่มน้ำทะเลสาบสงขลา มาเป็นเวลานาน ทั้งการเพาะปลูกข้าว พลไม้ ยางพารา การเลี้ยงสัตว์ การทำประมง และการเพาะปลูกสัตว์น้ำชาฝั่ง (การเลี้ยงปลาในกระชัง การเลี้ยงหอย และการทำนากุ้ง) ลุ่มน้ำทะเลสาบสงขลาซึ่งเป็นแหล่งน้ำจืดเพื่อการชลประทาน นอกจากนี้ยังเป็นแหล่งศักดิ์ปัจฉนธรรม และสภาพธรรมชาติที่สวยงาม โดยเฉพาะบริเวณ คานสมุทร สหทิพะรา ที่เป็นแหล่งชุมชนโบราณ บริเวณอุทยานน้ำคูขุด อุทยานนกน้ำ ทะเลน้อย

พื้นที่และทรัพยากรที่อุดมสมบูรณ์ค่าง ๆ ในลุ่มน้ำทะเลสาบสงขลา ได้ถูกนำไปใช้ประโยชน์เพื่อการผลิตทางเศรษฐกิจอย่างหนัก และต่อเนื่องมาเป็นเวลานาน โดยปราศจากการอนุรักษ์ฟื้นฟูให้เหมาะสม ทำให้ทรัพยากรธรรมชาติ และสิ่งแวดล้อมเสื่อมโทรมลงอย่างรวดเร็วทั้งที่ดิน ป่าดันน้ำป่าชายเลน ป่าพรุ อันที่อยู่อาศัย พืชพรรณ และสัตว์น้ำต่าง ๆ ถูกทำลายจนเกิดการร่อนร่อยหรือ แฉลงของความหลากหลายทางชีวภาพในพื้นที่ และยังส่งผลกระทบต่อเนื่องทำให้เกิดปัญหาการดื้อเบินของทะเลสาบ และคลอง คุณภาพน้ำเสื่อมโทรม ปริมาณสัตว์น้ำลดลง ปริมาณน้ำจืดไม่พอใช้ในฤดูแล้ง มีความชัดเจ็นของการใช้น้ำระหัวงาชุมชน ส่งผลกระทบต่อวิถีชีวิตและคุณภาพชีวิตของประชาชน ในพื้นที่แสดงให้เห็นถึงความไม่ยั่งยืนของลุ่มน้ำทะเลสาบสงขลา

4. การประมงในลุ่มน้ำทะเลสาบสงขลา

ความหลากหลายของสัตว์น้ำในลุ่มน้ำทะเลสาบสงขลา ลุ่มน้ำทะเลสาบสงขามีความหลากหลายของพันธุ์สัตว์น้ำสูง พบรสัตว์น้ำจำพวกปลาในทะเลสาบสงขลา ทั้งปลาบ้ากร้อย และปลาบ้าจีดมากกว่า 500 ชนิด ถึง 30 ชนิด กึ่งตื๊กแตน ปูทะเล และหมึกอีกประมาณ 20 ชนิด สัตว์น้ำชนิดเด่น ในทะเลน้อย พบปลาสลาด ปลาหม้อซ้างเหี้ยม ปลาแซง ปลาเนื้ออ่อน และกุ้งน้ำจืด ในทะเลสาบตอนบน พบปลาดุกดิบ และปลามะลิ ทะเลสาบตอนกลาง พบปลาดุกดิบ และกุ้งทะเล โดยเฉพาะกุ้งตะคาด ปลาแมว ปลาโโคป ปลาดุก ในทะเลสาบตอนล่าง พบกุ้งทะเลเกือบทุกชนิด ปลากระบอก ปลากระพงขาว ปลาดุกดิบ ปลาช่อนราย และยังพบว่าสัตว์น้ำบางชนิดได้สูญพันธุ์ หรือเกือบสูญพันธุ์ไปจากลุ่มน้ำทะเลสาบสงขลาแล้ว เช่น ปลาดุกคำพัน (*Prophagorus nieuhofii*) ปลาพรุ (*Thynnichthys thynnoides*) ปลาเม่น (*Osphronemus goramy*) ปลาคุ่ม (*Puntius bulu*) ปลาล้าป่า (*Puntius schwanenfeldii*) ทั้งนี้รวมทั้งสัตว์อื่นที่อาศัยอยู่ในลุ่มน้ำบางชนิด เช่น นาค (*Lutra spp.*) นกกาบบัว (*Mycteria leucocephala*) และโลมาอิรุวดี (*Orcaella brevirostris*) (สำนักงานนโยบายและแผนทรัพยากรธรรมชาติและสิ่งแวดล้อม, 2548)

การประมงในลุ่มน้ำทะเลสาบสงขลา การประมงในบริเวณนี้ มีความแตกต่างกันตามสภาพพื้นที่ และสภาพทรัพยากรพบว่า ทะเลสาบตอนล่างเป็นบริเวณที่มีการทำประมงหนาแน่นที่สุด ทะเลสาบตอนกลาง และทะเลน้อยมีความหนาแน่นน้อยกว่าบริเวณทะเลสาบตอนล่าง บริเวณพรุ คุนเครึง จะทำประมงกันมากในฤดูน้ำหลาก และมีการขุดบ่อล่อปลาเพื่อจับปลาในฤดูแล้ง (สำนักงานนโยบายและแผนทรัพยากรธรรมชาติและสิ่งแวดล้อม, 2548)

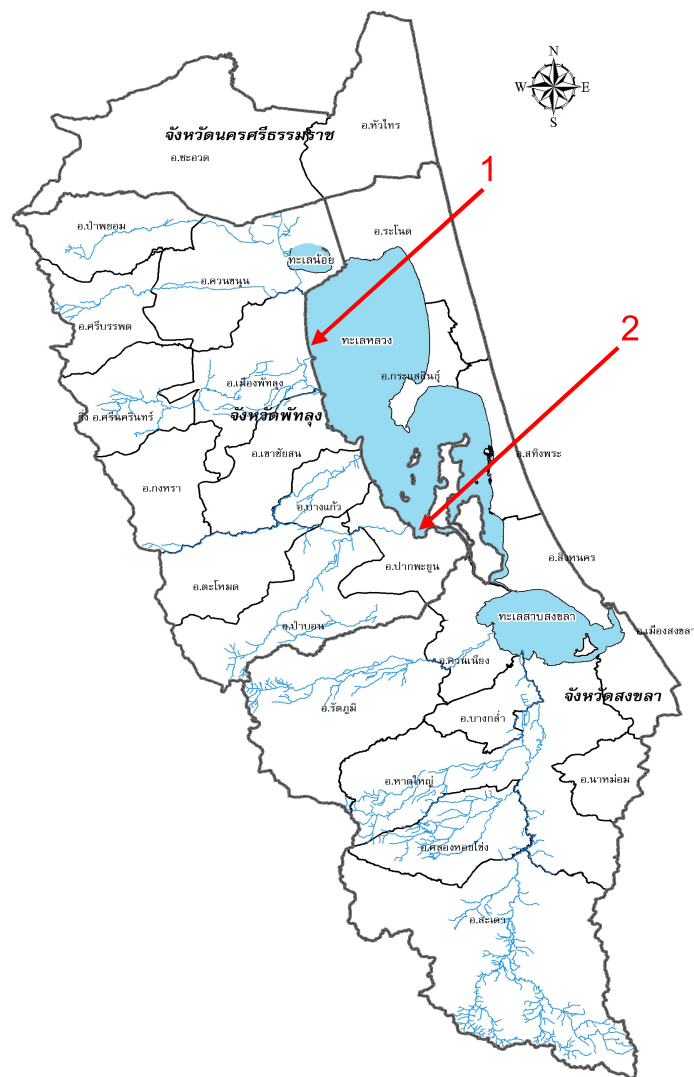
ชุมชนประมง ชาวประมงในลุ่มน้ำทะเลสาบส่งคลาส่วนใหญ่ทำประมงมาตั้งแต่ดั้งเดิม และมักจะมีพื้นที่ของทะเลสาบบริเวณหน้าบ้าน หรือบริเวณรอบที่ตั้งของชุมชนเป็นขอบเขตของ ตนเองมาตั้งแต่บรรพบุรุษ อีกทั้งยังมีการติดตั้งเครื่องมือประมงประจำที่ เช่น ไชนั่ง โพงพาง โป๊ะ บาน โนมะระ เป็นต้น พบร่วมกับอาชีพอื่น ในบริเวณทะเลน้อย ซึ่งมีสัดส่วนของผู้ทำประมงค่อนข้างสูง มีการทำประมงตลอดปี แต่มีผู้ทำประมงอย่างเดียวเพียงร้อยละ 10 เท่านั้น เนื่องจากการทำประมงในทะเลสาบส่งคลาเป็น ประมงขนาดเล็ก

เครื่องมือประมง บริเวณทะเลสาบทอนล่าง เครื่องมือประมงที่พบได้แก่ ไชนั่ง บาน โนมะระ โพงพาง awanrun awanhabtaling กัดสามชั้น ป้ายหรือกัด awanplakaphengxaw แหนด แห แและกร่า บริเวณ นี้เป็นพื้นที่ที่มีการใช้เครื่องมือประมงหลากหลายที่สุด เครื่องมือบางชนิดพบใช้เฉพาะบริเวณปาก ทะเลสาบส่งคลา เช่น awanhabtaling บาน โพงพาง และawanplakaphengxaw ในบริเวณทะเลสาบทอนบน เครื่องมือประมงที่ใช้คือ ไชนั่ง โนมะระ กัดสามชั้น awanlomขนาดเล็ก ไซ (ไชนอน) เบ็คราว เบ็คชง และลันปลาไหล ในบริเวณพรุควนเครึง พบเครื่องมือประมงที่ใช้คือ กัด (ปาย) ไซ awanlomขนาดเล็ก ลันปลาไหล เบ็คชง แห และยอดใหญ่ นอกจากนี้ ยังพบมีการขุดบ่อล่อปลาขนาดต่าง ๆ อีกทั้งยัง มีรายงานการลักษณะจับปลาด้วยวิธีการที่ผิดกฎหมาย และทำลายล้างในพื้นที่พรุ โดยการใช้เครื่องมือ ข้อตปลา และยาเบื้องปลา (สำนักงานนโยบายและแผนทรัพยากรธรรมชาติและสิ่งแวดล้อม, 2548)

อุปกรณ์และวิธีการ

1. การกำหนดจุดเก็บตัวอย่างสัตว์น้ำ

กำหนดจุดเก็บตัวอย่างปลา โดยแบ่งเป็น 2 ระบบนิเวศ (ภาพที่ 7) คือระบบนิเวศน้ำจืด ซึ่งได้แก่บริเวณท่าขึ้นปลา บ้านปากประ ตำบลลำป้า อำเภอเมือง จังหวัดพัทลุง บริเวณนี้จัดอยู่ใน



ภาพที่ 7 ลุ่มน้ำทະເລາບສັງຄາ

1: ท่าขึ้นปลาบ้านปากประ ตำบลลำป้า อำเภอเมือง จังหวัดพัทลุง

2: ท่าขึ้นปลาตลาดสด อำเภอปากพะยูน จังหวัดพัทลุง

ที่มา: ดัดแปลงจาก: นวัตตน์ และคณะ (2547)

2. การเก็บรวบรวมตัวอย่างปลา

สั่งตัวอย่างปลาคอดหัวแข็ง และปลาคอดหัวอ่อน จากท่าขึ้นปลา เดือนละ 1 ครั้ง ต่อเนื่องเป็นระยะเวลา 12 เดือน ตั้งแต่เดือนมกราคม ถึงเดือนธันวาคม พ.ศ. 2550 ปลาคอดหัวแข็ง และปลาคอดหัวอ่อนที่นำมาขึ้นท่าขึ้นปลา เป็นปลาที่จับได้จากเครื่องมือประมงประเภทข่าย ขนาดตา 4-5 เซนติเมตร ซึ่งเป็นเครื่องมือประมงที่ใช้ทำประมงปลาคอดหัวแข็งและปลาคอดหัวอ่อนในทะเลสาบสงขลาเบต จังหวัดพัทลุง นำตัวอย่างปลาคอดหัวแข็ง และปลาคอดหัวอ่อน มาวัดความยาวเทียมด (total length, TL) ความยาวมาตรฐาน (standard length, SL) หน่วยเป็นเซนติเมตร และชั้นน้ำหนัก (weight, W) หน่วยเป็นกรัม ผ่าห้องแยกเพศผู้และเพศเมีย ศึกษาระยะการพัฒนาของอวัยวะสืบพันธุ์ของปลาทั้งสองเพศ (Holden and Raith, 1974)

3. วิธีการวิเคราะห์ข้อมูล

3.1 ความสัมพันธ์ระหว่างความยาวและน้ำหนัก (length-weight relationship) ศึกษาความสัมพันธ์ระหว่างความยาวมาตรฐาน และน้ำหนัก ของปลากรดหัวแข็ง และปลากรดหัวอ่อน วิเคราะห์รูปแบบการเติบโต โดยอาศัยความสัมพันธ์ระหว่างความยาวและน้ำหนัก (Ricker, 1975)

$$W = cSL^n \quad \dots \dots \dots \quad (1)$$

เมื่อ W = น้ำหนักของสัตว์นำ
 SL = ความยาวของสัตว์นำ
 n = ค่าคงที่เกี่ยวข้องกับการเติบโต
 c = ค่าคงที่เกี่ยวข้องกับความถ่วงจำเพาะ

ทดสอบรูปแบบการเติบโตของปลากรดหัวแข็ง และปลากรดหัวอ่อน โดยการทดสอบค่าความชัน (b) ว่าเท่ากับ 3 หรือไม่ที่ระดับความเชื่อมั่น 95% ซึ่งถ้าการเติบโตเป็นแบบ isometric growth หมายถึง การเติบโตในทุกส่วนของร่างกายจะมีการเติบโตอย่างเป็นสัดส่วน โดยตรง น้ำหนักตัวจะเป็นสัดส่วนโดยตรงกับความยาวกำลังสาม หรือค่า b เท่ากับ 3 (ชนิยฐา, 2543)

3.2 อัตราส่วนเพศ (sex ratio) จากข้อมูลปลากัดหัวแข็ง และปลากัดหัวอ่อน ที่แยกเพศ และข้อมูลการกระจายของความข้ามมาตรฐานในแต่ละเดือน นำมาศึกษาอัตราส่วนเพศ ซึ่งชนิยฐาน (2543) กล่าวถึงการศึกษาอัตราส่วนเพศว่า มีประโยชน์ในการประเมินปริมาณสต็อก ในส่วนที่เป็นสต็อกพ่อแม่พันธุ์ (parental stock) ได้ ข้อมูลเกี่ยวกับอัตราส่วนเพศจึงเป็นข้อมูลสนับสนุนในการประเมินผลผลิตของสต็อก และมีประโยชน์ในการวางแผนการควบคุมขนาดสัตว์น้ำที่จะนำมาใช้ประโยชน์ ได้ การวิเคราะห์อัตราส่วนเพศในการทดสอบ ไก่กำลังสอง (ชนิยฐานและอมรศักดิ์, 2550)

เมื่อ ก่าสังเกต (O_i) คือ จำนวนตัวของสัตว์น้ำแต่ละเพศ ที่เก็บตัวอย่างได้จริง ก้าคาดคะเน (E_j) คือ จำนวนสัตว์น้ำที่ควรเป็นไปตามทฤษฎี

3.3. ขนาดแรกสี่บพันธุ์ (size at first maturity; L_m) คือขนาดที่สัตว์น้ำมีความน่าจะเป็นที่จะเจริญพันธุ์ได้ร้อยละ 50 ระยะการพัฒนาของอวัยวะเพศมีความสัมพันธ์เชิงเส้นกับขนาดของสัตว์น้ำในรูปฟังก์ชันโลจิสติก (logistic function) ระหว่างสัดส่วนของสัตว์น้ำวัยเจริญพันธุ์ต่อสัตว์น้ำทั้งหมด และความยาวค่ากลางของปลากดหัวอ่อนเพศเมีย ตามสมการ (ชนิษฐาและอมรศักดิ์, 2550)

เมื่อ $P_L = \frac{a}{b + L}$ คือสัดส่วนสัตว์น้ำที่มีเจริญพันธุ์ต่อสัตว์น้ำทั้งหมด

3.4 ดัชนีความสมบูรณ์เพศ (gonosomatic index; G.S.I.) นำตัวอย่างปลากรดหัวแข็ง และปลากรดหัวอ่อน ที่เก็บรวบรวม ได้ในแต่ละเดือน ชั่งน้ำหนักตัว และน้ำหนักก่อวัยจะสร้างเชลล์สีบพันธุ์ เพื่อคำนวณดัชนีสมบูรณ์เพศ ของปลาปลากรดหัวแข็ง และปลากรดหัวอ่อน ดังสมการ (ธนิยฐาและอมรศักดิ์, 2550)

$$\begin{aligned} \text{เมื่อ } W_g &= \text{น้ำหนักของรังไก} \\ W &= \text{น้ำหนักตัวของสัตว์น้ำ} \end{aligned}$$

การศึกษาด้ชนีความสมบูรณ์เพศ สามารถบ่งบอกถึงคุณภาพสีบพันธุ์ว่าง ไง่ ของสัตว์น้ำได้โดยอาศัยหลักการว่า น้ำหนักของอวัยวะสีบพันธุ์จะเพิ่มขึ้นเมื่อเข้าสู่คุณว่าง ไง่ และจะมีน้ำหนักมากที่สุด ก่อนหน้าที่จะว่าง ไง่ หลังจากนั้นน้ำหนักอวัยวะสีบพันธุ์จะลดลงเมื่อผ่านคุณว่าง ไง่ไปแล้ว เนื่องจาก ไง่ที่แก่เต็มที่แล้ว และน้ำเขื้อถูกปล่อยออกมานอกตัว เพื่อปฏิสนธิภายนอกตัว ทำให้น้ำหนัก อวัยวะสีบพันธุ์ลดลง ดังนั้นการศึกษาคุณสีบพันธุ์ว่าง ไง่จึงทำการศึกษาโดยเก็บตัวอย่างปลามาศึกษา ต่อเนื่อง ตลอดปี (ชนิษฐา, 2543)

4. การเก็บรวบรวมตัวอย่างประสิทธิโนนิจเนียน

สุ่มตัวอย่างปลา ที่รวมรวมได้จากการศึกษาเบรียบเทียบชีวิทยาเบื้องต้นของการสืบพันธุ์ของประชากรปลาดหัวแข็ง และปลาดหัวอ่อน เดือนละ 1 ครั้ง ๆ ละ 10 ตัว ต่อเนื่องเป็นระยะเวลา 12 เดือน ตั้งแต่เดือนมกราคม 2550 ถึงเดือนธันวาคม 2550 เพื่อนำไปตรวจหาปรสิต ดังรายละเอียดต่อไปนี้

4.1 ตัวชี้วัดที่ใช้ในการประเมินคุณภาพของผู้เรียน

4.2 ใช้ไมโครปีปต์คูดโฉมโนนจีเนียนใส่ลงบนแผ่นกระจกสไลด์แล้วปิดด้วยกระจกปิดสไลด์ขนาด 18×18 มิลลิเมตร ใช้น้ำยาทาเล็บชนิดใส แตะที่มุมทั้งสี่ของกระจกปิดสไลด์ เพื่อตรึงไว้ไม่ให้เลื่อน ทิ้งไว้ประมาณ 5-10 นาที

4.3 หยดน้ำยาแอมโมเนียมพิเกรต กลีเซอรีน (ammonium-pricate glycerine) ที่ขอบกระจกปิดสไลด์ ให้น้ำยาซึมเข้าไปได้กระจายปิดสไลด์ เพื่อคงรูปและเก็บรักษาตัวอย่างปรสิต ทิ้งไว้ประมาณ 2-3 วัน

4.4 ผนึกขอบทุกด้านของกระจกปิดสไลด์ด้วยน้ำยาทาเล็บ เพื่อป้องกันการระเหยของน้ำยาแอมโมเนียมพิเเกรต จะได้เป็นสไลด์กึ่งถาวร (semi-permanent slide)

5. การจำแนกชนิดของปรสิตกลุ่มโนนจีเนียน

5.1 นำไปศึกษาลักษณะ และขนาดของโครงสร้างต่าง ๆ ของปรสิต ภายใต้กล้องจุลทรรศน์แบบคอมปาร์ต

5.2 ศึกษาเบรี่ยบเทียบผลการศึกษา โดยใช้เอกสารอ้างอิงที่เกี่ยวข้องกับการจำแนกชนิดของปรสิตโนนจีเนียน (Gussev, 1976; Lim, 1994, 1995, 1996)

6. การศึกษาความชุกชุมและความหนาแน่นของปรสิตโนนจีเนียน

ศึกษาความชุกชุม และความหนาแน่นของปรสิตโนนจีเนียนแต่ละชนิดที่พบในปลาทั้งสองชนิด ในรอบปีที่เก็บตัวอย่าง แล้วนำมาเบรี่ยบเทียบกับข้อมูลทางชีววิทยาของปลา โดยคำนวณความชุกชุมของปรสิตแต่ละชนิดตามวิธีของ Margolis *et al.* (1982)

$$\text{ความชุกชุม (prevalence: %)} = \frac{\text{จำนวนปลาที่ตรวจพบปรสิต}}{\text{จำนวนปลาทั้งหมดที่ทำการตรวจ}} \times 100$$

$$\text{ความหนาแน่น (intensity: ตัว / ตัว)} = \frac{\text{จำนวนทั้งหมดของปรสิตชนิดใดชนิดหนึ่ง}}{\text{จำนวนปลาทั้งหมดที่ทำการตรวจ}}$$

7. สถานที่ทำการวิจัย

7.1 สถานที่เก็บตัวอย่าง ทะเลสาบสงขลา เขตจังหวัดพัทลุง บริเวณท่าขึ้นปลา บ้านปากประ ตำบลคำป่า อำเภอเมือง จังหวัดพัทลุง และบริเวณท่าขึ้นปลา บริเวณตลาดสด อำเภอปากพะยูน จังหวัดพัทลุง

7.2 สถานที่ศึกษาในห้องปฏิบัติการและการวิเคราะห์ข้อมูล ห้องปฏิบัติการชีววิทยาประมง ภาควิชาชีววิทยาประมง คณะประมง มหาวิทยาลัยเกษตรศาสตร์ วิทยาเขตบางเขน กรุงเทพฯ และ ห้องปฏิบัติการ โรคสัตว์น้ำ สาขาประมง คณะเกษตรศาสตร์ มหาวิทยาลัยเทคโนโลยีราชมงคลครุวิชัย วิทยาเขตนครศรีธรรมราช ตำบลคำใหญ่ อำเภอทุ่งสง จังหวัดนครศรีธรรมราช

ผลและวิจารณ์

ชีววิทยาเบื้องต้นของการสืบพันธุ์ของปลาดholesย์

1. ความสัมพันธ์ระหว่างความยาวมาตรฐานและน้ำหนัก (length-weight relationship)

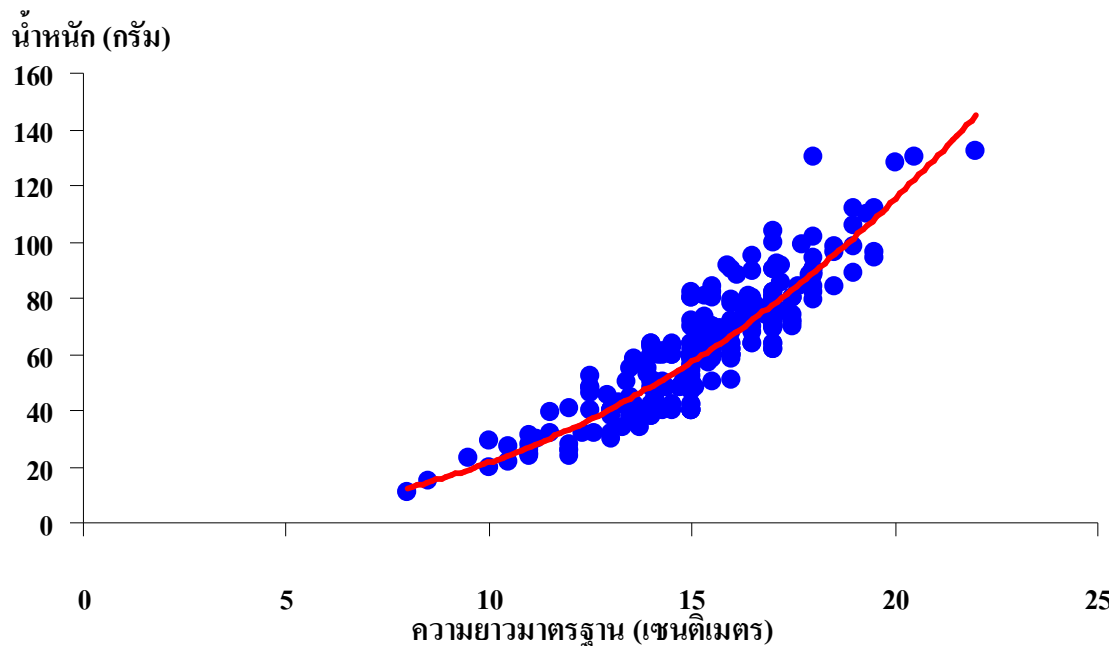
1.1 ปลาดholesย์เพศผู้

ผลการศึกษาความสัมพันธ์ระหว่างความยาวมาตรฐาน และน้ำหนักตัวของปลาดholesย์ เพศผู้ ซึ่งเก็บรวบรวมมาตั้งแต่เดือนมกราคม ถึงเดือนธันวาคม พ.ศ. 2550 เก็บรวบรวมตัวอย่างจาก บริเวณท่าเขื่อนป่าปักประ ตำบลลำป้า อำเภอเมือง และจากบริเวณท่าเขื่อนป่าล่า อำเภอปากพะยูน จังหวัดพัทลุง ได้จำนวน 299 ตัว มีความยาวมาตรฐานระหว่าง 8.0 ถึง 22.0 เซนติเมตร นำมาวิเคราะห์ ความสัมพันธ์ระหว่างความยาวมาตรฐานและน้ำหนัก ได้ความสัมพันธ์ดังนี้ (ภาพที่ 8)

$$W = 0.0807 SL^{2.4249}$$

$$R^2 = 0.8389$$

เมื่อ	W	=	น้ำหนักตัว (กรัม)
	SL	=	ความยาวมาตรฐาน (เซนติเมตร)



ภาพที่ 8 ความสัมพันธ์ระหว่างความยาวมาตรฐานและน้ำหนักของปลายด้ามหัวแข็ง เพศผู้

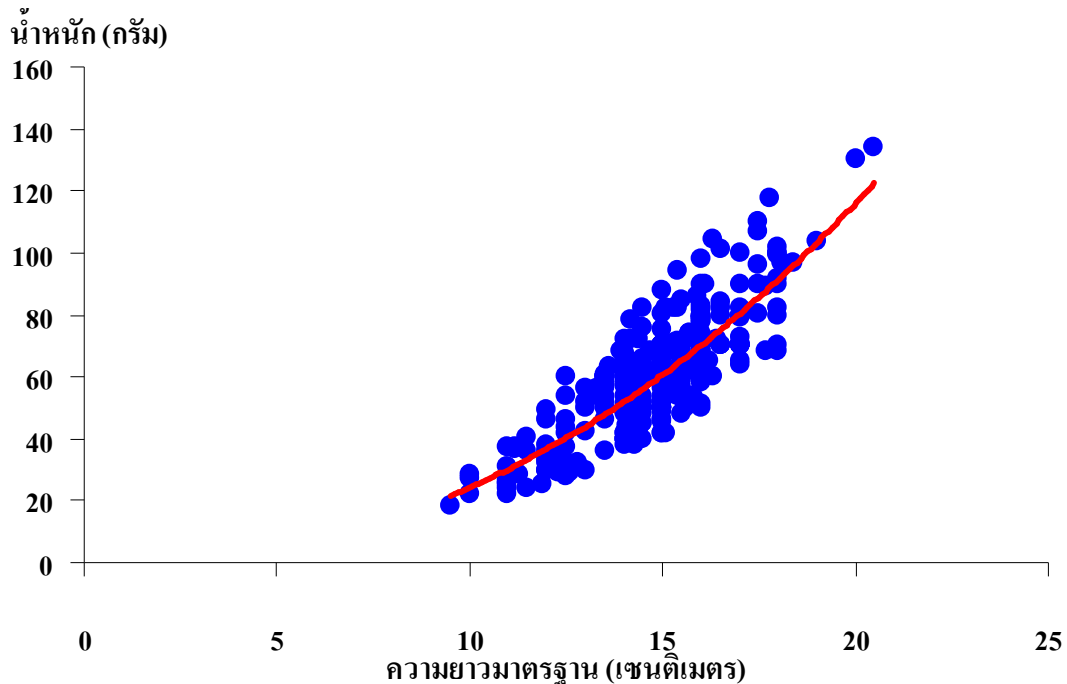
1.2 ปลายด้ามหัวแข็ง เพศเมีย

ผลการศึกษาความสัมพันธ์ระหว่างความยาวมาตรฐาน และน้ำหนักตัวของปลายด้ามหัวแข็ง เพศเมีย ซึ่งเก็บรวบรวมมาตั้งแต่เดือนมกราคม ถึงเดือนธันวาคม พ.ศ. 2550 เก็บรวบรวมตัวอย่างจาก บริเวณท่าขี้นปลายปากประตู ดำเนินลำป้า อำเภอเมือง และจากบริเวณท่าขี้นปลายปากประตู อำเภอปากพะยุน จังหวัดพัทลุง ได้จำนวน 346 ตัว มีความยาวมาตรฐานระหว่าง 9.5 ถึง 18.1 เซนติเมตร น้ำหนักตัวอย่างที่ ความสัมพันธ์ระหว่างความยาวมาตรฐานและน้ำหนัก ได้ความสัมพันธ์ดังนี้ (ภาพที่ 9)

$$W = 0.1349 SL^{2.2552}$$

$$R^2 = 0.7035$$

เมื่อ	W	=	น้ำหนักตัว (กรัม)
	SL	=	ความยาวมาตรฐาน (เซนติเมตร)



ภาพที่ 9 ความสัมพันธ์ระหว่างความยาวมาตรฐานและน้ำหนักของปลาดหัวแข็งเพศเมีย

ผลการทดสอบรูปแบบการเติบโตของปลาดหัวแข็งพบว่า ช่วงความเชื่อมั่นที่ร้อยละ 95 ของค่ายกกำลังในความสัมพันธ์ระหว่างความยาวมาตรฐานและน้ำหนักของระบบนิเวศน์จีด และระบบนิเวศน์กอร์อย (ตารางที่ 1) อุปะระหว่าง $2.0529 \leq \hat{b} \leq 2.3972$ และ $2.0965 \leq \hat{b} \leq 2.4140$ ตามลำดับค่า b ไม่ครอบคลุมค่า 3 แสดงว่า รูปแบบการเติบโตของปลาดหัวแข็งในช่วงความยาว 8.0 ถึง 22.0 เซนติเมตร เป็นแบบอัลโลเมตทริก (allometric pattern) คือ การเติบโตของร่างกายไม่เป็นสัดส่วนกันโดยตรง

ตารางที่ 1 ความสัมพันธ์ระหว่างความยาวมาตรฐาน และน้ำหนักตัว ของปลาดหัวแข็ง

เพศ	จำนวน (ตัว)	สมการในรูป ฟังก์ชันกำลัง	สัมประสิทธิ์การ ตัดสินใจ
เพศผู้	299	$W = 0.0807 SL^{2.4249}$	$R^2 = 0.8389$
เพศเมีย	346	$W = 0.1349 SL^{2.2552}$	$R^2 = 0.7035$

2. อัตราส่วนเพศ (sex ratio)

2.1 ระบบนิเวศน้ำจืด

ตัวอย่างปลากัดหัวแข็งจากระบบนิเวศน้ำจืด ทั้งหมด 300 ตัว แยกเป็นเพศผู้ และเพศเมีย จำนวน 113 และ 187 ตัวตามลำดับ คิดเป็นอัตราส่วนเพศผู้ต่อเพศเมียเท่ากับ $1 : 1.66$ แสดงให้เห็นว่า ในระบบนิเวศน้ำจืด พบปลากัดหัวอ่อนเพศเมียมากกว่าเพศผู้

นำข้อมูลอัตราส่วนเพศแยกรายเดือน มาวิเคราะห์ทางสถิติโดยใช้โค García สำหรับที่ระดับนัยสำคัญ 0.05 โดยใช้ค่าวิกฤตจากตารางเท่ากับ 3.8415 (ธนิษฐา และอมรศักดิ์, 2550) พบว่า อัตราส่วนเพศผู้ต่อเพศเมียส่วนใหญ่เป็นไปตามทฤษฎี คือในระบบนิเวศน้ำจืด อัตราส่วนเพศโดยส่วนใหญ่ เป็นไปตามทฤษฎี คือ อัตราส่วนเพศเพศผู้ต่อเพศเมียของสัตว์น้ำจะเป็น $1 : 1$ ยกเว้นในเดือนมกราคม พฤศจิกายน และเดือนธันวาคม ที่พบปลากัดหัวอ่อนเพศเมียมากกว่าเพศผู้อย่างมีนัยสำคัญ ($P < 0.05$) (ตารางที่ 2)

2.2 ระบบนิเวศน้ำกร่อย

ส่วนตัวอย่างปลากัดหัวแข็งจากระบบนิเวศน้ำกร่อย ทั้งหมด 345 ตัว แยกเป็นเพศผู้ และเพศเมีย จำนวน 186 และ 159 ตัว คิดเป็นอัตราส่วนเพศผู้ต่อเพศเมียเท่ากับ $1 : 0.86$ แสดงให้เห็นว่า ในระบบนิเวศน้ำกร่อย พบปลากัดหัวแข็งเพศผู้มากกว่าเพศเมีย

นำข้อมูลอัตราส่วนเพศแยกรายเดือน มาวิเคราะห์ทางสถิติโดยใช้โค García สำหรับที่ระดับนัยสำคัญ 0.05 โดยใช้ค่าวิกฤตจากตารางเท่ากับ 3.8415 (ธนิษฐา และอมรศักดิ์, 2550) พบว่า อัตราส่วนเพศผู้ต่อเพศเมียส่วนใหญ่เป็นไปตามทฤษฎี คือ อัตราส่วนเพศเพศผู้ต่อเพศเมียของสัตว์น้ำจะเป็น $1 : 1$ ยกเว้นในเดือนมกราคม พฤศจิกายน และเดือนมิถุนายน ที่พบปลากัดหัวแข็งเพศผู้มากกว่าเพศเมียอย่างมีนัยสำคัญ ($P < 0.05$) (ตารางที่ 3)

จากการศึกษาอัตราส่วนเพศของปลากัดหัวแข็งแสดงให้เห็นว่า ในระบบนิเวศน้ำจืด พบปลากัดหัวอ่อนเพศเมียมากกว่าเพศผู้ ในขณะที่ระบบนิเวศน้ำกร่อย พบปลากัดหัวแข็งเพศผู้มากกว่าเพศเมีย เป็นที่น่าสังเกตว่า ในระบบนิเวศน้ำจืดนั้น ไม่สามารถจับปลากัดหัวแข็งได้ในช่วงเดือนมีนาคม

และเดือนเมษายน ซึ่งเป็นช่วงฤดูแล้ง ในขณะที่ระบบนิเวศน้ำกร่อย สามารถจับปลากรดหัวแข็ง ได้ตลอดทั้งปี จึงอาจเป็นไปได้ว่า ปลากรดหัวแข็งมีการเคลื่อนย้ายประชากรออกจากบริเวณนั้น แต่จะเคลื่อนย้ายไปพิสทางได้ ก็ต้องเนื่องจากทางเดินน้ำอย หรือลงมาอาศัยในเขตน้ำกร่อย หรือทะเลของทะเลสาบสงขลาตอนล่าง ยังเป็นเรื่องที่คุณครีอ

ตารางที่ 2 อัตราส่วนเพศผู้ต่อเพศเมียของปลากรดหัวแข็ง บริเวณระบบนิเวศน้ำจืด

เดือน	จำนวนตัว			อัตราส่วนเพศ	χ^2
	เพศผู้	เพศเมีย	เพศผู้ : เพศเมีย		
ม.ค.-50	0	30	0		28.03*
ก.พ.-50	13	17	1 : 1.31		0.30 ^{ns}
มี.ค.-50	ไม่มีตัวอย่าง	ไม่มีตัวอย่าง	-		-
เม.ย.-50	ไม่มีตัวอย่าง	ไม่มีตัวอย่าง	-		-
พ.ค.-50	17	13	1 : 0.76		0.30 ^{ns}
มิ.ย.-50	20	10	1 : 0.50		2.70 ^{ns}
ก.ค.-50	7	23	1 : 3.29		7.50 ^{ns}
ส.ค.-50	15	15	1 : 1.00		0.03 ^{ns}
ก.ย.-50	11	19	1 : 1.73		1.63 ^{ns}
ต.ค.-50	14	16	1 : 1.14		0.03 ^{ns}
พ.ย.-50	9	21	1 : 2.33		4.03*
ธ.ค.-50	7	23	1 : 3.29		7.50*

หมายเหตุ : ไม่มีตัวอย่าง เนื่องจากขาดประมาณไม่ออกทำประมาณ

ตารางที่ 3 อัตราส่วนเพศผู้ต่อเพศเมียของปลากรดหัวแข็ง บริเวณระบบนิเวศน้ำกร่อย

เดือน	ระบบนิเวศน้ำกร่อย				χ^2	
	จำนวนตัว		อัตราส่วนเพศ			
	เพศผู้	เพศเมีย	เพศผู้ : เพศเมีย			
ม.ค.-50	21	9	1 : 0.43	4.03*		
ก.พ.-50	8	10	1 : 1.25	0.06 ^{ns}		
มี.ค.-50	14	13	1 : 0.93	0.00 ^{ns}		
เม.ย.-50	16	14	1 : 0.88	0.03 ^{ns}		
พ.ค.-50	21	9	1 : 0.43	4.03*		
มิ.ย.-50	22	8	1 : 0.36	5.63*		
ก.ค.-50	14	16	1 : 1.14	0.33 ^{ns}		
ส.ค.-50	18	12	1 : 0.68	0.83 ^{ns}		
ก.ย.-50	13	17	1 : 1.31	0.30 ^{ns}		
ต.ค.-50	16	14	1 : 0.88	0.03 ^{ns}		
พ.ย.-50	12	18	1 : 1.50	0.83 ^{ns}		
ธ.ค.-50	11	19	1 : 1.73	1.63 ^{ns}		

3. ขนาดแรกสีบพันธุ์ (size at first maturity; L_m)

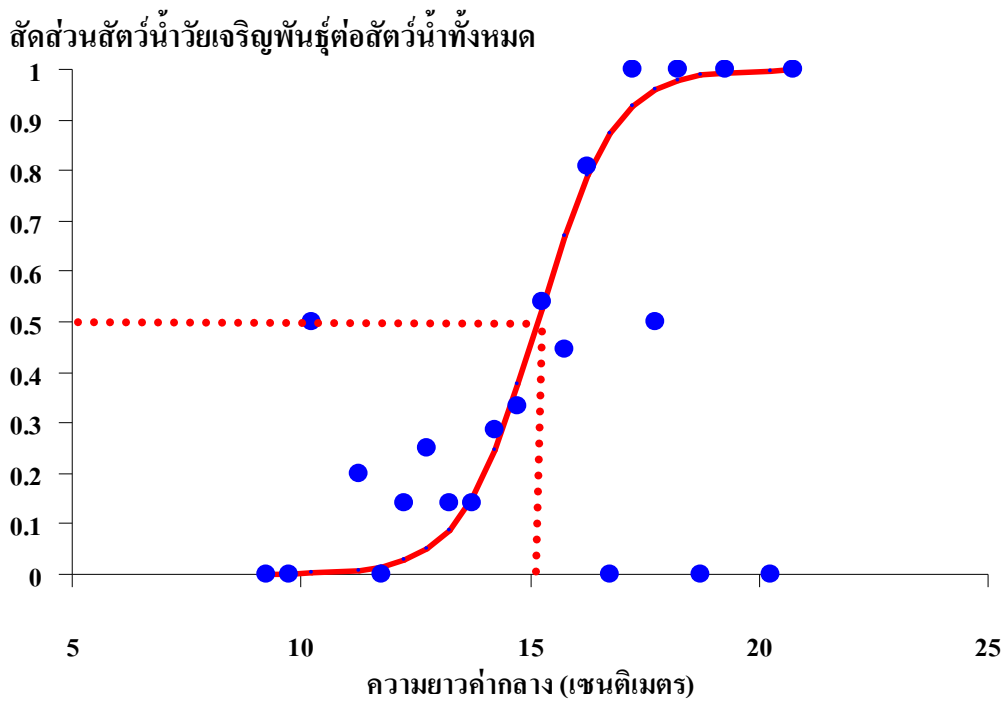
3.1 ระบบนิเวศน้ำจืด

การวิเคราะห์ความสัมพันธ์ระหว่าง สัดส่วนจำนวนปลากรดหัวแข็งเพศเมียบylegirly พันธุ์ต่อจำนวนเพศเมียทั้งหมดตามความยาว ด้วยวิธีกำลังสองน้อยที่สุด ได้สมการความสัมพันธ์ ดังนี้

$$P_L = \frac{1}{1+e^{(18.4590+1.2172L)}}, R^2 = 0.9573$$

เมื่อ P_L = สัดส่วนสัตว์น้ำบylegirly พันธุ์ต่อสัตว์น้ำทั้งหมด
 L = ความยาวค่ากลาง
 a, b = ค่าคงที่

ค่าความยาวแรกสีบพันธุ์ ของปลาดหัวแข็ง เพศเมียในระบบนิเวศน้ำจืด มีขนาดแรก สีบพันธุ์เท่ากับ 15.17 เซนติเมตร (ภาพที่ 10)



ภาพที่ 10 ความสัมพันธ์ระหว่าง สัดส่วนสัตว์น้ำวัยเจริญพันธุ์ต่อเพศเมียทั้งหมด กับความยาวค่ากลางของปลาดหัวแข็ง เพศเมียบริเวณระบบนิเวศน้ำจืด

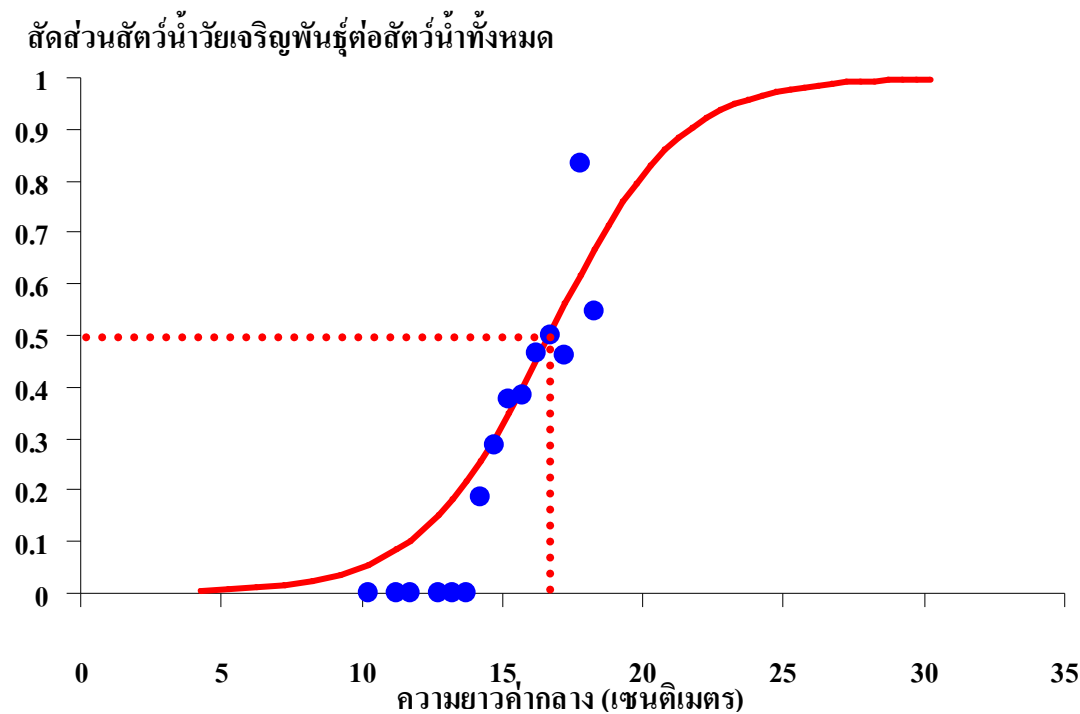
3.2 ระบบนิเวศน้ำกร่อย

การวิเคราะห์ความสัมพันธ์ระหว่าง สัดส่วนจำนวนปลาดหัวแข็ง เพศเมีย วัยเจริญพันธุ์ต่อ จำนวนเพศเมียทั้งหมด ตามความยาว ด้วยวิธีกำลังสองน้อยที่สุด ได้สมการความสัมพันธ์ ดังนี้

$$P_L = \frac{1}{1+e^{(7.3672+0.4420L)}}, R^2 = 0.9491$$

เมื่อ P_L = สัดส่วนสัตว์น้ำวัยเจริญพันธุ์ต่อสัตว์น้ำทั้งหมด
 L = ความยาวค่ากลาง
 a, b = ค่าคงที่

ค่าความยาวแรกสั่นพันธุ์ ของปลาดหัวแข็งเพศเมียในระบบนิเวศน้ำกร่อย มีขนาดแรกสั่นพันธุ์เท่ากับ 16.67 เซนติเมตร (ภาพที่ 11)



ภาพที่ 11 ความสัมพันธ์ระหว่าง สัดส่วนสัตว์น้ำวัยเจริญพันธุ์ต่อเพศเมียทั้งหมด กับความยาวค่ากลางของปลาดหัวแข็ง เพศเมียบริเวณระบบนิเวศน้ำกร่อย

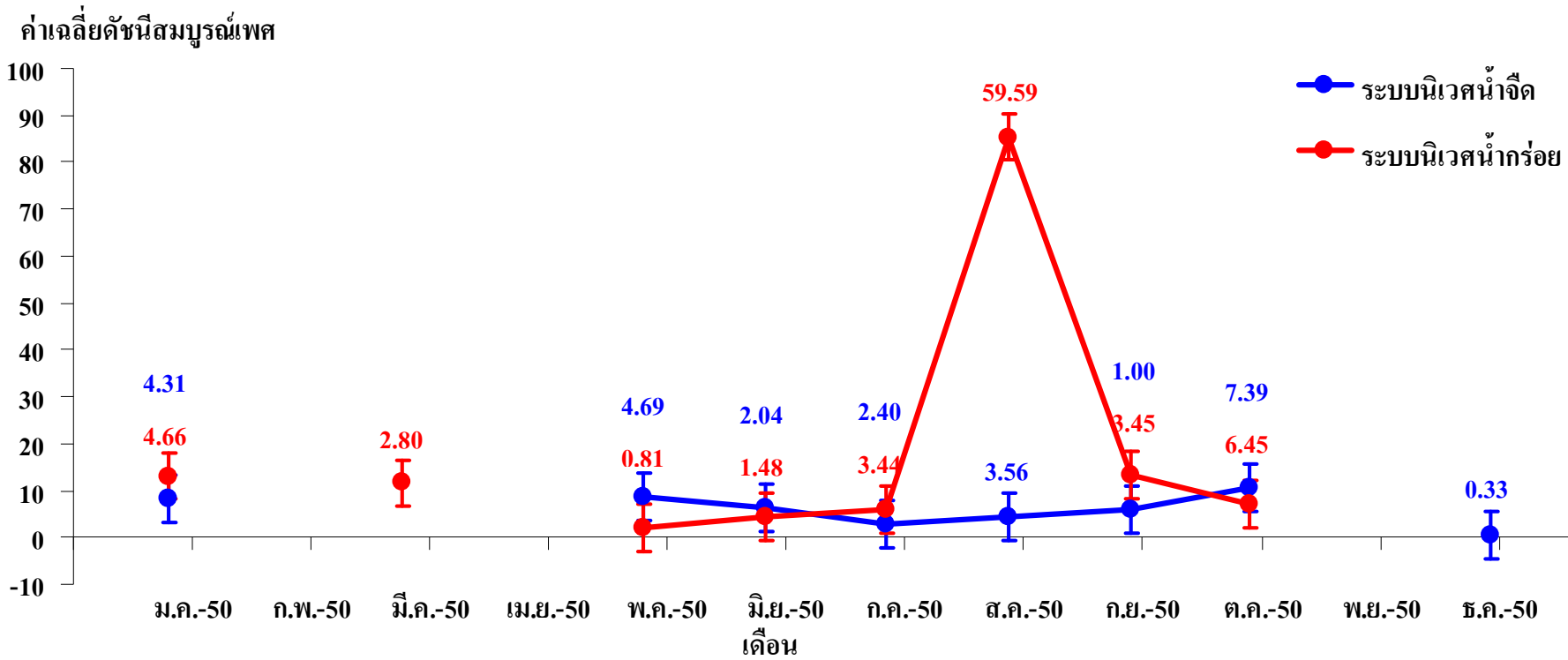
ซึ่งจะเห็นได้ว่าความยาวแรกสั่นพันธุ์ของปลาดหัวแข็งเพศเมียในระบบนิเวศน้ำกร่อย มีขนาดใหญ่กว่าระบบนิเวศน้ำจืด ซึ่งสอดคล้องกับข้อมูลความยาวของตัวอย่างปลาดหัวแข็ง ที่เก็บรวบรวมตัวอย่างได้ ซึ่งเมื่อพิจารณาในภาพรวมแล้ว อาจกล่าวได้ว่า ปลาดหัวแข็งเพศเมียในทะเลสาบสงขลา มีความยาวแรกสั่นพันธุ์ โดยประมาณ 15 ถึง 17 เซนติเมตร

4. ดัชนีความสมบูรณ์เพศ (gonosomatic index; G.S.I.)

จากการศึกษาดัชนีความสมบูรณ์เพศของปลาดหัวแข็ง ตั้งแต่เดือนมกราคม ถึงเดือนธันวาคม พ.ศ. 2550 ในระบบนิเวศน้ำจืดพบปลาดหัวแข็งในเพศเมีย 113 ตัว ในระบบนิเวศน้ำกร่อยพบปลาดหัวแข็งในเพศเมีย 120 ตัว

ผลการศึกษาด้ชนีสมบูรณ์เพศของปลาคอดหัวแข็ง (ภาพที่ 12) พบว่า ระบบนิเวศน้ำจืด พบร่วมกับช่วงการผสมพันธุ์ที่เด่นชัด 2 ครั้ง ในรอบปี คือ ครั้งที่ 1 ในเดือนตุลาคม เป็นช่วงหลัก (major peak) ซึ่งในเดือนพฤษภาคม ถึงแม้จะสามารถจับปลาคอดหัวแข็งเพศเมียได้ แต่ก็ไม่สามารถชั้งรังได้เนื่องจากไม่สมบูรณ์เพศ และอีกครั้งในเดือนพฤษภาคม ซึ่งเป็นช่วงรอง (minor peak)

ระบบนิเวศน้ำกร่อย พบว่า มีค่าดัชนีสมบูรณ์เพศสูงสุดในเดือนสิงหาคม เพียงครั้งเดียวในรอบปีที่ทำการศึกษา และพบว่ามีค่าต่ำลงอย่างชัดเจนในเดือนกันยายน ล้วนในเดือนอื่น ๆ แม้จะพบปลาคอดหัวอ่อนที่มีความสมบูรณ์เพศบ้าง แต่ความสมบูรณ์เพศไม่มากพอที่จะเห็นเป็นช่วงการผสมพันธุ์ (peak of spawning) ได้ชัดเจน แสดงถึงความแตกต่างที่ค่อนข้างชัดเจนของความสมบูรณ์เพศ และถูกสืบพันธุ์ของปลาคอดหัวแข็งในสองกลุ่มนี้ ประกอบกับข้อมูลช่วงความยาวที่ได้ปานกลางแตกต่างกัน และจากความสัมพันธ์ระหว่างความยาวมาตรฐานและน้ำหนัก ที่แตกต่างกันจากระบบนิเวศทั้งสอง ซึ่งมีระยะห่างกันประมาณ 50 กิโลเมตร ชาวประมงที่ทำการปลูกคอดหัวแข็ง เป็นชาวประมงพื้นบ้านขนาดเล็ก ที่ทำการในระยะใกล้คือยังกับท่าเรือปลา และไม่พนการทำการประมงข้ามเขต จึงทำให้เกิดข้อสงสัยว่า ชาวประมงปลูกคอดหัวแข็งที่ได้จากการทั้งสองระบบนิเวศ อาจเป็นคนละกลุ่มประชากร ซึ่งจะต้องดำเนินการวิจัยต่อเนื่อง เพื่อทดสอบข้อสงสัยนี้ รวมทั้งการศึกษาเรื่องการเคลื่อนย้ายของชาวประมงปลูกคอดหัวแข็งตามฤดูกาลต่อไป



ภาพที่ 12 ค่าเฉลี่ยดัชนีสมมูลณ์เพศของปลากดหัวแข็งในทะเลสาบสงขลา เขตจังหวัดพัทลุง

- หมายเหตุ : 1. ระบบนิเวศน์เจ็ด เดือนมีนาคม และเมษายน ไม่มีตัวอย่าง ส่วนในเดือนกุมภาพันธ์ และพฤษจิกายน ไม่สามารถซึ่งรังไข่ได้เนื่องจากไม่สมมูลณ์เพศ
 2. ระบบนิเวศน์กร่อย เดือนกุมภาพันธ์ เมษายน พฤศจิกายน และเดือนธันวาคม ไม่สามารถซึ่งรังไข่ได้เนื่องจากไม่สมมูลณ์เพศ

ชีวิทยาเบื้องต้นของการสืบพันธุ์ของปลาดหัวอ่อน

1. ความสัมพันธ์ระหว่างความยาวมาตรฐานและน้ำหนัก (length-weight relationship)

1.1 ปลาดหัวอ่อนเพศผู้

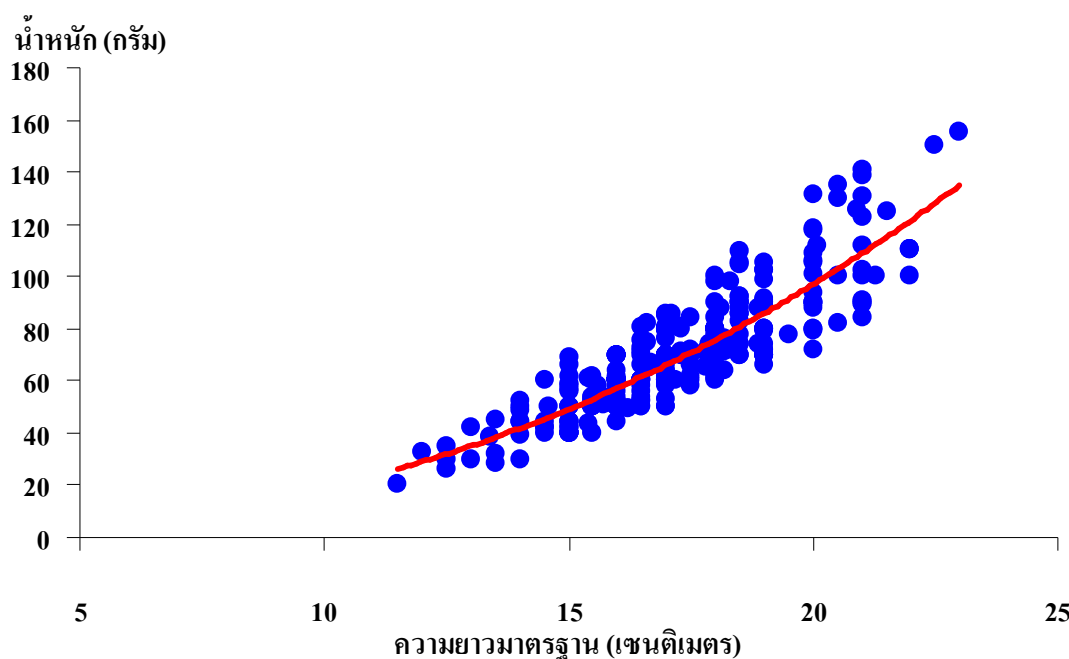
ผลการศึกษาความสัมพันธ์ระหว่างความยาวมาตรฐาน และน้ำหนักตัวของปลาดหัวอ่อน เพศผู้ ซึ่งเก็บรวบรวมมาตั้งแต่เดือนกรกฎาคม ถึงเดือนธันวาคม พ.ศ. 2550 เก็บรวบรวมตัวอย่างจาก บริเวณท่าขึ้นปลาปากประ ตำบลลำป้า อำเภอเมือง และจากบริเวณท่าขึ้นปลา อำเภอปากพะยูน จังหวัดพัทลุง ได้จำนวน 143 ตัว มีความยาวมาตรฐานระหว่าง 11.5 ถึง 23.0 เซนติเมตร นำมาวิเคราะห์ ความสัมพันธ์ระหว่างความยาวมาตรฐานและน้ำหนัก ได้ความสัมพันธ์ดังนี้ (ภาพที่ 13)

$$W = 0.0819 SL^{2.3625}$$

$$R^2 = 0.7881$$

เมื่อ W = น้ำหนักตัว (กรัม)

SL = ความยาวมาตรฐาน (เซนติเมตร)



ภาพที่ 13 ความสัมพันธ์ระหว่างความยาวมาตรฐานและน้ำหนักของปลาดหัวอ่อนเพศผู้

1.2 ปลากดหัวอ่อนเพคเมีย

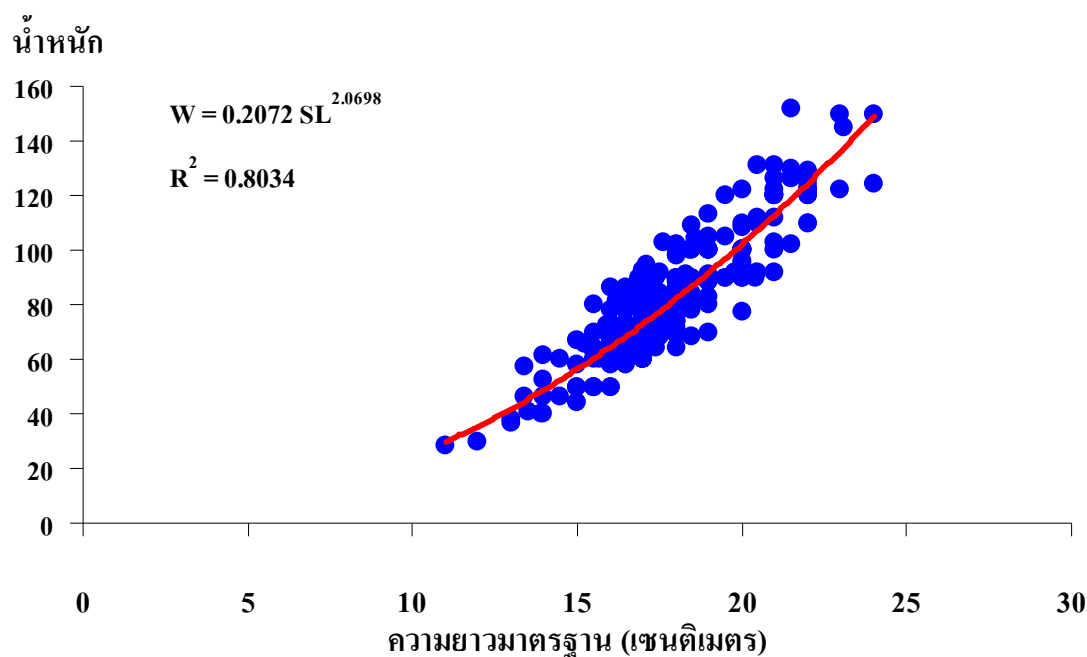
ผลการศึกษาความสัมพันธ์ระหว่างความยาวมาตรฐาน และน้ำหนักตัวของปลากด หัวอ่อนเพคเมีย ซึ่งเก็บรวบรวมมาตั้งแต่เดือนมกราคม ถึงเดือนธันวาคม พ.ศ. 2550 เก็บรวบรวมตัวอย่างจากบริเวณท่าขึ้นปลาปากประ ตำบลลำป้า อำเภอเมือง และจากบริเวณท่าขึ้นปลา อำเภอปากพะยูน จังหวัดพัทลุง ได้จำนวน 294 ตัว มีความยาวมาตรฐานระหว่าง 11.0 ถึง 24.0 เซนติเมตร น้ำวิเคราะห์ความสัมพันธ์ระหว่างความยาวมาตรฐานและน้ำหนัก ได้ความสัมพันธ์ดังนี้ (ภาพที่ 14)

$$W = 0.2072 SL^{2.0698}$$

$$R^2 = 0.8034$$

เมื่อ W = น้ำหนักตัว (กรัม)

SL = ความยาวมาตรฐาน (เซนติเมตร)



ภาพที่ 14 ความสัมพันธ์ระหว่างความยาวมาตรฐานและน้ำหนักของปลากดหัวอ่อนเพคเมีย

ผลการทดสอบรูปแบบการเติบโตของปลากรดหัวอ่อนพบว่า ช่วงความชื้อตั้งที่ร้อยละ 95 ของค่ายกกำลังในความสัมพันธ์ระหว่างความยาวมาตรฐานและน้ำหนักของระบบนิเวศน์เจี๊ด และระบบนิเวศน์กรรอย (ตารางที่ 4) อยู่ระหว่าง $2.2199 \leq b \leq 2.5051$ และ $1.9485 \leq b \leq 2.1912$ ตามลำดับ ค่า b ไม่ครอบคลุมค่า 3 แสดงว่า รูปแบบการเติบโตของปลากรดหัวอ่อนในช่วงความยาว 11.0 ถึง 24.0 เซนติเมตร เป็นแบบอัลโลเมตทริก (allometric pattern) คือ การเติบโตของร่างกายไม่เป็นสัดส่วนกันโดยตรง

ตารางที่ 4 ความสัมพันธ์ระหว่างความยาวมาตรฐาน และน้ำหนักตัว ของปลากรดหัวอ่อน

เพศ	จำนวน (ตัว)	สมการในรูป		ค่าสัมประสิทธิ์ การตัดสินใจ
		ฟังก์ชันกำลัง		
เพศผู้	143	$W = 0.0819 SL^{2.3625}$		$R^2 = 0.7881$
เพศเมีย	294	$W = 0.8034 SL^{2.0698}$		$R^2 = 0.8034$

2. อัตราส่วนเพศ (sex ratio)

2.1 ระบบนิเวศน์เจี๊ด

ตัวอย่างปลากรดหัวอ่อนจากระบบนิเวศน์เจี๊ด ทั้งหมด 247 ตัว แยกเป็นเพศผู้ และเพศเมีย จำนวน 104 และ 143 ตัวตามลำดับ คิดเป็นอัตราส่วนเพศผู้ต่อเพศเมียเท่ากับ 1 : 1.38 แสดงให้เห็นว่า ในระบบนิเวศน์เจี๊ด พ布ปลากรดหัวอ่อนเพศเมีย มากกว่าเพศผู้

นำข้อมูลอัตราส่วนเพศแยกรายเดือน มาวิเคราะห์ทางสถิติโดยใช้โคกำลังสองที่ระดับนัยสำคัญ 0.05 โดยใช้ค่าวิกฤตจากตารางเท่ากับ 3.8415 (ชนิษฐานและอมรศักดิ์, 2550) พบร่วมอัตราส่วนเพศผู้ต่อเพศเมียส่วนใหญ่เป็นไปตามทฤษฎี คือ อัตราส่วนเพศเพศผู้ต่อเพศเมียของสัตว์น้ำจะเป็น 1 : 1 ยกเว้นในเดือนมิถุนายน และเดือนพฤษจิกายน ที่พบปลากรดหัวอ่อนเพศเมียมากกว่าเพศผู้อย่างมีนัยสำคัญ ($P < 0.05$) ทั้งสองเดือน (ตารางที่ 5)

ตารางที่ 5 อัตราส่วนเพศผู้ต่อเพศเมียของปลากรดหัวอ่อน บริเวณระบบนิเวศน้ำจืด

เดือน	ระบบนิเวศ				χ^2	
	จำนวนตัว		อัตราส่วนเพศ			
	เพศผู้	เพศเมีย	เพศผู้ : เพศเมีย			
ม.ค.-50	1	7	1 : 7.00	3.13 ^{ns}		
ก.พ.-50	ไม่มีตัวอย่าง	ไม่มีตัวอย่าง	-	-		
มี.ค.-50	ไม่มีตัวอย่าง	ไม่มีตัวอย่าง	-	-		
เม.ย.-50	ไม่มีตัวอย่าง	ไม่มีตัวอย่าง	-	-		
พ.ค.-50	20	9	1 : 0.45	3.45 ^{ns}		
มิ.ย.-50	9	21	1 : 2.33	4.03*		
ก.ค.-50	12	18	1 : 1.50	0.83 ^{ns}		
ส.ค.-50	11	19	1 : 1.73	1.63 ^{ns}		
ก.ย.-50	18	12	1 : 0.67	0.83 ^{ns}		
ต.ค.-50	16	14	1 : 0.88	0.03 ^{ns}		
พ.ย.-50	7	23	1 : 3.29	7.50*		
ธ.ค.-50	10	20	1 : 2.00	2.70 ^{ns}		

หมายเหตุ : ก.พ. 50 ไม่มีตัวอย่าง เนื่องจากเก็บตัวอย่างได้เฉพาะปลากรดหัวแข็ง

: มี.ค. – เม.ย. 50 ไม่มีตัวอย่าง เนื่องจากชาวประมงไม่ออกทำประมง

2.2 ระบบนิเวศน้ำกร่อย

ส่วนตัวอย่างปลากรดหัวแข็งจากระบบนิเวศน้ำกร่อย ทั้งหมด 344 ตัว แยกเป็นเพศผู้ และ เพศเมีย จำนวน 193 และ 151 ตัว คิดเป็นอัตราส่วนเพศผู้ต่อเพศเมียเท่ากับ 1 : 0.78 และคงให้เห็นว่า ในระบบนิเวศน้ำกร่อย พบปลากรดหัวอ่อนเพศผู้มากกว่าเพศเมีย

นำข้อมูลอัตราส่วนเพศแยกรายเดือน มาวิเคราะห์ทางสถิติโดยใช้โค García สองที่ระดับนัยสำคัญ 0.05 โดยใช้ค่าวิกฤตจากตารางเท่ากับ 3.8415 (ชนิษฐาและอมรศักดิ์, 2550) พบว่า อัตราส่วนเพศผู้ต่อเพศเมียส่วนใหญ่เป็นไปตามทฤษฎี คือ อัตราส่วนเพศเพศผู้ต่อเพศเมียของสัตว์น้ำจะ

เป็น 1 : 1 สำหรับอัตราส่วนเพศที่ไม่เป็นไปตามทฤษฎีคือเดือนมกราคม มิถุนายน ตุลาคม พฤศจิกายน และธันวาคม กลับพบ平ากรดหัวอ่อนเพศผู้มากกว่าเพศเมียอย่างมีนัยสำคัญ ($P<0.05$) ส่วนเดือนพฤษภาคม และธันวาคม กว่าเพศผู้อย่างมีนัยสำคัญ ($P<0.05$) แทน (ตารางที่ 6)

ตารางที่ 6 อัตราส่วนเพศผู้ต่อเพศเมียของ平ากรดหัวอ่อน บริเวณระบบนิเวศน้ำกร่อย

เดือน	จำนวนตัว		ระบบนิเวศน้ำกร่อย		χ^2
	เพศผู้	เพศเมีย	อัตราส่วนเพศ	เพศผู้ : เพศเมีย	
ม.ค.-50	23	6	1 : 0.26	8.83*	
ก.พ.-50	9	11	1 : 1.22	0.05 ^{ns}	
มี.ค.-50	16	14	1 : 0.88	0.03 ^{ns}	
เม.ย.-50	16	10	1 : 0.63	0.96 ^{ns}	
พ.ค.-50	14	16	1 : 1.14	0.03 ^{ns}	
มิ.ย.-50	24	6	1 : 0.25	9.63*	
ก.ค.-50	19	11	1 : 0.58	1.63 ^{ns}	
ส.ค.-50	19	11	1 : 0.58	1.63 ^{ns}	
ก.ย.-50	15	15	1 : 1.00	0.03 ^{ns}	
ต.ค.-50	24	6	1 : 0.25	9.63*	
พ.ย.-50	5	24	1 : 4.80	11.17*	
ธ.ค.-50	9	21	1 : 2.33	4.03*	

จากการศึกษาอัตราส่วนเพศของ平ากรดหัวอ่อนแสดงให้เห็นว่า ในระบบนิเวศน้ำจืด พบริเวณน้ำกร่อยพบ平ากรดหัวอ่อนเพศเมียมากกว่าเพศผู้ ในขณะที่ระบบนิเวศน้ำจืดน้ำกร่อยพบ平ากรดหัวอ่อนเพศผู้มากกว่าเพศเมีย เป็นที่น่าสังเกตว่า ในระบบนิเวศน้ำจืดน้ำกร่อย ไม่สามารถจับ平ากรดหัวอ่อนได้ในช่วงเดือนกุมภาพันธ์ มีนาคม และเดือนเมษายน ซึ่งเป็นช่วงฤดูแล้ง ในขณะที่ระบบนิเวศน้ำกร่อยสามารถจับ平ากรดหัวอ่อนได้ตลอดทั้งปี จึงอาจเป็นไปได้ว่า 平ากรดหัวอ่อนมีการเคลื่อนย้ายประชากรออกจากบริเวณน้ำกร่อย แต่จะเคลื่อนย้ายไปทิศทางใด ก็ขึ้นกับสภาพแวดล้อม เช่น ไฟฟ้า เนื้อไก่ หรือลงมาอาศัยในเขตน้ำกร่อย หรือทะเลของทะเลสาบสงขลาตอนล่าง ยังเป็นเรื่องที่คลุมเครือ

3. ขนาดแรกสีบพันธุ์ (size at first maturity; L_m)

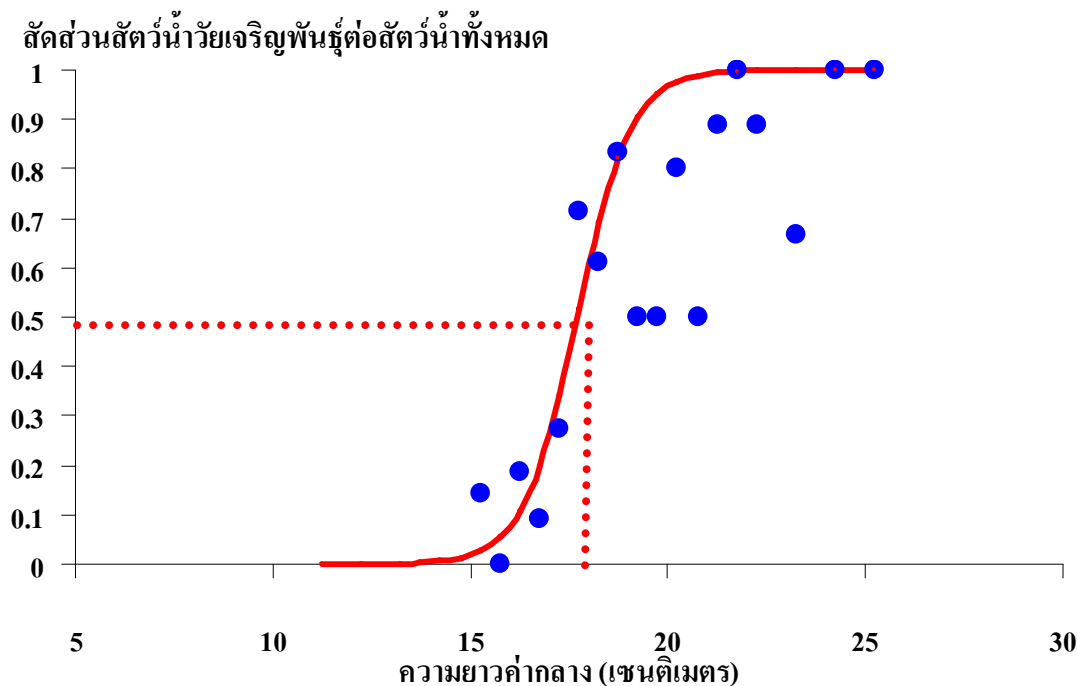
3.1 ระบบนิเวศน์ajeid

การวิเคราะห์ความสัมพันธ์ระหว่าง สัดส่วนจำนวนปลากรดหัวอ่อนเพศเมียวัยเจริญพันธุ์ ต่อ จำนวนเพศเมียทั้งหมดตามความยาวค่ากลาง ด้วยวิธีกำลังสองน้อยที่สุด ได้สมการความสัมพันธ์ดังนี้

$$P_L = \frac{1}{1+e^{(25.8351+1.4594L)}}, R^2 = 0.8085$$

เมื่อ P_L = สัดส่วนสัตว์น้ำวัยเจริญพันธุ์ต่อสัตว์น้ำทั้งหมด
 L = ความยาวค่ากลาง
 a, b = ค่าคงที่

ค่าความยาวแรกสีบพันธุ์ ของปลากรดหัวอ่อนเพศเมียในระบบนิเวศน์ajeid มีขนาดแรกสีบพันธุ์เท่ากับ 17.70 เซนติเมตร (ภาพที่ 15)



ภาพที่ 15 ความสัมพันธ์ระหว่าง สัดส่วนสัตว์น้ำวัยเจริญพันธุ์ต่อเพศเมียทั้งหมดกับความยาวค่ากลางของปลากรดหัวอ่อนเพศเมีย บริเวณระบบนิเวศน์ajeid

3.2 ระบบนิเวศน์การร้อย

การวิเคราะห์ความสัมพันธ์ระหว่าง สัดส่วนจำนวนปลาคราดหัวอ่อนเพศเมียที่วัยเจริญพันธุ์ต่อ จำนวนเพศเมียทั้งหมดตามความขาว ด้วยวิธีกำลังสองน้อยที่สุด ได้สมการความสัมพันธ์ดังนี้

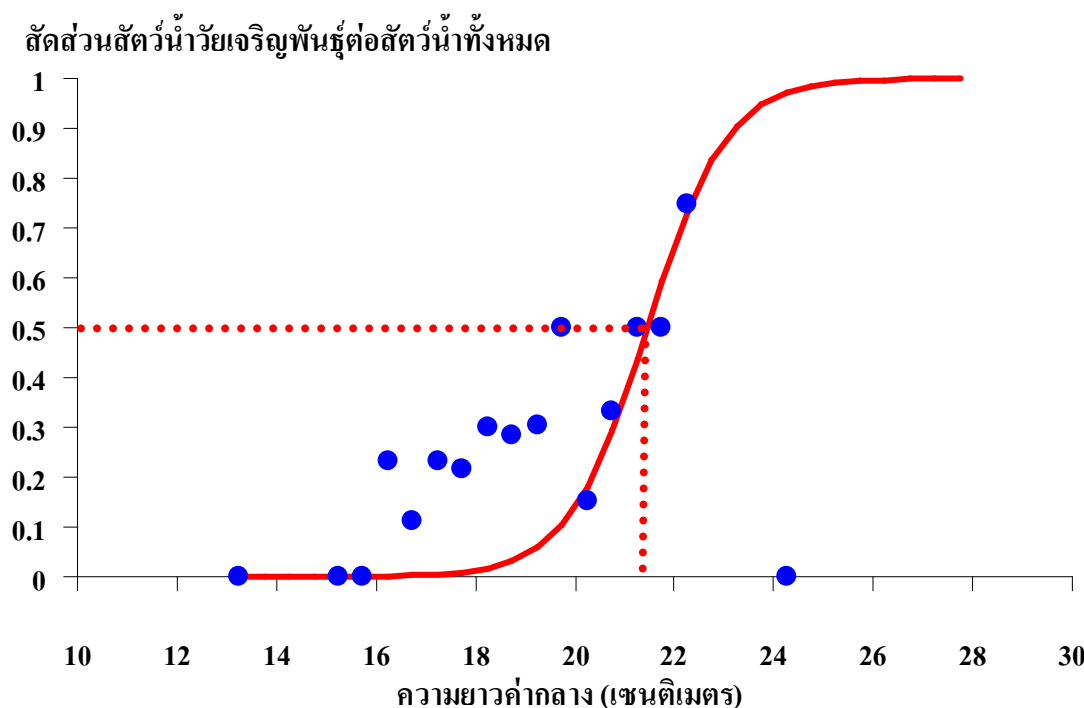
$$P_L = \frac{1}{1+e^{(27.0343+1.2599L)}}, R^2 = 0.9325$$

เมื่อ P_L = สัดส่วนสัตว์นำวัยเจริญพันธุ์ต่อสัตว์นำทั้งหมด

L = ความขาวค่ากลาง

a, b = ค่าคงที่

ค่าความขาวแรกสีบพันธุ์ของปลาคราดหัวอ่อนเพศเมียในระบบนิเวศน์การร้อย มีขนาดแรกสีบพันธุ์เท่ากับ 21.46 เซนติเมตร (ภาพที่ 16)



ภาพที่ 16 ความสัมพันธ์ระหว่างสัดส่วนสัตว์นำวัยเจริญพันธุ์ต่อเพศเมียทั้งหมดกับความขาวค่ากลางของปลาคราดหัวอ่อนเพศเมีย บริเวณระบบนิเวศน์การร้อย

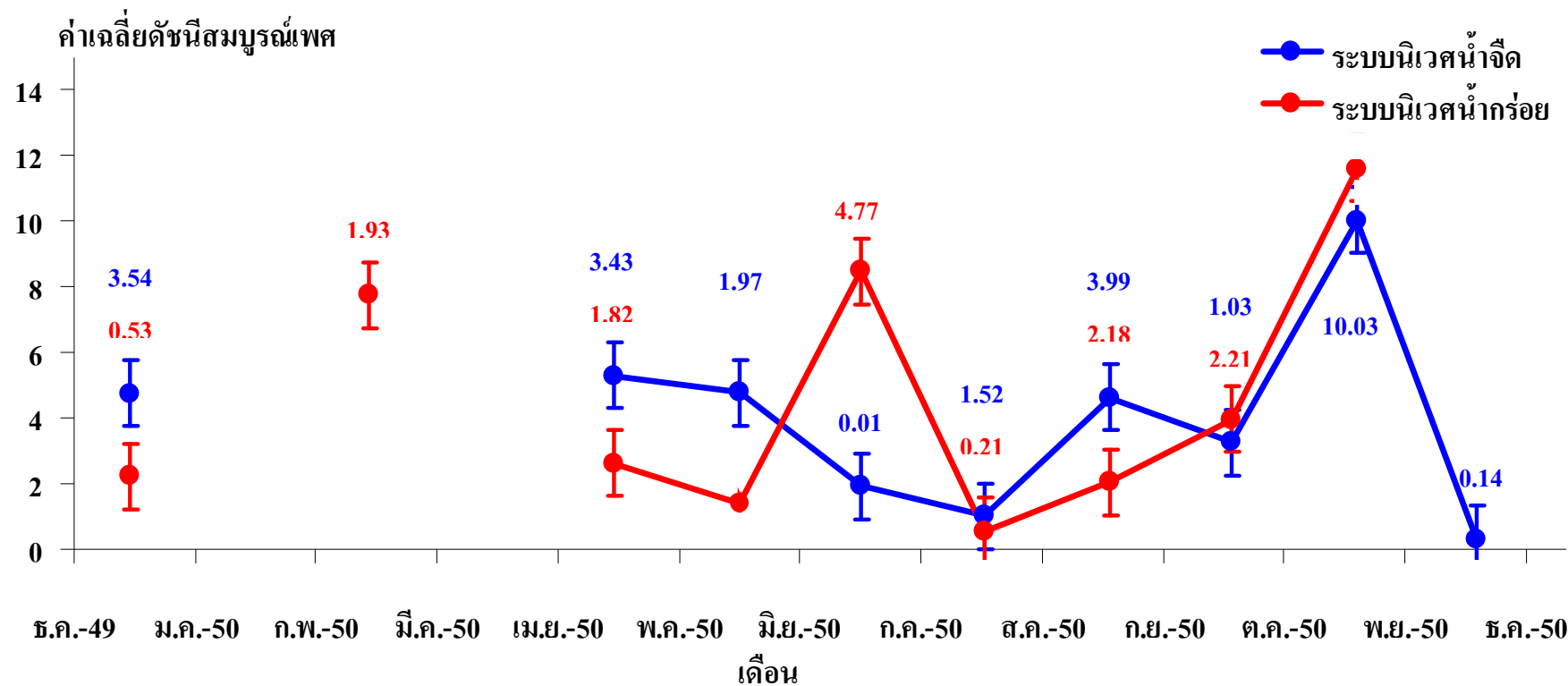
ซึ่งจะเห็นได้ว่าความยาวแรกสีบพันธุ์ของปลาด้วยหัวอ่อนเพศเมียในระบบนิเวศน้ำกร่อย มีขนาดใหญ่กว่าระบบนิเวศน้ำจืด ซึ่งสอดคล้องกับข้อมูลความยาวของตัวอย่างปลาด้วยหัวอ่อนที่เก็บรวบรวมตัวอย่างได้ ซึ่งเมื่อพิจารณาในภาพรวมแล้ว อาจกล่าวได้ว่า ปลาด้วยหัวอ่อนเพศเมียในทะเลสาบสงขลา มีความยาวแรกสีบพันธุ์ โดยประมาณ 18 ถึง 22 เซนติเมตร

4. ดัชนีความสมบูรณ์เพศ (gonosomatic index; G.S.I.)

จากการศึกษาดัชนีความสมบูรณ์เพศของปลาด้วยหัวอ่อน ตั้งแต่เดือนมกราคม ถึงเดือนธันวาคม พ.ศ. 2550 ในระบบนิเวศน้ำจืดพบปลาด้วยหัวอ่อนในเพศเมีย 66 ตัว ในระบบนิเวศน้ำกร่อยพบปลาด้วยหัวแข็งในเพศเมีย 59 ตัว

ผลการศึกษาดัชนีสมบูรณ์เพศของปลาด้วยหัวอ่อน (ภาพที่ 17) พบว่า ระบบนิเวศน้ำจืด มีค่าดัชนีสมบูรณ์เพศสูงสุดในเดือนพฤษภาคม เพียงครั้งเดียวในรอบปีที่ทำการศึกษา และมีค่าลดลงต่ำสุดทันทีในเดือนธันวาคม ส่วนในเดือนอื่น ๆ แม้จะพบปลาด้วยหัวอ่อนที่มีความสมบูรณ์เพศบ้าง แต่ความสมบูรณ์เพศไม่มากพอที่จะเห็นเป็นช่วงการผสมพันธุ์ได้ชัดเจน

ระบบนิเวศน้ำกร่อย พบว่า เกิดช่วงการผสมพันธุ์ที่เดือนชุด 2 ครั้ง ในรอบปี กือ ครั้งที่ 1 ในเดือนพฤษภาคม เป็นช่วงหลัก เช่นเดียวกับระบบนิเวศน้ำจืด และอีกครั้งในเดือนกรกฎาคม ซึ่งเป็นช่วงรอง แต่ในเดือนกรกฎาคมจะเห็นว่า ระบบนิเวศน้ำจืด มีค่าดัชนีสมบูรณ์เพศลดลงเกือบจะต่ำสุด แสดงถึงความแตกต่างที่ค่อนข้างชัดเจนของความสมบูรณ์เพศและคุณลักษณะพันธุ์ของปลาด้วยหัวอ่อน ในสองกลุ่มนี้ ประกอบกับข้อมูลช่วงความยาวที่ได้ปลาขนาดแตกต่าง กัน และจากความสัมพันธ์ระหว่างความยาวมาตรฐานและน้ำหนัก ที่แตกต่างกันจากระบบนิเวศทั้งสอง ซึ่งมีระยะห่างกันประมาณ 50 กิโลเมตร ชาวประมงที่ทำการประมงปลาด้วยหัวอ่อน เป็นชาวประมงพื้นบ้านขนาดเล็ก ที่ทำการประมงในระยะใกล้เคียงกับท่าเรือปลา และไม่พบรากурсทำประมงข้ามเขต จึงทำให้เกิดข้อสงสัยว่า ประชากรปลาด้วยหัวอ่อนที่ได้จากทั้งสองระบบนิเวศ อาจเป็นคนละกลุ่มประชากร ซึ่งจะต้องดำเนินการวิจัยต่อเนื่อง เพื่อทดสอบข้อสงสัยนี้ รวมทั้งการศึกษาเรื่องการเคลื่อนย้ายของประชากรปลาด้วยหัวอ่อน ตามฤดูกาลต่อไป



ภาพที่ 17 ค่าเฉลี่ยดัชนีสมบูรณ์เพคของปลาคราดหัวอ่อน ในทะเลสาบสงขลา เขตจังหวัดพัทลุง

- หมายเหตุ : 1. ระบบห้ามจืด เดือนกุมภาพันธ์ มีนาคม และเมษายน ไม่มีตัวอย่าง
 2. ระบบห้ามกร่อย เดือนกุมภาพันธ์ เมษายน และเดือนธันวาคม ไม่สามารถชั่งรังไข่ได้เนื่องจากไม่สมบูรณ์เพค

ชนิดและปริมาณของปรสิตกลุ่มโนโนจีเนียนของปลาดหัวแมง และปลาดหัวอ่อน

จากการศึกษาปรสิตกลุ่มโนโนจีเนียนใน ปลาดหัวแมง และปลาดหัวอ่อน ในทะเลสาบสงขลา ในบริเวณจังหวัดพัทลุง เป็นระยะเวลา 12 เดือน ตั้งแต่เดือนมกราคม ถึงเดือนธันวาคม พ.ศ. 2550 จากการศึกษาพบปรสิตกลุ่มโนโนจีเนียน 3 สกุล คือ *Chauhanellus*, *Hamatopeduncularia* และ *Neocalceostoma* แต่ที่พบเป็นส่วนใหญ่ และบ่อยที่สุดคือ 2 สกุลแรก (Lim, 1994, 1996) ดังนั้นในงานวิจัยครั้งนี้จึงนุ่งศึกษาเฉพาะใน *Chauhanellus* และ *Hamatopeduncularia* และเนื่องจากปรสิตทั้ง 2 สกุลนี้มีสมาชิกในระดับชนิดมาก จึงจำกัดการศึกษาในระดับสกุลเท่านั้น

1. ชนิด และลักษณะรูปร่างของปรสิตโนโนจีเนียนในปลาดหัวแมง และปลาดหัวอ่อน

1.1 *Chauhanellus* spp.

ปรสิตสกุลนี้ จะมีลำตัวยาว ประมาณ 0.9 – 1.3 มิลลิเมตร ยึดหดได้คล้ายปิง มีความไปร์ใส ไม่มีสี เว้นแต่บริเวณที่มีต่อมไข่แดง (vitelline follicles) ซึ่งอยู่ในแนววนนานับทางเดินอาหาร จะมีสีคล้ำ เมื่อส่องคุณภาพได้กล้องจุลทรรศน์แสง มีจุดตา (eye spots) 2 คู่ อยู่ด้านหน้าใกล้ส่วนปาก อวัยวะสืบพันธุ์ประกอบด้วย รังไข่ และอัณฑะ อย่างละ 1 ชิ้น อยู่ค่อนไปทางท้ายตัว มีโครงสร้างที่ช่วยในการผสมพันธุ์ทั้งส่วนของเพศผู้ (male copulatory organ) และเพศเมีย (female vaginal armament) อยู่บริเวณกลางตัว ค่อนไปทางด้านหน้า และสามารถใช้เป็นเครื่องมือในการจับแนกในระดับชนิด บริเวณที่ใช้เป็นหลักในการจับแนกทางอนุกรรมวิชาน คือ ส่วนท้ายตัวที่เรียกว่า haptor ซึ่งมีลักษณะແ劈ແบน คล้ายรูปสามเหลี่ยม แยกจากส่วนลำตัวชัดเจน เป็นที่ตั้งของโครงสร้างที่ใช้ในการยึดเกาะ (haptoral armaments) อันประกอบด้วย anchors จำนวน 2 คู่ คือ dorsal anchors 1 คู่ และ ventral anchors 1 คู่ แต่ละคู่ มีลักษณะต่างกัน ซึ่งจะมีลักษณะโดยเด่น จากโนโนจีเนียน จากปลาเจ้าบ้าน กลุ่มอื่น ๆ คือ ส่วนของ inner root ขนาดใหญ่ และมีส่วนหลังใกล้กับ outer root ที่เรียกว่า ear-like part ชัดเจน ทั้ง 2 คู่ ถูกซ่อนติดอยู่กับ transverse bars 2 ชิ้น คือ curved dorsal bar และ V-shaped ventral bar (ซึ่งมีลักษณะแตกต่างกันด้วยเช่นกัน นอกจากนี้ยังประกอบไปด้วย marginal hooks เรียงตัวอยู่รอบ ๆ haptor อีกจำนวน 7 คู่ มีขนาดต่างกัน 2-3 แบบ (ภาพที่ 18-19) พบริ้งในปลาดหัวแมง และปลาดหัวอ่อน



ภาพที่ 18 *Chauhanellus* sp.



ภาพที่ 19 โครงสร้างที่ใช้จดเกาะภายใน haptor ของ *Chauhanellus* sp.

1.2 *Hamatopeduncularia* spp.

ปรสิตสกุลนี้ทั่ว ๆ ไปจะคล้ายคลึงกับ *Chauhanellus* คือจะมีลำตัวยาวประมาณ 0.9 – 1.5 มิลลิเมตร ยึดหดได้คล้ายปลิง มีความโปร่งใส ไม่มีสี เว้นแต่บริเวณที่มีต่อมไข่แดง ซึ่งอยู่ในแนวขานานกับทางเดินอาหาร จะมีสีคล้ำ เมื่อส่องดูภายใต้กล้องจุลทรรศน์แสง มีจุดตา 2 จุด อุ้งด้านหน้า ใกล้ส่วนปาก อวัยวะสืบพันธุ์ประกอบด้วย รังไข่ และอวนทะ อย่างละ 1 ชิ้น อยู่ค่อนไปทางท้ายตัว มีโครงสร้างที่ช่วยในการผูกพันธุ์ทั้งส่วนของเพศผู้ และเพศเมียอยู่บริเวณกลางตัว ค่อนไปทางด้านหน้า haptor ซึ่งมีลักษณะยื่นยาวออกจากส่วนลำตัว มีริ้ว หรือชายครุย ยื่นยาวออกจากส่วน haptor อีก จำนวน 10 ริ้ว แต่ละริ้ว เป็นที่ตั้งของ marginal hook 1 อัน ที่เหลือ อีก 4 อัน จะตั้งอยู่ในส่วนของ haptor รูปร่าง และขนาด ของ marginal hooks ทั้ง 14 อัน จะเหมือนกัน โครงสร้างที่ใช้ในการยึดเกาะ อันประกอบด้วย anchors จำนวน 2 คู่ คือ dorsal anchors 1 คู่ และ ventral anchors 1 คู่ มีลักษณะใกล้เคียงกันทั้งรูปร่าง และขนาด anchors ทั้ง 2 คู่ ถูกเชื่อมติดอยู่กับ transverse bars 2 ชิ้น ที่มีลักษณะ flattened V-shaped ventral bar ทั้ง 2 ชิ้น (ภาพที่ 20-21)

2. แบบแผนการแพร่กระจายของโมโนจีเนียนในปลาقدหัวแข็ง และปลาقدหัวอ่อน

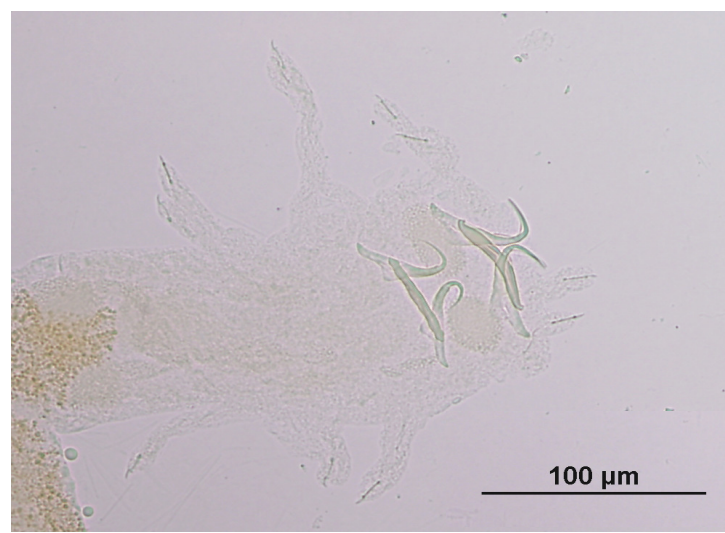
2.1 ความชุกชุม (prevalence) และความหนาแน่น (intensity) ของปรสิตโมโนจีเนียนในระบบนิเวศเดียวกัน

2.1.1 ระบบนิเวศน้ำจืด

โมโนจีเนียนสกุล *Chauhanellus* และ *Hamatopeduncularia* ในปลาقدหัวแข็ง มีความชุกชุมเท่ากับร้อยละ 94.00 และร้อยละ 97.00 ตามลำดับ และมีความหนาแน่นเท่ากับ 33.80 และ 52.31 ตามลำดับ ส่วนในปลาقدหัวอ่อน ความชุกชุมของปรสิตกลุ่มโมโนจีเนียน สกุล *Chauhanellus* และ *Hamatopeduncularia* เท่ากับร้อยละ 49.89 และร้อยละ 83.33 ตามลำดับ และมีความหนาแน่นเท่ากับ 2.89 และ 7.78 ตามลำดับ (ตารางที่ 7)



ภาพที่ 20 *Hamatopeduncularia* sp.



ภาพที่ 21 โครงสร้างที่ใช้จัดการภายใน haptor ของ *Hamatopeduncularia* sp.

2.1.2 ระบบนิเวศน้ำกร่อย

โไมโนนจีเนียนสกุล *Chauhanellus* และ *Hamatopeduncularia* ในป่ากุดหัวแข็งมีความชุกชุมเท่ากับร้อยละ 93.33 และร้อยละ 92.50 ตามลำดับ และมีความหนาแน่นเท่ากับ 26.86 และ 27.74 ตามลำดับ ส่วนในป่ากุดหัวอ่อน ความชุกชุมของโไมโนนจีเนียน สกุล *Chauhanellus* และ *Hamatopeduncularia* เท่ากับร้อยละ 66.67 และร้อยละ 93.33 ตามลำดับ และมีความหนาแน่นเท่ากับ 6.18 และ 26.43 ตามลำดับ (ตารางที่ 7)

2.2 ความชุกชุม และความหนาแน่นของปรสิตโไมโนนจีเนียน ในระบบนิเวศที่ต่างกัน

2.2.1 ป่ากุดหัวแข็ง

โไมโนนจีเนียนสกุล *Chauhanellus* ในระบบนิเวศน้ำจืด และน้ำกร่อย มีความชุกชุมเท่ากับร้อยละ 94.00 และร้อยละ 93.33 ตามลำดับ และมีความหนาแน่นเท่ากับ 33.80 และ 26.86 ตามลำดับ ส่วน *Hamatopeduncularia* ในระบบนิเวศน้ำจืด และน้ำกร่อยมีความชุกชุมเท่ากับร้อยละ 97.00 และร้อยละ 92.50 ตามลำดับ และมีความหนาแน่นเท่ากับ 52.31 และ 27.74 ตามลำดับ (ตารางที่ 7)

2.2.2 ป่ากุดหัวอ่อน

โไมโนนจีเนียนสกุล *Chauhanellus* ในระบบนิเวศน้ำจืด และน้ำกร่อย มีความชุกชุมเท่ากับร้อยละ 49.89 และร้อยละ 66.67 ตามลำดับ และมีความหนาแน่นเท่ากับ 2.89 และ 6.18 ตามลำดับ ส่วนสกุล *Hamatopeduncularia* ในระบบนิเวศน้ำจืด และน้ำกร่อยมีความชุกชุมเท่ากับร้อยละ 83.33 และร้อยละ 93.33 ตามลำดับ และมีความหนาแน่นเท่ากับ 7.78 และ 26.43 ตามลำดับ (ตารางที่ 7)

ตารางที่ 7 ความชุกชุม และความหนาแน่น ของโมโนเจนียนสกุล *Chauhanellus* และ *Hamatopeduncularia* ในปลาดหัวแข็งและปลาดหัวอ่อน

โมโนเจนียน					
ระบบนิเวศ	ชนิดปลา	<i>Chauhanellus</i> spp.		<i>Hamatopeduncularia</i> spp.	
		ความชุกชุม (เปอร์เซ็นต์)	ความหนาแน่น	ความชุกชุม	ความหนาแน่น
ระบบนิเวศน้ำจืด	<i>Arius maculatus</i>	94.00	33.80	97.00	52.31
	<i>Osteogeneiosus militaris</i>	49.89	2.89	83.33	7.78
ระบบนิเวศน้ำกร่อย	<i>Arius maculatus</i>	93.33	26.86	92.50	27.74
	<i>Osteogeneiosus militaris</i>	66.67	6.18	93.33	26.43

3. ความผันแปรของประชากรโมโนจีเนียน ในปลาดหัวแข็ง และปลาดหัวอ่อน ในรอบปี

3.1 ระบบนิเวศน้ำจืด

จากการเปรียบเทียบการแพร่กระจาย และความผันแปรของปรสิตกลุ่ม โมโนจีเนียนสกุล *Chauhanellus* และ *Hamatopeduncularia* ในปลาดหัวแข็ง และปลาดหัวอ่อน บริเวณนิเวศ น้ำจืด พบว่าปริมาณเฉลี่ยของ โมโนจีเนียนทั้ง 2 สกุล ในปลาดหัวแข็ง จะมีแนวโน้มสูงกว่า ในปลาดหัว อ่อน ทั้งนี้ปริมาณของ *Hamatopeduncularia* จะมีแนวโน้มสูงกว่า *Chauhanellus* (ตารางที่ 8, ภาพที่ 22) จากการเปรียบเทียบความหนาแน่นของ *Chauhanellus* และ *Hamatopeduncularia* ในปลาด หัวแข็ง และปลาดหัวอ่อน เป็นเวลา 12 เดือน พบร่วมกับในปลาดหัวแข็ง จะมีความแตกต่างกันทาง สถิติ ในเดือนพฤษภาคม เดือนกันยายน และเดือนตุลาคม ($P < 0.05$) ส่วนในปลาดหัวอ่อน พบร่วมกับ ในเดือนพฤษภาคม เดือนมิถุนายน เดือนกรกฎาคม และเดือนธันวาคม พ.ศ. 2550 มีความแตกต่าง ทางสถิติ ($P < 0.05$) (ตารางที่ 9, ภาพที่ 23)

ขณะเดียวกัน เมื่อเปรียบเทียบความหนาแน่นของ โมโนจีเนียนทั้ง 2 สกุล พบร่วมกับ *Chauhanellus* ในปลาทั้ง 2 ชนิด จะแตกต่างกันอย่างมีนัยสำคัญทางสถิติ ($P < 0.05$) ในเดือนมกราคม เดือนพฤษภาคม เดือนมิถุนายน เดือนกรกฎาคม เดือนสิงหาคม เดือนตุลาคม และเดือนพฤษจิกายน ($P < 0.05$) ส่วน โมโนจีเนียนสกุล *Hamatopeduncularia* ในปลาทั้ง 2 ชนิด จะมีความแตกต่างกัน อย่างมีนัยสำคัญทางสถิติ ($P < 0.05$) ในเดือนมกราคม เดือนพฤษภาคม เดือนมิถุนายน เดือนกรกฎาคม เดือนตุลาคม และเดือนพฤษจิกายน

ตารางที่ 8 ปริมาณประชากร ไม้โนจีเนียน (ตัว) ในป่าภาคหัวแม่และป่าภาคหัวอ่อน บริเวณระบบนิเวศน์เจด

เดือน	<i>Arius maculatus</i>		รวม	<i>Osteogeneiosus militaris</i>		รวม
	<i>Chauhanellus</i> spp.	<i>Hamatopeduncularia</i> spp.		<i>Chauhanellus</i> spp.	<i>Hamatopeduncularia</i> spp.	
ม.ค.-50	262	358	620	36	34	70
ก.พ.-50	346	830	1176	-	-	-
มี.ค.-50	-	-	-	-	-	-
เม.ย.-50	-	-	-	-	-	-
พ.ค.-50	594	1330	1924	22	96	118
มิ.ย.-50	912	810	1722	4	52	56
ก.ค.-50	440	590	1030	10	80	90
ส.ค.-50	318	212	530	62	110	172
ก.ย.-50	60	186	246	66	88	154
ต.ค.-50	142	568	710	24	44	68
พ.ย.-50	288	270	558	22	96	118
ธ.ค.-50	16	68	84	14	100	114
ค่าเฉลี่ย	337.80	522.20	860	28.89	77.78	106.67

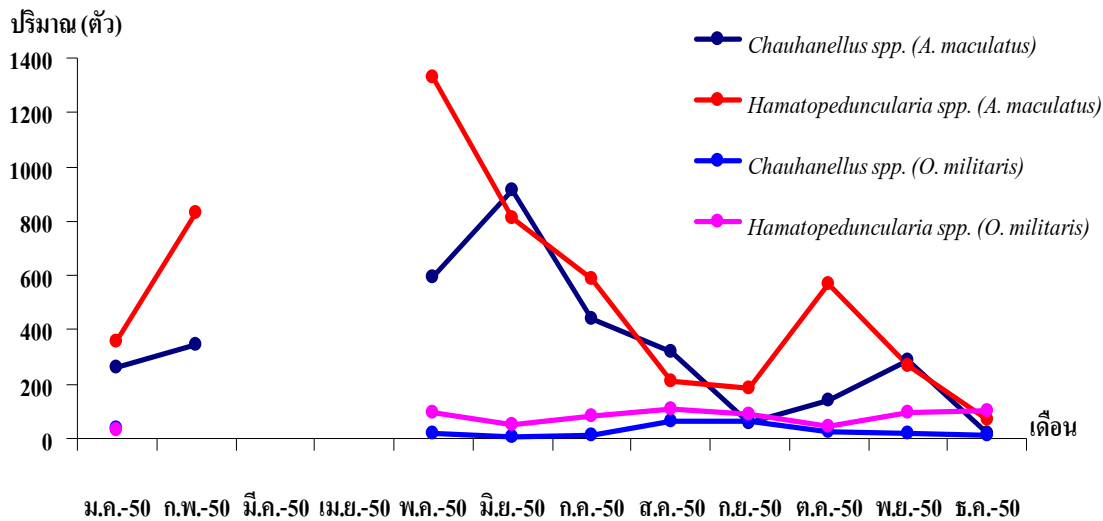
หมายเหตุ : เครื่องหมาย – ไม่สามารถเก็บตัวอย่างได้

ตารางที่ 9 ความหนาแน่นของโอมโนจีเนียน ในป่าภาคหัวแม่เงี้ย และป่าภาคหัวอ่อน บริเวณระบบนิเวศน์สำหรับสัตว์ป่า

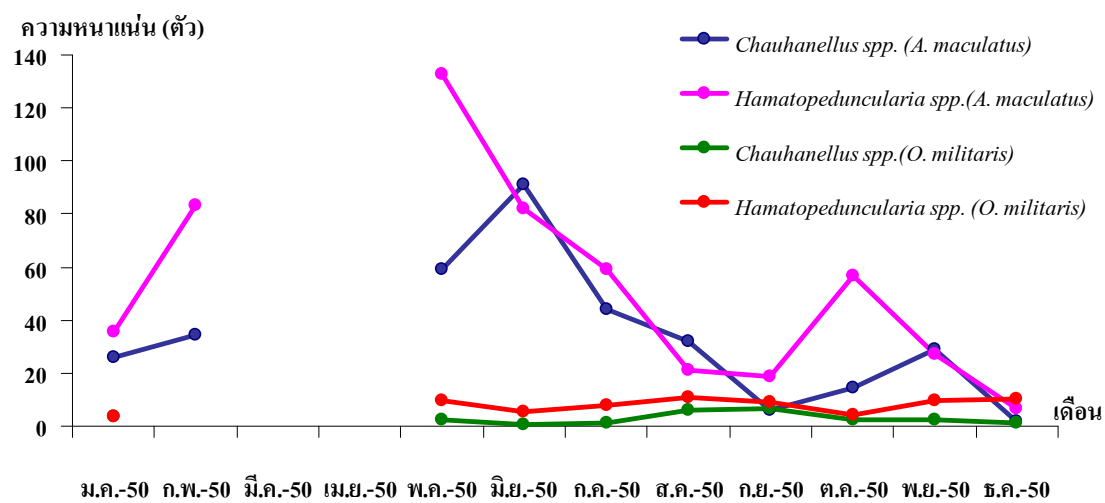
เดือน/ปี	<i>Arius maculatus</i>		<i>Osteogeneiosus militaris</i>	
	<i>Chauhanellus</i> spp.	<i>Hamatopoduncularia</i> spp.	<i>Chauhanellus</i> spp.	<i>Hamatopoduncularia</i> spp.
ม.ค.-50	26.2 ^a	35.8 ^a	3.6 ^a	3.4 ^a
ก.พ.-50	34.6 ^a	83.0 ^a	-	-
มี.ค.-50	-	-	-	-
เม.ย.-50	-	-	-	-
พ.ค.-50	59.4 ^a	133.0 ^b	2.2 ^a	9.6 ^b
มิ.ย.-50	91.2 ^a	81.9 ^a	0.4 ^a	5.2 ^b
ก.ค.-50	44.0 ^a	59.0 ^a	1.0 ^a	8.0 ^b
ส.ค.-50	32.0 ^a	21.2 ^a	6.2 ^a	11.0 ^a
ก.ย.-50	6.0 ^a	18.6 ^b	6.6 ^a	8.8 ^a
ต.ค.-50	14.2 ^a	56.8 ^b	2.4 ^a	4.4 ^a
พ.ย.-50	28.8 ^a	27.0 ^a	2.2 ^a	9.6 ^a
ธ.ค.-50	1.6 ^a	6.8 ^a	1.4 ^a	10.0 ^b
ค่าเฉลี่ย	33.80	52.31	2.89	7.78

หมายเหตุ : อักษรที่เหมือนกันในแต่ละแควข่องปลาแต่ละชนิดแสดงว่าไม่มีความแตกต่างทางสถิติ ($P > 0.05$)

: เครื่องหมาย – ไม่สามารถเก็บตัวอย่างได้



ภาพที่ 22 ปริมาณประชากร โไม โนนจีเนียน ในป่าภาคหัวเข็งและป่าภาคหัวอ่อน บริเวณระบบนิเวศ น้ำจืด



ภาพที่ 23 ความหนาแน่นของ โไม โนนจีเนียน ในป่าภาคหัวเข็ง และป่าภาคหัวอ่อน บริเวณระบบ นิเวศน้ำจืด

3.2 ระบบนิเวศน์นำร่อง

จากการศึกษาปริมาณของโไมโโนจีเนียนสกุล *Chauhanellus* และ *Hamatopeduncularia* ในป่าภาคหัวแม่ขึ้ง และป่าภาคหัวอ่อน บริเวณนิเวศน์นำร่อง พบว่าปริมาณเฉลี่ยของโไมโโนจีเนียนทั้ง 2 สกุลในป่าภาคหัวแม่ขึ้งจะมีแนวโน้มสูงกว่าในป่าภาคหัวอ่อน โดยที่ปริมาณของ *Hamatopeduncularia* จะมีแนวโน้มสูงกว่า *Chauhanellus* (ตารางที่ 10, ภาพที่ 24) และจากการเปรียบเทียบความหนาแน่นของโไมโโนจีเนียนสกุล *Chauhanellus* และ *Hamatopeduncularia* ในป่าภาคหัวแม่ขึ้ง และป่าภาคหัวอ่อน เป็นเวลา 12 เดือน พบว่าในป่าภาคหัวแม่ขึ้ง ความหนาแน่นของโไมโโนจีเนียนทั้ง 2 สกุล ไม่มีความแตกต่างทางสถิติ ($P < 0.05$) ตลอด 12 เดือนที่ทำการศึกษา ขณะที่ในป่าภาคหัวอ่อน จะมีความแตกต่างกันในเดือนมีนาคม เดือนเมษายน เดือนพฤษภาคม และเดือนตุลาคม ($P < 0.05$) (ตารางที่ 11, ภาพที่ 25)

^{ทั้งนี้ในเดือนมกราคม เดือนกุมภาพันธ์ เดือนมีนาคม เดือนเมษายน เดือนตุลาคม และเดือนธันวาคม *Chauhanellus* ในป่าภาคหัวแม่ขึ้ง และป่าภาคหัวอ่อน จะมีความแตกต่างทางสถิติ ($P < 0.05$) แต่ *Hamatopeduncularia* จะมีความหนาแน่นที่ความแตกต่างกันอย่างมีนัยสำคัญทางสถิติ ($P < 0.05$) เนพะในเดือนมกราคมเท่านั้น}

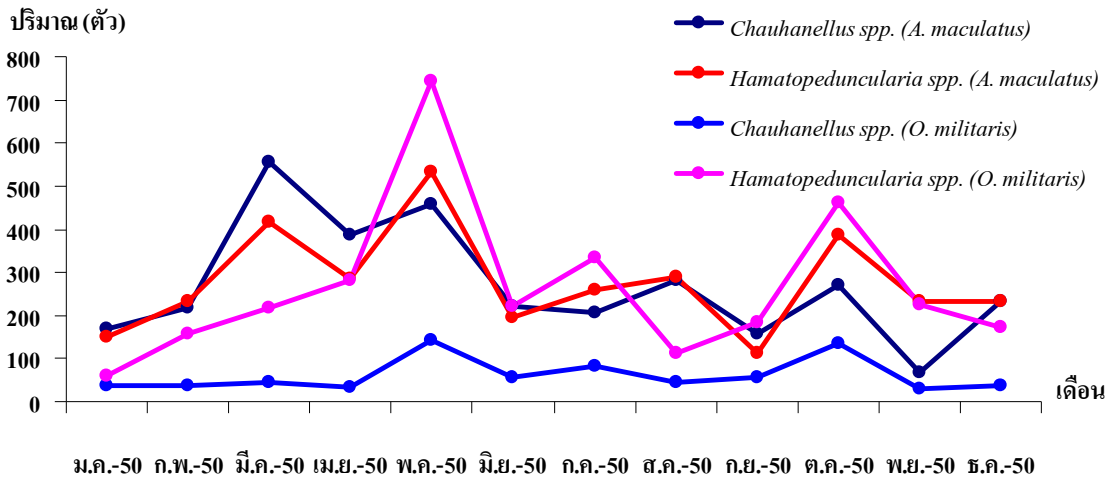
ตารางที่ 10 ปริมาณประชาร์โไม โนนจีเนียน (ตัว) ในป่าภาคหัวแม่และป่าภาคหัวอ่อน บริเวณระบบนิเวศน์น้ำกร่อย

เดือน	<i>Arius maculatus</i>		รวม	<i>Osteogeneiosus militaris</i>		รวม
	<i>Chauhanellus</i> spp.	<i>Hamatopeduncularia</i> spp.		<i>Chauhanellus</i> spp.	<i>Hamatopeduncularia</i> spp.	
ม.ค.-50	170	152	322	36	60	96
ก.พ.-50	216	232	448	36	158	194
มี.ค.-50	554	418	972	46	218	264
เม.ย.-50	385	287	672	35	282	317
พ.ค.-50	460	532	992	142	742	884
มิ.ย.-50	220	196	416	58	222	280
ก.ค.-50	208	260	468	82	334	416
ส.ค.-50	280	288	568	44	114	158
ก.ย.-50	156	114	270	58	184	242
ต.ค.-50	272	386	658	136	462	598
พ.ย.-50	68	232	300	30	224	254
ธ.ค.-50	234	232	466	38	172	210
ค่าเฉลี่ย	268.58	277.42	546	61.75	264.33	326.08

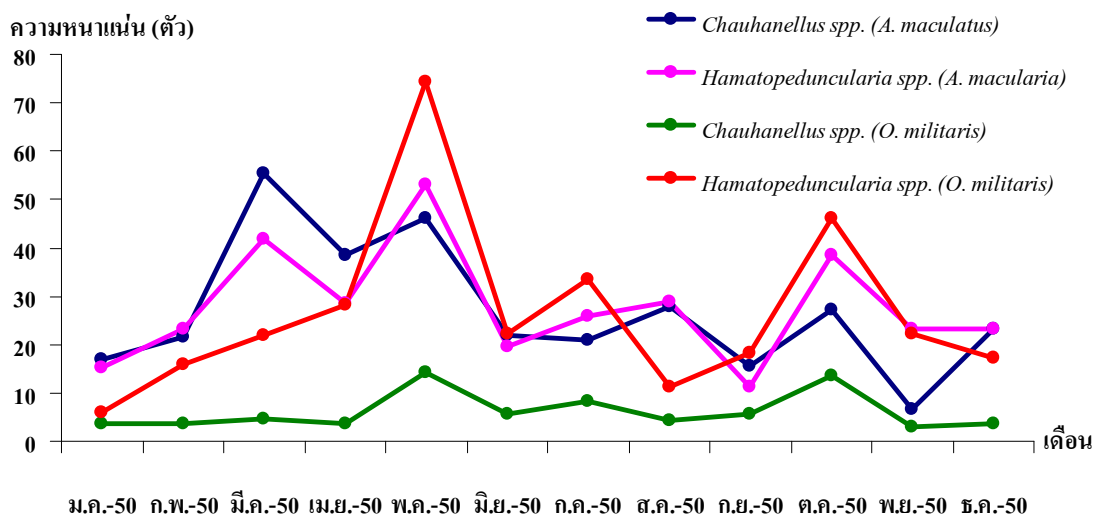
ตารางที่ 11 ความหนาแน่นของโไม โนจีเนียน ในป่ากุดหัวแข็ง และป่ากุดหัวอ่อน บริเวณระบบนิเวศน์กำรร้อย

เดือน/ปี	<i>Arius maculatus</i>		<i>Osteogeneiosus militaris</i>	
	<i>Chauhanellus</i> spp.	<i>Hamatopeduncularia</i> spp.	<i>Chauhanellus</i> spp.	<i>Hamatopeduncularia</i> spp.
ม.ค.-50	17.0 ^a	15.2 ^a	3.6 ^a	6.0 ^a
ก.พ.-50	21.6 ^a	23.2 ^a	3.6 ^a	15.8 ^a
มี.ค.-50	55.4 ^a	41.8 ^a	4.6 ^a	21.8 ^b
เม.ย.-50	38.5 ^a	28.7 ^a	3.5 ^a	28.2 ^b
พ.ค.-50	46.0 ^a	53.2 ^a	14.2 ^a	74.2 ^b
มิ.ย.-50	22.0 ^a	19.6 ^a	5.8 ^a	22.2 ^a
ก.ค.-50	20.8 ^a	26.0 ^a	8.2 ^a	33.4 ^a
ส.ค.-50	28.0 ^a	28.8 ^a	4.4 ^a	11.4 ^a
ก.ย.-50	15.6 ^a	11.4 ^a	5.8 ^a	18.4 ^a
ต.ค.-50	27.2 ^a	38.6 ^a	13.6 ^a	46.2 ^b
พ.ย.-50	6.8 ^a	23.2 ^a	3.0 ^a	22.4 ^a
ธ.ค.-50	23.4 ^a	23.2 ^a	3.8 ^a	17.2 ^a
ค่าเฉลี่ย	26.86	23.2	6.18	26.43

หมายเหตุ : อักษรที่เหมือนกันในแต่ละแควของปลาแต่ละชนิดแสดงว่าไม่มีความแตกต่างทางสถิติ ($P > 0.05$)



ภาพที่ 24 ปริมาณประชากร โไม โนนจีเนียนในปลากดหัวแข็งและปลากดหัวอ่อน บริเวณระบบนิเวศน้ำกร่อย



ภาพที่ 25 ความหนาแน่นของโไม โนนจีเนียน ในปลากดหัวแข็ง และปลากดหัวอ่อน บริเวณระบบนิเวศน้ำกร่อย

ความสัมพันธ์ระหว่างประชากรปรสิตโนโนจีเนียนกับปลาดหัวแข็ง และปลาดหัวอ่อน ในบทบาทการเป็นเครื่องหมายธรรมชาติ

ซึ่งจากการศึกษาที่พบประชากรปลาดหัวแข็ง และปลาดหัวอ่อนในระบบนิเวศน้ำกร่อย และน้ำจืด ตลอดทั้งปี (ยกเว้นในช่วงฤดูที่เรือเล็กไม่สามารถออกໄไปจับปลาได้) ทำให้อุณหภูมานี้ได้ ว่าปลา 2 ชนิดนี้มีการแพร่กระจายได้ในความเค็มที่กว้าง (euryhaline species) แต่กลับพบเจือนำง่าย ของรูปแบบการแพร่กระจายของโนโนจีเนียนที่ต่างกันกล่าวคือ ปลาดหัวอ่อนในระบบนิเวศน้ำจืด จะมีปริมาณของ *Chauhanellus* และ *Hamatopeduncularia* น้อยมาก และมีค่าความหนาแน่นใกล้เคียง กันตลอดทั้งปี เมื่อเปรียบเทียบกับที่พบในปลาดหัวแข็ง เช่น เติบโตกับระบบนิเวศน้ำกร่อย และ พนว่า *Chauhanellus* ในปลาดหัวอ่อนมีจำนวน และความหนาแน่นในระดับต่ำ และใกล้เคียงกัน ตลอดทั้งปี แสดงให้เห็นว่า *Chauhanellus* ในปลาดหัวอ่อน เป็นกลุ่มโนโนจีเนียนที่ไม่มีความโดดเด่นในเรื่องการแพร่กระจาย ไม่เหมาะที่จะนำมาเป็นตัวชี้วัดถึงลักษณะเด่นๆ หรือชีววิทยาของปลาเจ้าบ้าน ได้อย่างมีประสิทธิภาพ

ในการตรวจน้ำมัน *Hamatopeduncularia* น้ำจะเป็นตัวชี้วัดถึงความเปลี่ยนแปลงของชีววิทยา และสิ่งแวดล้อม ได้ดีกว่า เพราะมีแนวโน้ม ในการเปลี่ยนแปลงจำนวนประชากร และความหนาแน่น ตามฤดูกาล นอกจากนี้ยังพบว่าในปลาชนิดเดียว กัน (ปลาดหัวอ่อน) ที่อยู่ต่างระบบนิเวศจะมีปริมาณ แตกต่างกันอย่างมาก โดยที่ระบบนิเวศน้ำกร่อยจะพบในประมาณที่สูงมาก แต่กลับมีปริมาณที่น้อยมาก ในระบบนิเวศน้ำจืด แสดงให้เห็นว่า *Hamatopeduncularia* ชนิด ที่เป็นปรสิตในปลาดหัวอ่อน อาจเป็นคนละชนิดกับ *Hamatopeduncularia* ชนิดที่เป็นปรสิตในปลาดหัวแข็ง ซึ่งจากการรายงาน ของ Lim (1998) ระบุว่า *Hamatopeduncularia* ที่พบเป็นปรสิตในปลาดหัวอ่อน มี 2 ชนิด คือ *Hamatopeduncularia simplex* และ *H. malaccensis* ขณะที่ในปลาดหัวแข็งพบต่างกันออกໄไปถึง 3 ชนิด คือ *H. arii*, *H. isosimplex* และ *H. paperni* มีเพียง *H. malaccensis* เท่านั้นที่พบได้จากปลา 2 ชนิด อุณหภูมานี้ได้ว่าในจำนวนชนิดเหล่านี้ อาจมีชนิดใดชนิดหนึ่งที่เป็นตัวแปรที่ไวด์ต่อการผันแปร ของสิ่งแวดล้อม และที่เป็นไปได้มากที่สุดคือ *H. simplex* เนื่องจากพบในปลาดหัวอ่อนเท่านั้น แต่ ไม่มีรายงานในปลาดหัวแข็ง ดังนั้น โนโนจีเนียนสกุล *Hamatopeduncularia* จึงน่าที่จะมีศักยภาพ ในการชี้วัดถึงกลุ่มประชากรปลา (ที่อยู่ต่างระบบนิเวศ) หรือความผันแปรของสภาพทางนิเวศวิทยา โดยเฉพาะความเค็ม หรืออุณหภูมิ

ปริมาณประชากร และความหนาแน่นของโโมโนนจีเนียน โดยเฉพาะในปลาดหัวแมง จากทั้ง 2 ระบบนิเวศ พบว่า จะมีค่าสูงในช่วงเดือน เมษายน – มิถุนายน ซึ่งเป็นช่วงฤดูร้อน ทำให้อุณหภูมิอากาศ และน้ำสูงขึ้น ภาวะเช่นนี้จะเอื้ออำนวยต่อการพัฒนาการ ในวงชีวิตของโโมโนนจีเนียนให้แพร่ขยายพันธุ์ได้เร็วขึ้น ลักษณะเดียวกันนี้มีการศึกษาในประเทศตุรกี โดยมีการศึกษาถึงสภาวะการมีปรสิตกลุ่มโโมโนนจีเนียนในปลาระมชาติที่เป็นอาหารของมนุษย์ โดยเฉพาะในกลุ่ม cyprinids ซึ่ง Öztürk and Altunel (2006) รายงานว่า โโมโนนจีเนียนสกุล *Dactylogyrus* จำนวน 4 ชนิด ที่พบในปลาวงศ์ Cyprinidae 4 สกุล ที่จับได้จากแหล่งน้ำธรรมชาติ ด้านทิศตะวันตกเฉียงเหนือของคาบสมุทรอนโนโடีลีย์ จะมีความหนาแน่นของประชากรลดลงในช่วงฤดูใบไม้ร่วง และฤดูหนาว สอดคล้องกับที่ Kir and Tekin Özcan (2007) ที่ศึกษาปรสิตโโมโนนจีเนียนชนิด *Dactylogyrus minutus* ในปลารutilus (*Cyprinus carpio*) ที่รวมรวมได้จากทะเลสาบ Kovada ในประเทศตุรกี (ตะวันตกเฉียงใต้ของคาบสมุทรอนโนโtodeliy) โดยพบว่าในช่วงฤดูร้อน จะมีความหนาแน่นของประชากรปรสิตกลุ่มนี้ได้สูงกว่าในฤดูอื่น ๆ ทั้งนี้เกี่ยวเนื่องกับอุณหภูมน้ำในทะเลสาบ และได้ให้ความเห็นว่า อุณหภูมิมีผลโดยตรงต่อการระยะเวลาในการพัฒนาการของชีวิต และยังได้จัดให้โโมโนนจีเนียน เป็น thermophilic parasite อีกด้วย นอกจากนี้ยังมีการรายงานในประเทศอียิปต์ ในลักษณะที่ให้ผลสอดคล้องกัน กล่าวคือ *Haliotrematooides* sp. ในปลา *Morone labrax*, *Paranella* sp., *Carnagoides bayad*, *Neothoracocotyl* sp., *Parupeneus forsskali*, *Diplectanum* sp., *Epinephelus microdon*, *Haliotrema* sp. และ *Rhabdosagrus sabra* จะเพิ่มความชุกชุมขึ้นตามลำดับจากฤดูหนาว ถึงฤดูใบไม้ผลิ จนสูงสุดในช่วงฤดูร้อน และจะลดลงอีกครั้งในช่วงฤดูใบไม้ร่วง และฤดูหนาว (Bayoumy et al., 2008) ซึ่งเป็นไปในทิศทางเดียวกับการศึกษาในครั้งนี้

อย่างไรก็ตามข้อมูลที่ปรากฏในการศึกษาในครั้งนี้ และที่มีรายงานในตุรกี และอียิปต์ ดังกล่าวข้างต้น กลับแตกต่างจากที่รายงานโดย Hossain et al. (2008) ที่ได้ศึกษาปรสิตภายในอก ในปลากระดูกcarp (Cyprinidae) หลายชนิดจากแหล่งเลี้ยงในเมืองโบกรา (Bogra) ประเทศบังคลาเทศ พบว่า *Dactylogyrus* spp. จะมีความชุกชุมสูงในฤดูหนาว และฤดูฝน และมีค่าต่ำลงในฤดูร้อน ซึ่งอาจจะกล่าวได้ว่า ฤดูหนาวจะเป็นภัยคุกคามกับปลาทั้งสองลักษณะ จึงทำให้การติดปรสิตเป็นไปได้ง่าย และรุนแรงกว่าในฤดูร้อน

จากการศึกษาครั้งนี้ จะสังเกตได้ว่าปริมาณประชากรโโมโนนจีเนียน ในปลาดหัวแมง และปลาดหัวอ่อน จาก 2 ระบบนิเวศ จะมีความผันแปรด้านจำนวน และความหนาแน่น เป็นไปตามฤดูกาล และมีปฏิสัมพันธ์กับชีวิทยาการสืบพันธุ์ของปลาเจ้าบ้านในลักษณะเฉพาะของระบบ

นิเวศ โดยในระบบนิเวศน้ำจืด โดยความสัมพันธ์ของประชากรโ莫โนนจีเนียน จะแปรตามดัชนีความสมบูรณ์เพศกล่าวคือ ประชากรโ莫โนนจีเนียนจะมีแนวโน้มเพิ่มขึ้น เมื่อปลาด้วย 2 ชนิด มีดัชนีความสมบูรณ์เพศสูงขึ้น (ภาพที่ 12,17 และ 22) และมีแนวโน้มที่จะพบปรสิตในปลาเพศเมียมากกว่าเพศผู้ (ตารางที่ 12) ทั้งนี้อาจจะมีความเชื่อมโยงในเรื่องของรูปแบบการสร้างเซลล์สืบพันธุ์ ซึ่งอาจจะส่งผลต่อการปฏิเสธการยอมรับปรสิตแบบชั่วคราว ซึ่งเมื่อเทียบเคียงกับสมมติฐานการเข้าเกาอาศัยของปรสิตทั่วไปในสัตว์เจ้าบ้าน พบว่าสอดคล้องกับปริมาณ testosterone ที่สร้างขึ้นในเจ้าบ้านเพศผู้ ดังที่รายงานในประชากรปลา Atlantic salmon (*Salmo salar*) ในยุโรป (Gross *et al.*, 2003) แต่ในขณะเดียวกันในระบบนิเวศน้ำกร่อย ประชากรโ莫โนนจีเนียนจะแปรผันกับดัชนีความสมบูรณ์เพศ (ภาพที่ 12,17 และ 24) และไม่พบความแตกต่างอย่างชัดเจนระหว่างปริมาณการเข้าเกาอาศัยของโโมโนนจีเนียนในปลาด้วย 2 เพศ (ตารางที่ 13) ทั้งนี้อาจมีผลผลกระทบจากความเค็มซึ่งมีผลโดยตรงต่อปริมาณ หรือความเข้มข้นของอร์โ莫โนนเพศผู้ (testosterone) ดังจะเห็นได้จาก การศึกษาของ Altun and Sarihan (2008) ที่พบว่าความเค็มที่เพิ่มขึ้นจะส่งผลให้ปริมาณ testosterone ในปลาเพคนิลเพศผู้ที่อยู่ในระยะสมบูรณ์เพศลดลง ทำให้การต่อต้านการเข้าอาศัยของปรสิตมีประสิทธิภาพลดลง จึงเอื้อต่อการเข้าเกาของโโมโนนจีเนียนได้มากขึ้น

จากข้อมูลจำเพาะในเรื่องขนาดเฉลี่ยของปลาด้วยที่จับได้ในช่วงเวลาเดียวกันจาก 2 ระบบ นิเวศรวมทั้งดัชนีความสมบูรณ์เพศ เป็นหลักฐานชัดเจนที่สามารถระบุได้ว่า ปลาจาก 2 ระบบนิเวศ เป็นปลาต่างกันกลุ่มประชากรกัน ดังนั้น โโมโนนจีเนียนที่พบในปลาต่างแหล่งกัน ก็ควรที่จะเป็นกลุ่มประชากรที่จำเพาะในแหล่งนั้น ๆ ทั้งนี้ กลุ่มประชากรปลาเจ้าบ้าน และปัจจัยแวดล้อมโดยเฉพาะ ความเค็มของน้ำ น่าจะเป็นปัจจัยสำคัญในการแพร่กระจายของปรสิตโโมโนนจีเนียน ให้คงอยู่ในระบบ นิเวศของตัวมันเอง ซึ่งจะเป็นการควบคุมการถ่ายเทของสารพันธุกรรม (gene flow) ในระดับกลุ่มประชากรย่อย (sub-stock) ทั้งนี้ Kuusela *et al.* (2009) ได้ศึกษาปริมาณประชากร และความชุกชุม ของ *Gyrodactylus salaris* ในกลุ่มประชากรย่อยของปลาแซลมอน (*Salmo salar*) จากแหล่งน้ำ 2 แห่ง ในบริเวณความสมดุลทางดิน夷ชีงครึ่งหนึ่งเคยเชื่อมติดกัน จะมีโครงสร้างพันธุกรรม (clonal structure) ที่ต่างกัน เนื่องจากถูกแบ่งแยกด้วยสภาพทางภูมิศาสตร์เป็นเวลานานกว่า 11,000 ปี (ปลายยุค拿้้าแข็ง) ทำให้ทำให้ต่างฝ่ายต้องปรับตัวร่วมกับเจ้าบ้าน (coadaptation) เพื่อให้สามารถอยู่ในสิ่งแวดล้อมนั้น ๆ ได้ ดังนั้น หากมีการปิดกั้นทะเลสาบสงขลาตอนใน ช่วงน้ำจืด และน้ำกร่อย ไม่ให้เกิดการปนเปื้อนของพันธุกรรมทั้งสองประเภทและของปรสิตอย่างถาวร จำสามารถส่งผลให้โครงสร้างทางพันธุกรรมเปลี่ยนแปลงไปได้

ตารางที่ 12 ความสัมพันธ์ระหว่างเพศของปลา กับการเข้าเกาะอาศัยของ โนโนจินีเนยน บริเวณระบบนิเวศน์สำราญ

เดือน	<i>Aruis maculatus</i>				<i>Osteogeneiosus militaris</i>			
	เพศผู้		เพศเมีย		เพศผู้		เพศเมีย	
	CH	HA	CH	HA	CH	HA	CH	HA
ม.ค.	-	-	262	358	-	-	36	34
ก.พ.	346	830	-	-	-	-	-	-
มี.ค.	-	-	-	-	-	-	-	-
เม.ย.	-	-	-	-	-	-	-	-
พ.ค.	218	400	376	390	18	70	4	26
มิ.ย.	696	639	216	180	0	12	4	40
ก.ค.	32	66	408	524	10	56	0	24
ส.ค.	110	82	210	130	4	14	58	96
ก.ย.	8	36	52	150	42	50	24	38
ต.ค.	42	126	100	442	14	16	10	28
พ.ย.	52	58	236	212	14	26	8	70
ธ.ค.	2	6	14	62	2	14	12	86
ค่าเฉลี่ย	150.60	224.30	187.40	244.80	11.56	28.67	17.33	49.11

หมายเหตุ : เครื่องหมาย - แสดงว่าไม่มีตัวอย่าง, สัญลักษณ์ CH หมายถึง *Chauhanellus* spp., สัญลักษณ์ HA หมายถึง *Hamatopeduncularia* spp.

ตารางที่ 13 ความสัมพันธ์ระหว่างเพศของปลา กับการเข้าเกาะอาศัยของโไม โนจีนียัน บริเวณระบบนิเวศน้ำกร่อย

เดือน	<i>Aruis maculatus</i>				<i>Osteogeneiosus militaris</i>			
	เพศผู้		เพศเมีย		เพศผู้		เพศเมีย	
	CH	HA	CH	HA	CH	HA	CH	HA
ม.ค.	144	120	26	32	28	42	8	18
ก.พ.	124	110	92	122	20	76	16	82
มี.ค.	258	130	296	288	14	86	32	132
เม.ย.	194	119	191	168	24	115	11	167
พ.ค.	438	474	22	58	74	386	68	356
มิ.ย.	130	124	90	72	28	98	30	124
ก.ค.	68	84	140	176	34	264	48	78
ส.ค.	180	162	100	126	16	14	28	100
ก.ย.	56	50	100	64	26	68	32	116
ต.ค.	18	42	254	344	78	324	58	138
พ.ย.	24	196	44	36	8	98	22	126
ธ.ค.	64	70	170	162	4	104	34	68
ค่าเฉลี่ย	141.50	140.08	127.08	137.33	29.50	139.58	32.25	125.42

หมายเหตุ : สัญลักษณ์ CH หมายถึง *Chauhanellus* spp., สัญลักษณ์ HA หมายถึง *Hamatopeduncularia* spp.

สรุปและข้อเสนอแนะ

สรุป

ชีววิทยาเบื้องต้น ของการสืบพันธุ์ของประชากรปลาดหัวแข็ง และปลาดหัวอ่อน

1. ความสัมพันธ์ระหว่างความยาวมาตรฐานและน้ำหนัก

ความสัมพันธ์ระหว่างความยาวมาตรฐานและน้ำหนัก ของปลาดหัวแข็งเพศผู้ และเพศเมีย มีค่าเท่ากับ $W = 0.0807 SL^{2.4249}$ และ $W = 0.1349 SL^{2.2552}$ ตามลำดับ และปลาดหัวอ่อนเพศผู้ และ เพศเมีย พบร่วมกันว่าความสัมพันธ์ระหว่างความยาวมาตรฐานและน้ำหนัก มีค่าเท่ากับ $W = 0.0819 SL^{2.3625}$ และ $W = 0.2072 SL^{2.0698}$ ตามลำดับ ($P < 0.05$) โดยรูปแบบการเดินทางของปลาดหัวทั้ง 2 ชนิด เป็นแบบ อัลโลเมตริก (allometric pattern)

2. อัตราส่วนเพศ

อัตราส่วนเพศของปลาดหัวแข็ง และปลาดหัวอ่อน ทั้งจาก 2 ระบบนิเวศ มีค่าเท่ากับ 1 : 1 ยกเว้นในบางเดือน ที่อาจพบเพศเมียมากกว่าเพศผู้ หรืออาจจะมีเพศผู้มากกว่าเพศเมีย ($P < 0.05$)

3. ขนาดแรกสืบพันธุ์

ปลาดหัวแข็ง เพศเมียในทะเลสาบสงขลา มีความยาวแรกสืบพันธุ์ ระหว่าง 15 ถึง 17 เซนติเมตร โดยประมาณ และปลาดหัวอ่อนเพศเมียในทะเลสาบสงขลา มีความยาวแรกสืบพันธุ์ ระหว่าง 18 ถึง 22 เซนติเมตร โดยประมาณ

4. ดัชนีสมบูรณ์เพศ

ปลาดหัวแข็งในระบบนิเวศน้ำจืด จะมีช่วงการผสมพันธุ์ที่เด่นชัด 2 ครั้ง ต่อปี ช่วงหลัก ก็คือเดือนตุลาคม ช่วงรองคือเดือนพฤษภาคม ส่วนในระบบนิเวศน้ำกร่อย จะมีช่วงการผสมพันธุ์

เพียงครั้งเดียวคือเดือนสิงหาคม ขณะที่ปลากดหัวอ่อนในระบบนิเวศน้ำจืด จะมีช่วงการผสมพันธุ์
เพียงครั้งเดียวคือเดือนพฤษภาคม ส่วนในระบบนิเวศน้ำกร่อย จะมีช่วงการผสมพันธุ์ที่เด่นชัด 2
ครั้ง ช่วงหลัก คือเดือนพฤษภาคม ช่วงรองคือเดือนกรกฎาคม

ชนิด และปริมาณของปรสิตกลุ่มโมโนจีเนียนของปลากดหัวแข็ง และปลากดหัวอ่อน

1. ปรสิตกลุ่มโมโนจีเนียนที่พบในปลากดหัวแข็ง และกดหัวอ่อนในทะเลสาบสงขลา เท^๓
จังหวัดพัทลุง มี 2 สกุล คือ *Chauhanellus* และ *Hamatopeduncularia* ทั้งนี้ปริมาณประชากร และ^๔
ความหนาแน่น โดยรวม *Hamatopeduncularia* จะมีค่าสูงกว่า *Chauhanellus*

2. ปลากดหัวแข็งจะรองรับปริมาณ และความหนาแน่นของประชากร โมโนจีเนียนทั้ง 2
สกุล ได้มากกว่าในปลากดหัวอ่อน ทั้งนี้แบบแผนการแพร่กระจายของโมโนจีเนียน ในปลาแต่ละ
ชนิดจะมีความคล้ายคลึงกัน ยกเว้นในปลากดหัวอ่อนที่พบในระบบนิเวศน้ำกร่อย

3. ความผันแปรของปริมาณประชากร โมโนจีเนียน จะสัมพันธ์กับฤดูกาล กล่าวคือ ปริมาณ
ประชากรของ โมโนจีเนียนจะมีแนวโน้มสูงขึ้นในช่วงฤดูร้อน (เดือนเมษายน ถึง เดือนมิถุนายน)
ยกเว้นสกุล *Chauhanellus* ที่พบในปลากดหัวอ่อน ทั้งใน 2 ระบบนิเวศ ที่มีลักษณะคงที่

ความสัมพันธ์ระหว่างประชากรปรสิตโมโนจีเนียนกับปลากดหัวแข็ง และปลากดหัวอ่อน ในบทบาทการเป็นเครื่องหมายธรรมชาติ

1. การแพร่กระจายของ โมโนจีเนียน มีแนวโน้มในการผันแปรในเชิงผกผันกับดัชนีความ
สมบูรณ์เพศ กล่าวคือ ปริมาณ โมโนจีเนียนจะลดลงเมื่อปลาเมียดัชนีความสมบูรณ์เพศสูง

2. จากการที่ โมโนจีเนียนสกุล *Hamatopeduncularia* มีความผันแปรตามฤดูกาล มีความ
โดยเด่นในการปรากฏในปลากดที่พบในระบบนิเวศที่จำเพาะ จึงน่าจะเลือกใช้เป็นเครื่องหมาย
ธรรมชาติได้ ภายใต้เงื่อนไขของสิ่งแวดล้อมอื่น ๆ ประกอบ

ข้อเสนอแนะ

1. การศึกษาทางด้านชีวิทยา การศึกษาเรื่องราวต่าง ๆ ตลอดช่วงของชีวิต ตั้งแต่เกิดจนตาย รวมไปถึงแหล่งที่อยู่อาศัยของสิ่งมีชีวิตที่ศึกษา เพื่อที่จะนำข้อมูลมาใช้ในการจัดการทรัพยากรอย่าง มีประสิทธิภาพต่อไป
2. เนื่องจากทะเลสาบสงขลามีขนาดใหญ่ จึงมีความยากลำบากในการเก็บตัวอย่างที่จะนำมา เป็นตัวแทนของประชากรทั้งหมด จำเป็นต้องมีการวางแผนในการเก็บข้อมูล ระบบการเก็บข้อมูลที่ มีประสิทธิภาพ มีความสมำเสมอของช่วงเวลาในการเก็บตัวอย่าง การศึกษาอย่างต่อเนื่อง และถ้า เป็นไปได้ควรศึกษาให้ครอบคลุมทั่วทั้งแหล่งแหล่งน้ำ
3. ควรดำเนินถึงผลของการเดือกขับของเครื่องมือประมงที่ใช้จับสัตว์น้ำ ในบางครั้งอาจทำ ให้ได้สัตว์น้ำไม่ครอบคลุมทุกช่วงชีวิตของสัตว์น้ำ ซึ่งอาจจะส่งผลต่อการประเมินทรัพยากร ได้
4. ในกระบวนการเก็บตัวอย่าง ควรดำเนินถึงฤดูกาล และลมมรสุม ในแต่ละเดือน ซึ่งอาจจะ เป็นอุปสรรคในการเก็บตัวอย่างได้
5. ควรจะศึกษาคุณภาพน้ำของแหล่งน้ำที่เก็บตัวอย่างปลาควบคู่กับการตรวจหาปรสิตไป ด้วย ทั้งนี้เพื่อดูว่าคุณภาพน้ำของแหล่งน้ำมีผลต่อชนิดและการแพร่กระจายของปรสิตที่พบในปลา เจ้าบ้านหรือไม่
6. ควรจะศึกษาปรสิตในตัวอย่างปลาที่มีขนาดแตกต่างกัน เพื่อเปรียบเทียบดูว่าขนาดของ ปลา มีผลต่อชนิด และจำนวนของปรสิตที่พบในปลาเจ้าบ้าน

เอกสารและสิ่งอ้างอิง

ขั้ยชาญ มหาสวัสดิ์. 2516. การศึกษาทางอนุกรมวิธานของปลาในครอบครัวปลากรดที่พบในน่านน้ำไทย. วิทยานิพนธ์ระดับปริญญาโท, มหาวิทยาลัยเกษตรศาสตร์.

ชุกเรี อะยีสาแม. 2551. นิเวศวิทยาของปลา: ทฤษฎีและการประยุกต์ใช้. โรงพิมพ์มิตรภาพ, ปีตานี.

ธีรุณี เดิคสุทธิชวาล. 2543. บทบาทของปลิงaise (Monogenea) ในการเป็นตัวบ่งชี้สถานภาพทางอนุกรมวิธานของปลาเจ้าบ้าน. ช่วงโรคสัตว์น้ำ. 10 (2): 8-10.

ชนิษฐา ทรรพนันทน์. 2543. ชีววิทยาประมง. ภาควิชาชีววิทยาประมง คณะประมง, มหาวิทยาลัยเกษตรศาสตร์, กรุงเทพฯ.

ชนิษฐา ทรรพนันทน์ ใจดี และอมรศักดิ์ สวัสดิ์. 2550. คู่มือชีววิทยาประมงภาคปฏิบัติ. ภาควิชาชีววิทยาประมง, คณะประมง, มหาวิทยาลัยเกษตรศาสตร์.

นวรัตน์ ไกรพานนท์, ศ.ดร. พูลทิว, ศ.ดร. อรุณฤทธิ์ และมนัส ช่วงประทีป. 2547. สถานภาพทรัพยากรธรรมชาติและสิ่งแวดล้อมชายฝั่งทะเล ลุ่มน้ำทะเลสาบสงขลา. สำนักงานนโยบายและแผนทรัพยากรธรรมชาติและสิ่งแวดล้อม. กระทรวงทรัพยากรธรรมชาติและสิ่งแวดล้อม. กรุงเทพฯ.

เสาวภา อังสุภานิช, สุทิน สมศักดิ์ และจุฑาทิพย์ พร้อมมูด. 2548. องค์ประกอบของอาหารในกระเพาะปลากรดในทะเลสาบสงขลา. ว. สงขลานครินทร์ วทท. 27 (ฉบับพิเศษ 1): 391-402.

สำนักงานนโยบายและแผนสิ่งแวดล้อม. 2542. ทะเบียนพื้นที่น้ำที่มีความสำคัญระดับนานาชาติและระดับชาติของประเทศไทย. กระทรวงวิทยาศาสตร์ เทคโนโลยีและสิ่งแวดล้อม. กรุงเทพฯ.

สำนักงานนโยบายและแผนทรัพยากรธรรมชาติและสิ่งแวดล้อม. 2548. โครงการจัดทำแผนแม่บทการพัฒนาอุ่มน้ำทะเลสาบสงขลา เล่มที่ 1 รายงานสรุปผู้บริหาร. ศึกษาโดย มหาวิทยาลัยสงขลานครินทร์ มหาวิทยาลัยทักษิณ มหาวิทยาลัยราชภัฏสงขลา. สงขลา.

อังสุนีย์ ชุมประภาน. 2539. การศึกษาทรัพยากรปะมงและการเปลี่ยนแปลงของประชากรสัตว์น้ำในทะเลสาบสงขลา : กรณีศึกษาจากเครื่องมือประเมิน 3 ชนิด. เอกสารวิชาการฉบับที่ 18/2539. สถาบันวิจัยการเพาะเลี้ยงสัตว์น้ำชายฝั่ง, กรมปะมง, กระทรวงเกษตรและสหกรณ์.

Altun, T and E. Saruhan. 2008. Effect of freshwater and seawater on growth, total testosterone level and testis development of tilapias. **J. Anim. Vet. Adv.** 7(6): 657-662.

Arthur, J. R. 1997. **Recent advanced in the use of parasites as biological tags for marine fish**, pp. 141-154. In T. W. Flegel and I. H. MacRae (edf). Diseases in Asian Aquaculture III. Fish Health Section. Asian Fisheries Society, Bangkok.

Balon, E.K. 1990. Epigenesis of an epigeneticist: the development of some alternative concepts on the early ontogeny and evolution of fishes. **Guelph Ichthyol. Rev.** 1:1-48.

Barse, A.M. and C.H. Hocutt. 1990. **White marlin parasites: potential indicators of stock separations, seasonal migrations and feeding habits**, Cited by J. R. Arthur. 1997. **Recent advanced in the use of parasites as biological tags for marine fish**, pp. 141-154. In T. W. Flegel and I. H. MacRae (eds.). Diseases in Asian Aquaculture III. Fish Health Section. Asian Fisheries Society, Bangkok.

Bayoumy, E. M., H. A. M. Osman, L. F. El-Bana, and M. A. Hassanain. 2008. Monogenean parasites as bioindicators for heavy metal status in some Egyptian Red Sea fishes. **Global Vet.** 2(3): 117-122.

Bianchi, G. 1985. **FAO species identification sheets for fishery purposes. Field guide to the commercial marine and brackish-water species of Pakistan.** Prepared with the support of PAK/77/033/ and FAO (FIRM) Regular Programme. FAO, Rome.

Brooks, D.R. 1986. **Analysis of hostparasite coevolution**, pp. 291297. In Howell, M.J. (ed.), ParasitologyQua Vadit? Proceedings of the 6th International Congress of Parasitology. Australian Academy of Science, Canberra.

Euzet, L. and C. Combes. 1998. The selection of habitats among the monogenea. **Inter. J. Parasitol.** 28(10): 1645-1652.

Gross, R., J. Nilsson, K. Kohlmann, J. Lumme, S. Titov, and A. Veselov. 2003. Distribution of growth hormone 1 gene haplotype among Atlantic salmon, *Salmon salar* L. populations in Europe. **Atlantic salmon: Biology, conservation and restoration 2003.** 32-37

Grutter, A. S. 1998. Habitat-related differences in the abundance if parasites from a coral reef fish: an indication of the movement patterns of *Hemigymnus melapterus*. **J. Fish Biol.** 53: 49-57.

Gussev, A. V. 1976. Freshwater Indian Monogenoidea. Principles of systematics, analysis of the world faunas and their evolution. **Indian J. Helminthol.** 25 & 26: 1-241.

Holden, M.J. and D.F.S. Raitt. 1974. **Manual of Fisheries Science. Part 2, Methods of Resources Investigation and Their Application.** FAO Fisheries Technical Report No. 115, Rev.1. Rome.

Hossain, M. D., M. Kabil Hossain, M. Habibur Rahman, A. Akter, D. A. Kanhom. 2008. Prevalence of ectoparasites of carp fingerlings at Santaher, Bogra. **Univ. J. Zool. Rajshahi Univ.** 27: 17-19.

Humphreys, R.L., M.A. Crossier and C.M. Rowland. 1993. Use of a monogenean gill parasite and feasibility of condition indices for identifying new recruits to a seamount population of armorhead *Pseudopentaceros wheeleri* (Pentacerotidae). **Fish. Bull.** 91: 455-463

Jeyaseelan, M.J.P. 1998. **Manual of fish eggs and larvae from Asian mangrove waters.** UNESCO, Paris.

Kailola, P. J. Carpenter, E. Kent and Volker H. Niem, eds. 1999. **Ariidae (=Tachysuridae): Sea catfishes (fork-tailed catfishes).** FAO species identification guide for fishery purposes: The living marine resources of the Western Central Pacific, vol. 3: Batoid fishes, chimaeras and Bony fishes, part 1 (Elopidae to Linophrynididae). 1827-1879.

Kir, I. and S. Tekin Özcan. 2007. Helminth infection in common carp *Cyprinus carpio*. 1758 (Cyprinidae) from Kovada Lake (Turkey). **Türkiye Parazitol. Derg.** 31(3): 232-236.

Kuusela, J., R. Holopainen, M. Meinila, P. Anttila, P. Koski, Ziçtara, A. Veselov, C. R. Primmer, and J. Lumme. 2009. Clonal structure of salmon parasite *Gyrodactylus salaris* on a coevolutionary gradient on Fennoscandian salmon (*Salmo salar*). **Ann. Zool. Fennici.** 46: 21-33.

Lerssutthichawal, T. 1999. **Monogeneans of the Freshwater Siluriform Fishes of Thailand.** Ph.D. Dissertation. University of Malaya, Kuala Lumpur.

Lim, L.H.S. 1991. **Preparation of museum specimens-Monogenea.** In M. Shariff (ed.). Fish Health Section Newsletter. Asian Fisheries Society, 2(1): 10-11.

_____. 1994. *Chauhanellus* Bychowsky & Nagibina, 1969 (Monogenea) from ariid fishes (Siluriformes) of Peninsular Malaysia. **Sys. Parasitol.** 28: 99-124.

- Lim, L.H.S. 1995. *Neocalceostoma* Tripathi, 1957 and *Neocalceostomoides* Kritsky, Mizelle & Bilqees, 1978 (Monogenea: Neocalceostomatidae n. fam.) from ariid fishes of Peninsular Malaysia. **Sys. Parasitol.** 30: 141-151.
- _____. 1996. Eight new species of *Hamatopeduncularia* Yamaguti, 1953 (Monogenea: Ancyrocephalidae) from Ariidae of Peninsular Malaysia. **Sys. Parasitol.** 33:53-71.
- _____. 1998. Diversity of monogeneans in Southeast Asia. **Inter. J. Parasitol.** 28: 1495-1515.
- Lim, L. H. S and J. I. Furtado. 1986. Five new species of aencylodiscoidins (Monogenea: Aencylodicoidinae) from *Notopterus chitala* (Hamilton) and *Notopterus notopterus* (Pallas) in Peninsular Malaysia. **Folia Parasitol.** 33: 315-325.
- Lim, L.H.S., T. A. Timofeeva and D. I. Gibson. 2001. Dactylogyridean monogeneans of the siluriform fishes of the Old World. **Sys. Parasitol.** 50: 159-197.
- Margolis, L., G.E. Esch, J.C. Holmes, A.M. Kuris and G.A. Schad. 1982. The use of ecological terms in parasitology. **J. Parasitol.** 68(1): 131-133.
- Öztürk, M. O. and F. N. Altunel. 2006. Occurrence of Dactylogyrus infection linked to seasonal changes and host fish size on four cyprinid fished in Lake Manya, Turkey. **Acta Zool. Acad. Sci. Hung.** 52(4): 407-415.
- Rainboth, W.J., 1996. **Fishes of the Cambodian Mekong.** FAO Species Identification Field Guide for Fishery Purposes. FAO. Rome.

Ricardo Betancur-R., Arturo Acero P., E. Bermingham and R. Cooke. 2007, Systematics and biogeography of New World sea catfishes (Siluriformes :Ariidae) as inferred from mitochondrial,nuclear, and morphological evidence, **Molecular Phylogenetics and Evolution.**

Ricker, W.E., 1975. **Computation and interpretation of biological statistics of fish population.** Bull. Fish. Res. Board Can. (191): 382 p.

Roberts, T. R. 1992. **Systematic revision of the Old World freshwater fish family Notopteridae.** Ich. Exp. Fresh. 2(4): 361-383.

Rohde, K. 1993. **Ecology of Marine Parasites. Second Edition.** CAB International. Wallingford, Oxon, UK.

Russell, B.C. and W. Houston. 1989. **Offshore fishes of the Arafura Sea.** Beagle 6(1): 69-84.

Stanley, R. D., D. L. Lee, and D. J. Whittaker, 1992. Parasites of yellowtail rockfish, *Sebastodes flavidus* (Ayres, 1862) (Pisces: Teleostei), from the Pacific coast of North America as potential biological tags for stock identification. *Can. J. Zool.* 70: 1086-1096.

Whittington, I. D., L. A. Chisholm, and K. Rohde, 2000. The larvae of Monogenea (Platyhelminthes). *Adv. Parasitol.* 44: 139-232.

Zharikova, T. L. and A. N. Kasyanov, 1997. **On possibility of using the monogenean parasites as biological indicators of ecological morph of roach *Rutilus rutilus* L.**, pp. 67. In Gelnar, M. (ed.), The Programme and Abstracts of the 3rd International Symposium on Monogena. Hotel International. 25-30 August, 1997. Brno, Czech Republic.

ภาคผนวก

**ตารางผนวกที่ 1 ข้อมูลความยาวเหยียด (เซนติเมตร) ความยาวมาตรฐาน (เซนติเมตร) น้ำหนักตัว (กรัม)
เพศ และน้ำหนักรังไข่ (กรัม) ของปลาดหัวแข็ง ในระบบนิเวศน้ำจีด**

ลำดับ	ความยาวห้องหมด (เซนติเมตร)	ความยาวมาตรฐาน (เซนติเมตร)	น้ำหนักตัว (กรัม)	เพศ	น้ำหนักรังไข่ (กรัม)
1	16	14	51	ตัวเมีย	-
2	20	17	82	ตัวเมีย	-
3	17	15	52	ตัวเมีย	-
4	17	15	59	ตัวเมีย	-
5	18	16	51	ตัวเมีย	-
6	18	15	52	ตัวเมีย	-
7	19	16	59	ตัวเมีย	-
8	16	14	49	ตัวเมีย	14
9	19	16	72	ตัวเมีย	2
10	18	16	60	ตัวเมีย	9
11	19	16	78	ตัวเมีย	9
12	19	16	69	ตัวเมีย	3
13	17	14	42	ตัวเมีย	8
14	19	16	61	ตัวเมีย	4
15	20	17	79	ตัวเมีย	6
16	18	15	60	ตัวเมีย	8
17	20	17	80	ตัวเมีย	2
18	19	17	70	ตัวเมีย	5
19	20	17	73	ตัวเมีย	6
20	19	16	60	ตัวเมีย	2
21	17	15	52	ตัวเมีย	2
22	17	15	59	ตัวเมีย	2.5
23	16	14	49	ตัวเมีย	3
24	19	16	62	ตัวเมีย	5
25	17	15.5	69	ตัวเมีย	4

ตารางผนวกที่ 1 (ต่อ)

ลำดับ	ความยาวทั้งหมด (เซนติเมตร)	ความยาวมาตรฐาน (เซนติเมตร)	น้ำหนักตัว (กรัม)	เพศ	น้ำหนักรังไข่ (กรัม)
28	18	15	50	ตัวเมีย	10
29	19	16	70	ตัวเมีย	10
30	18	15	59	ตัวเมีย	2
31	17	14.3	40	ตัวผู้	10
32	18.4	15.5	62	ตัวผู้	3
33	17	14.1	44	ตัวผู้	3
34	18.2	15.5	60	ตัวผู้	6
35	17.5	14.7	48	ตัวผู้	4
36	17.4	14.1	50	ตัวผู้	10
37	16.6	14.1	44	ตัวผู้	4
38	17	14.8	50	ตัวผู้	-
39	18	15.1	48	ตัวผู้	10
40	16.1	14.4	48	ตัวผู้	6
41	19	15.5	48	ตัวเมีย	2
42	19.5	16.3	60	ตัวเมีย	10
43	18.5	15.6	50	ตัวเมีย	2
44	16.5	14.4	42	ตัวเมีย	4
45	17.2	14.5	50	ตัวเมีย	4
46	16.5	14.2	47	ตัวเมีย	3
47	15.3	12.5	30	ตัวเมีย	3
48	17.5	15.1	58	ตัวเมีย	-
49	17.5	14.7	48	ตัวผู้	-
50	18	15.4	57	ตัวผู้	-
51	17.6	14.5	45	ตัวเมีย	-
52	18.7	15.8	54	ตัวเมีย	-
53	18.5	15.5	54	ตัวเมีย	-

ตารางผนวกที่ 1 (ต่อ)

ลำดับ	ความยาวทั้งหมด (เซนติเมตร)	ความยาวมาตรฐาน (เซนติเมตร)	น้ำหนักตัว (กรัม)	เพศ	น้ำหนักร่างไข่ (กรัม)
56	18.3	15.4	54	ตัวเมีย	-
57	16	13.7	34	ตัวผู้	-
58	17.7	15.1	42	ตัวเมีย	-
59	18	14.7	57	ตัวเมีย	-
60	16.5	14.1	41	ตัวเมีย	-
61	19.7	15.5	70	ตัวเมีย	-
62	17.5	14.5	60	ตัวเมีย	-
63	16	13.5	40	ตัวผู้	-
64	15	13	38	ตัวผู้	-
65	16.3	13.5	40	ตัวผู้	-
66	16	13	40	ตัวผู้	-
67	17.5	14.5	60	ตัวเมีย	-
68	22.5	19.5	96	ตัวผู้	-
69	17.5	14.5	50	ตัวเมีย	-
70	16.4	13.5	50	ตัวเมีย	-
71	17	14	42	ตัวผู้	-
72	16.5	13.5	36	ตัวผู้	-
73	16	14	38	ตัวผู้	-
74	14.5	12	28	ตัวผู้	-
75	15	13	32	ตัวผู้	-
76	16	14	40	ตัวเมีย	-
77	15.5	12.6	32	ตัวผู้	-
78	18.5	15	64	ตัวเมีย	8
79	15	12.3	30	ตัวเมีย	8
80	16.5	14	38	ตัวผู้	-
81	16	13.5	36	ตัวเมีย	-

ตารางผนวกที่ 1 (ต่อ)

ลำดับ	ความยาวทั้งหมด (เซนติเมตร)	ความยาวมาตรฐาน (เซนติเมตร)	น้ำหนักตัว (กรัม)	เพศ	น้ำหนักรังไข่ (กรัม)
84	15.5	12.5	30	ตัวเมีย	8
85	15	12.3	30	ตัวเมีย	-
86	16.5	13.5	38	ตัวผู้	2
87	18.5	14.7	68	ตัวเมีย	2
88	16.5	13.7	38	ตัวผู้	-
89	16.7	13.6	42	ตัวผู้	-
90	16.4	13.3	34	ตัวผู้	-
91	23	20	130	ตัวเมีย	-
92	22	19.5	94	ตัวผู้	-
93	19	16.5	74	ตัวผู้	2
94	20	18	90	ตัวผู้	-
95	24	22	132	ตัวผู้	8
96	21.5	19	112	ตัวผู้	2
97	20	17.5	90	ตัวเมีย	-
98	22	20	128	ตัวผู้	1
99	18	15.5	64	ตัวเมีย	-
100	21	18	94	ตัวผู้	-
101	22	19.5	112	ตัวผู้	-
102	21	19	98	ตัวผู้	-
103	22	19	104	ตัวเมีย	-
104	22.5	19	106	ตัวผู้	10
105	20.5	18.5	96	ตัวผู้	-
106	23	20.5	134	ตัวเมีย	-
107	22	18.5	98	ตัวผู้	-
108	18	15	66	ตัวเมีย	-
109	21	18	92	ตัวเมีย	-

ตารางผนวกที่ 1 (ต่อ)

ลำดับ	ความยาวทั้งหมด (เซนติเมตร)	ความยาวมาตรฐาน (เซนติเมตร)	น้ำหนักตัว (กรัม)	เพศ	น้ำหนักรังไข่ (กรัม)
112	16	14.5	34	ตัวผู้	-
113	17	15	50	ตัวผู้	-
114	17.5	15	50	ตัวเมีย	6
115	16	14	40	ตัวผู้	-
116	17	15	40	ตัวผู้	6
117	16	14	40	ตัวผู้	-
118	17	15	40	ตัวเมีย	-
119	16	14	48	ตัวผู้	-
120	13.5	12	30	ตัวเมีย	4
121	15.5	12	36	ตัวเมีย	-
122	17.5	14.5	48	ตัวเมีย	-
123	18	14.5	58	ตัวเมีย	10
124	18	15	50	ตัวเมีย	-
125	17.5	15	56	ตัวเมีย	4
126	17	14.5	45	ตัวเมีย	4
127	19	15.2	62	ตัวเมีย	-
128	18.5	15	49	ตัวเมีย	-
129	18	14.5	42	ตัวผู้	-
130	19.5	16	74	ตัวเมีย	-
131	18	13.5	58	ตัวเมีย	-
132	16.5	12.5	52	ตัวผู้	-
133	17.5	13.5	52	ตัวเมีย	-
134	18.5	14	64	ตัวเมีย	-
135	16.5	12.5	48	ตัวผู้	-
136	16.5	12.5	48	ตัวผู้	-
137	17.5	13	56	ตัวเมีย	-

ตารางผนวกที่ 1 (ต่อ)

ลำดับ	ความยาวทั้งหมด (เซนติเมตร)	ความยาวมาตรฐาน (เซนติเมตร)	น้ำหนักตัว (กรัม)	เพศ	น้ำหนักรังไข่ (กรัม)
140	19	14.5	64	ตัวเมีย	0.5
141	16	12.5	54	ตัวเมีย	-
142	17.5	13.5	60	ตัวเมีย	-
143	17.5	13	50	ตัวเมีย	-
144	16.5	13.5	54	ตัวเมีย	-
145	18.5	14.5	66	ตัวเมีย	-
146	18.5	14	64	ตัวเมีย	-
147	16.5	13.5	44	ตัวผู้	3.4
148	16.5	12.5	40	ตัวผู้	-
149	15	12	46	ตัวเมีย	-
150	18	13.5	56	ตัวเมีย	-
151	18	16	60	ตัวผู้	3.45
152	18	16.5	70	ตัวผู้	-
153	18	16	70	ตัวผู้	-
154	18	16	70	ตัวผู้	-
155	17	15	70	ตัวเมีย	-
156	18	16	70	ตัวเมีย	-
157	18	16	70	ตัวเมีย	-
158	18	16	70	ตัวเมีย	-
159	17	15	70	ตัวเมีย	-
160	18	15	70	ตัวเมีย	-
161	18	15	70	ตัวเมีย	-
162	17	15	60	ตัวเมีย	-
163	18	15	60	ตัวผู้	-
164	19	15	60	ตัวผู้	-
165	17	15	50	ตัวผู้	-

ตารางผนวกที่ 1 (ต่อ)

ลำดับ	ความยาวทั้งหมด (เซนติเมตร)	ความยาวมาตรฐาน (เซนติเมตร)	น้ำหนักตัว (กรัม)	เพศ	น้ำหนักรังไข่ (กรัม)
168	17	15	60	ตัวผู้	-
169	17.5	15	60	ตัวเมีย	-
170	17.5	15	64	ตัวเมีย	-
171	17	14.5	40	ตัวผู้	-
172	18.5	16.5	64	ตัวผู้	1.9
173	18.5	15.5	70	ตัวผู้	0.8
174	18.5	15.5	60	ตัวเมีย	3
175	18	16	70	ตัวเมีย	1.7
176	18	15	50	ตัวผู้	0.9
177	17	14.5	60	ตัวผู้	8.15
178	20	17	70	ตัวเมีย	6.2
179	17.5	15	60	ตัวผู้	2.4
180	16	14	60	ตัวเมีย	-
181	14.4	11.5	24	ตัวเมีย	-
182	14.1	11.4	21	ตัวเมีย	-
183	15.5	12.5	28	ตัวเมีย	-
184	15.5	12.3	29	ตัวเมีย	4.75
185	16	12.6	29	ตัวเมีย	-
186	14.3	11.9	24	ตัวเมีย	3.45
187	15	12.8	32	ตัวเมีย	6.65
188	14.5	13.1	27	ตัวเมีย	-
189	17	14.3	38	ตัวเมีย	-
190	13.5	11	18	ตัวผู้	-
191	15	13	30	ตัวผู้	1
192	12	10.5	22	ตัวผู้	1.25
193	17.5	12	22	ตัวผู้	-

ตารางผนวกที่ 1 (ต่อ)

ลำดับ	ความยาวทั้งหมด (เซนติเมตร)	ความยาวมาตรฐาน (เซนติเมตร)	น้ำหนักตัว (กรัม)	เพศ	น้ำหนักรังไข่ (กรัม)
196	13	11	24	ตัวเมีย	-
197	14	11	22	ตัวเมีย	0.3
198	14.5	12	26	ตัวผู้	-
199	14.5	12	32	ตัวเมีย	-
200	13	11	28	ตัวผู้	-
201	14	12	24	ตัวเมีย	-
202	15	14	24	ตัวเมีย	1.9
203	14	12	24	ตัวผู้	-
204	14	12	20	ตัวผู้	-
205	14	12	26	ตัวผู้	-
206	13	11	24	ตัวผู้	1.95
207	15	13	30	ตัวเมีย	-
208	13	11	26	ตัวเมีย	-
209	14	12	30	ตัวเมีย	-
210	11	9	10	ตัวผู้	-
211	15.4	11.2	36.55	ตัวเมีย	-
212	15.5	11.5	32.05	ตัวผู้	-
213	13.5	10	22.05	ตัวเมีย	-
214	15.3	11.5	35.9	ตัวเมีย	-
215	17.5	12.5	41.85	ตัวเมีย	-
216	15.4	11.3	28.25	ตัวเมีย	-
217	14.6	11	31	ตัวผู้	-
218	15.4	11.5	39.25	ตัวผู้	-
219	13	9.5	18.5	ตัวเมีย	-
220	14.5	11	25.1	ตัวเมีย	-
221	13.5	11	24.1	ตัวผู้	-

ตารางผนวกที่ 1 (ต่อ)

ลำดับ	ความยาวทั้งหมด (เซนติเมตร)	ความยาวมาตรฐาน (เซนติเมตร)	น้ำหนักตัว (กรัม)	เพศ	น้ำหนักรังไข่ (กรัม)
224	15.5	13	51.7	ตัวเมีย	-
225	12.5	10.5	27.35	ตัวผู้	-
226	13.5	11	24.4	ตัวผู้	-
227	15	12	38	ตัวเมีย	-
228	13.5	10	29	ตัวผู้	4.2
229	12.5	9.5	23.28	ตัวผู้	-
230	12.3	10	19.98	ตัวผู้	5.1
231	13.4	11	26	ตัวผู้	-
232	12.6	10	27.14	ตัวเมีย	-
233	11.4	9	29.9	ตัวผู้	0.45
234	9.6	7	14.9	ตัวผู้	-
235	11	8.5	14.94	ตัวผู้	-
236	14.6	11	26.9	ตัวเมีย	-
237	13.7	11	31.3	ตัวเมีย	-
238	13.6	11	37.5	ตัวเมีย	-
239	10.5	8	11.12	ตัวผู้	2.5
240	11.4	9	29	ตัวเมีย	-
241	16.2	13.5	45	ตัวผู้	3.7
242	15.5	13.3	56	ตัวเมีย	-
243	17	14.5	51	ตัวเมีย	-
244	16	13.5	57.2	ตัวเมีย	5.05
245	16	13	42.2	ตัวเมีย	-
246	17.5	14.2	63	ตัวเมีย	-
247	17	13.5	60	ตัวเมีย	-
248	15	12	41	ตัวผู้	-
249	17.2	14	57	ตัวเมีย	-

ตารางผนวกที่ 1 (ต่อ)

ลำดับ	ความยาวทั้งหมด (เซนติเมตร)	ความยาวมาตรฐาน (เซนติเมตร)	น้ำหนักตัว (กรัม)	เพศ	น้ำหนักรังไข่ (กรัม)
252	20.6	16	90	ตัวผู้	-
253	18.5	14	65	ตัวเมีย	-
254	20.6	16.5	82	ตัวเมีย	-
255	18.5	14	64	ตัวเมีย	-
256	18.7	14	72	ตัวเมีย	-
257	18.8	15	80	ตัวผู้	-
258	17	13.5	61	ตัวเมีย	-
259	17.1	13.6	63	ตัวเมีย	-
260	18.5	15.5	80	ตัวผู้	-
261	17.6	13.5	55	ตัวผู้	-
262	18.6	15	66.3	ตัวเมีย	-
263	17.5	13.5	60	ตัวเมีย	-
264	17	13	62	ตัวผู้	-
265	18	14	63	ตัวเมีย	-
266	19	15	80.4	ตัวเมีย	-
267	18.2	14.5	76	ตัวเมีย	-
268	20	15.5	84	ตัวผู้	-
269	18	14.5	60	ตัวเมีย	-
270	18.4	14.5	62.6	ตัวเมีย	-
271	17	14	82.2	ตัวเมีย	-
272	20	17.5	80.3	ตัวเมีย	-
273	17	14.1	44.1	ตัวเมีย	-
274	17	14	63.8	ตัวผู้	-
275	19	15.5	64.3	ตัวเมีย	-
276	17.1	14	49.1	ตัวเมีย	-
277	18	14.5	65.2	ตัวเมีย	-

ตารางผนวกที่ 1 (ต่อ)

ลำดับ	ความยาวทั้งหมด (เซนติเมตร)	ความยาวมาตรฐาน (เซนติเมตร)	น้ำหนักตัว (กรัม)	เพศ	น้ำหนักรังไข่ (กรัม)
280	19	16	79.3	ตัวเมีย	-
281	19	15	45.6	ตัวเมีย	-
282	18.4	14.3	52.4	ตัวเมีย	-
283	18.1	15	64	ตัวเมีย	-
284	19.2	15	55.6	ตัวผู้	-
285	19.7	16	70.8	ตัวเมีย	-
286	20	16	64.3	ตัวเมีย	-
287	19	15.4	71.2	ตัวเมีย	-
288	18.5	14.3	61.1	ตัวผู้	-
289	15	12	49.6	ตัวเมีย	-
290	17	14	53.8	ตัวเมีย	-
291	19.5	16	81.7	ตัวเมีย	-
292	19	15	60.4	ตัวเมีย	-
293	17	14	62.3	ตัวผู้	-
294	17	14	59.8	ตัวผู้	-
295	18	14	67.4	ตัวเมีย	-
296	19.6	16	78.1	ตัวเมีย	0.2
297	19	15.3	70.8	ตัวเมีย	0.2
298	19	16	79.4	ตัวผู้	-
299	17	14	57.7	ตัวเมีย	-
300	17	13.5	60.1	ตัวเมีย	-

**ตารางผนวกที่ 2 ข้อมูลความยาวเหยียด (เซนติเมตร) ความยาวมาตรฐาน (เซนติเมตร) น้ำหนักตัว (กรัม)
เพศ และน้ำหนักรังไข่ (กรัม) ของปลาดหัวแข็ง ในระบบนิเวศน์การอยู่อาศัย**

ลำดับ	ความยาวหัวงอด (เซนติเมตร)	ความยาวมาตรฐาน (เซนติเมตร)	น้ำหนักตัว (กรัม)	เพศ	น้ำหนักรังไข่ (กรัม)
1	20	17	62	ตัวผู้	-
2	19	16	69	ตัวผู้	0.6
3	17	15	50	ตัวผู้	-
4	19	16	62	ตัวเมีย	-
5	19	17	70	ตัวผู้	-
6	21	18	79	ตัวผู้	-
7	19	16	62	ตัวผู้	-
8	18	15	59	ตัวผู้	-
9	18	15	50	ตัวผู้	-
10	18	15	59	ตัวผู้	-
11	18	15	61	ตัวเมีย	-
12	18	15	59	ตัวผู้	-
13	22	18	102	ตัวเมีย	-
14	20	18	99	ตัวเมีย	-
15	21	18	90	ตัวผู้	-
16	20	18	89	ตัวผู้	-
17	17	15	50	ตัวผู้	-
18	18	15	56	ตัวผู้	-
19	19	16	71	ตัวผู้	-
20	19	16	79	ตัวเมีย	-
21	18	16	50	ตัวเมีย	-
22	17	14	42	ตัวเมีย	-
23	19	17	90	ตัวผู้	-
24	18	16	51	ตัวผู้	-
25	20	17	80	ตัวผู้	8

ตารางผนวกที่ 2 (ต่อ)

ลำดับ	ความยาวทั้งหมด (เซนติเมตร)	ความยาวมาตรฐาน (เซนติเมตร)	น้ำหนักตัว (กรัม)	เพศ	น้ำหนักรังไข่ (กรัม)
28	21	18	102	ตัวผู้	-
29	21	18	89	ตัวผู้	-
30	18	15	50	ตัวเมีย	-
31	22.5	19	89	ตัวผู้	-
32	22	18	100	ตัวเมีย	-
33	19	17	69	ตัวผู้	-
34	19	16	83	ตัวเมีย	-
35	20	18	84	ตัวผู้	-
36	17	15	68	ตัวเมีย	-
37	18	15	65	ตัวเมีย	-
38	19.5	17	103.5	ตัวผู้	-
39	20	18	88	ตัวผู้	-
40	18	16	68	ตัวเมีย	2
41	18.5	16	80	ตัวเมีย	-
42	20	17	100	ตัวผู้	-
43	20	17	90	ตัวผู้	-
44	21	18	130	ตัวผู้	-
45	19	17	80	ตัวเมีย	-
46	18	15	70	ตัวเมีย	-
47	20	18	80	ตัวเมีย	-
48	19	17	90	ตัวเมีย	-
49	18.1	15	61	ตัวเมีย	-
50	20.1	17	82	ตัวผู้	-
51	21	17.7	99	ตัวผู้	-
52	22.5	18.5	84	ตัวผู้	-
53	20.6	16.5	84	ตัวเมีย	10

ตารางผนวกที่ 2 (ต่อ)

ลำดับ	ความยาวทั้งหมด (เซนติเมตร)	ความยาวมาตรฐาน (เซนติเมตร)	น้ำหนักตัว (กรัม)	เพศ	น้ำหนักร่างไข่ (กรัม)
56	21.3	17.6	84	ตัวผู้	-
57	18.6	15.2	62	ตัวเมีย	-
58	19	16.2	65	ตัวเมีย	-
59	22.3	19.3	110	ตัวผู้	-
60	19.7	16.4	81	ตัวผู้	-
61	21.2	16.6	77	ตัวผู้	-
62	22	17.7	89	ตัวเมีย	-
63	22.4	18.1	97	ตัวเมีย	-
64	20.1	15.8	64	ตัวเมีย	-
65	20.6	16.8	75	ตัวผู้	-
66	19	15.7	62	ตัวเมีย	-
67	21.1	17.9	88	ตัวผู้	-
68	19	15.3	82	ตัวเมีย	-
69	21.5	17.3	75	ตัวผู้	-
70	20.7	17	74	ตัวผู้	-
71	18.5	15.7	69	ตัวผู้	-
72	19.7	15.5	58	ตัวผู้	-
73	19.9	16.4	72	ตัวเมีย	-
74	22	18.4	97	ตัวเมีย	-
75	19.5	16.3	75	ตัวผู้	-
76	19.5	17	80	ตัวผู้	-
77	19	16	70	ตัวผู้	-
78	18	15	60	ตัวผู้	-
79	16	14	60	ตัวเมีย	-
80	18	15.5	70	ตัวเมีย	-
81	19	17	80	ตัวผู้	-

ตารางผนวกที่ 2 (ต่อ)

ลำดับ	ความยาวทั้งหมด (เซนติเมตร)	ความยาวมาตรฐาน (เซนติเมตร)	น้ำหนักตัว (กรัม)	เพศ	น้ำหนักร่างไข่ (กรัม)
84	18	16	70	ตัวเมีย	-
85	18	16	70	ตัวเมีย	-
86	17	15	70	ตัวเมีย	-
87	18	16	70	ตัวผู้	-
88	20	17	70	ตัวเมีย	-
89	19	16	70	ตัวผู้	-
90	19.5	16.5	70	ตัวเมีย	-
91	17	15	60	ตัวเมีย	8
92	21	17	75	ตัวผู้	-
93	18	15	70	ตัวผู้	-
94	18	15.5	70	ตัวผู้	-
95	18	15	70	ตัวเมีย	13
96	19	16.5	80	ตัวเมีย	11.2
97	20	16.5	70	ตัวเมีย	11
98	21	17.5	80	ตัวผู้	-
99	18	15	50	ตัวผู้	-
100	18	16	70	ตัวผู้	10
101	19	17	70	ตัวผู้	-
102	19	16	60	ตัวผู้	-
103	17.5	15	50	ตัวเมีย	-
104	17	14	60	ตัวเมีย	8
105	19	16.5	80	ตัวผู้	7
106	21	16.8	74	ตัวผู้	-
107	19.8	15.7	74	ตัวเมีย	-
108	18.8	14.5	64	ตัวเมีย	5
109	20.5	16.3	78	ตัวผู้	-

ตารางผนวกที่ 2 (ต่อ)

ลำดับ	ความยาวทั้งหมด (เซนติเมตร)	ความยาวมาตรฐาน (เซนติเมตร)	น้ำหนักตัว (กรัม)	เพศ	น้ำหนักรังไข่ (กรัม)
112	19	15	64	ตัวผู้	-
113	23	16	64	ตัวผู้	-
114	21	16	72	ตัวผู้	-
115	19.2	15	60	ตัวผู้	10
116	18	14.5	60	ตัวผู้	10
117	18.6	15	62	ตัวผู้	-
118	18.5	15	64	ตัวผู้	-
119	20	16	80	ตัวเมีย	-
120	19.4	15.2	62	ตัวผู้	-
121	20.5	15.7	68	ตัวผู้	-
122	18.3	14.2	54	ตัวเมีย	-
123	19	15.4	70	ตัวผู้	-
124	20.4	15.7	74	ตัวเมีย	-
125	19.2	15.2	68	ตัวผู้	-
126	19	15.5	66	ตัวผู้	-
127	18.6	15.2	68	ตัวเมีย	-
128	19.8	15.4	68	ตัวเมีย	-
129	18	14.3	50	ตัวผู้	-
130	17.8	14.2	58	ตัวเมีย	-
131	19.5	15.6	68	ตัวผู้	-
132	18	14.3	60	ตัวผู้	-
133	20.2	16.2	72	ตัวผู้	-
134	20	15.3	64	ตัวผู้	-
135	20	15	60	ตัวเมีย	-
136	19	16	58	ตัวเมีย	-
137	20	15.5	62	ตัวผู้	-

ตารางผนวกที่ 2 (ต่อ)

ลำดับ	ความยาวทั้งหมด (เซนติเมตร)	ความยาวมาตรฐาน (เซนติเมตร)	น้ำหนักตัว (กรัม)	เพศ	น้ำหนักรังไข่ (กรัม)
140	20	15.5	62	ตัวเมีย	-
141	18.5	15	58	ตัวผู้	-
142	18.5	15	64	ตัวผู้	-
143	19	15	60	ตัวผู้	-
144	21	17.5	80	ตัวผู้	-
145	19.5	16	58	ตัวผู้	-
146	19	15	60	ตัวผู้	-
147	18	14	48	ตัวเมีย	-
148	18.5	15	54	ตัวผู้	-
149	21	17	74	ตัวผู้	2
150	19.5	15.5	64	ตัวเมีย	1
151	19	15	54	ตัวเมีย	-
152	18	15	52	ตัวผู้	-
153	18	15	52	ตัวเมีย	-
154	20	15.5	60	ตัวผู้	-
155	20	15.5	64	ตัวผู้	-
156	19.5	16.5	68	ตัวผู้	-
157	19.5	16	68	ตัวผู้	-
158	19.5	15.5	62	ตัวผู้	-
159	20	16.5	64	ตัวผู้	-
160	20.5	17	70	ตัวผู้	-
161	19.5	15.5	62	ตัวผู้	-
162	18	14.5	42	ตัวผู้	-
163	20	17.5	74	ตัวผู้	-
164	18	15.5	54	ตัวเมีย	-
165	22	18.4	65	ตัวผู้	-

ตารางผนวกที่ 2 (ต่อ)

ลำดับ	ความยาวทั้งหมด (เซนติเมตร)	ความยาวมาตรฐาน (เซนติเมตร)	น้ำหนักตัว (กรัม)	เพศ	น้ำหนักรังไข่ (กรัม)
168	18	16	62	ตัวเมีย	-
169	18	15	65	ตัวเมีย	-
170	18	16	42	ตัวผู้	-
171	17	15	46	ตัวเมีย	-
172	17	15	47	ตัวผู้	-
173	19	17	70	ตัวผู้	-
174	20	17	71	ตัวเมีย	-
175	19	16	64	ตัวเมีย	-
176	20	17	80	ตัวผู้	-
177	19	17	70	ตัวผู้	-
178	17	15	50	ตัวเมีย	-
179	18	16	60	ตัวผู้	-
180	19	16	70	ตัวเมีย	-
181	18	15	60	ตัวเมีย	-
182	20	18	90	ตัวผู้	4
183	18	16	70	ตัวผู้	-
184	20	17	80	ตัวเมีย	-
185	19	17	70	ตัวเมีย	-
186	20	18	70	ตัวเมีย	-
187	19	16	60	ตัวเมีย	-
188	18	16	40	ตัวผู้	-
189	17	15	42	ตัวผู้	-
190	19	17	62	ตัวผู้	-
191	18	16	62	ตัวเมีย	-
192	19	16	64	ตัวผู้	2
193	18	17	64	ตัวผู้	2

ตารางผนวกที่ 2 (ต่อ)

ลำดับ	ความยาวทั้งหมด (เซนติเมตร)	ความยาวมาตรฐาน (เซนติเมตร)	น้ำหนักตัว (กรัม)	เพศ	น้ำหนักรังไข่ (กรัม)
196	21	15	59	ตัวเมีย	-
197	19	16	60	ตัวผู้	-
198	19.5	15	60	ตัวผู้	-
199	21	17	64	ตัวผู้	-
200	20	16.5	70	ตัวเมีย	-
201	18	15	40	ตัวผู้	-
202	18	14	50	ตัวผู้	-
203	19.5	15.5	68	ตัวผู้	-
204	19	15	64	ตัวเมีย	-
205	22	18	88	ตัวผู้	-
206	19	17	70	ตัวเมีย	-
207	15.5	13	40	ตัวผู้	-
208	16	14	40	ตัวผู้	6.35
209	18	15	60	ตัวเมีย	-
210	17	15	50	ตัวเมีย	-
211	16.5	14	40	ตัวเมีย	6.1
212	17	15	40	ตัวผู้	-
213	19	16	70	ตัวเมีย	4.9
214	17	15	50	ตัวผู้	-
215	18.5	16	70	ตัวเมีย	-
216	20	17.5	70	ตัวผู้	-
217	20	17	80	ตัวผู้	-
218	17	15	50	ตัวเมีย	-
219	16	14	40	ตัวเมีย	-
220	16	14	40	ตัวผู้	1
221	18	14.5	40	ตัวเมีย	-

ตารางผนวกที่ 2 (ต่อ)

ลำดับ	ความยาวทั้งหมด (เซนติเมตร)	ความยาวมาตรฐาน (เซนติเมตร)	น้ำหนักตัว (กรัม)	เพศ	น้ำหนักรังไข่ (กรัม)
224	15	13	40	ตัวผู้	-
225	17	15	60	ตัวผู้	-
226	20	15.8	66	ตัวผู้	5.2
227	21	16	66	ตัวเมีย	5.25
228	19	15.5	50	ตัวผู้	5.8
229	21.5	17.5	72	ตัวผู้	4.95
230	19.5	15.5	59	ตัวเมีย	-
231	22	17	78	ตัวผู้	-
232	18	14.5	54	ตัวเมีย	-
233	19.2	15.5	68	ตัวผู้	4.15
234	20.5	17	70	ตัวเมีย	-
235	21.5	17	76	ตัวผู้	-
236	18	15	68	ตัวเมีย	1.23
237	21	18	82	ตัวเมีย	1.04
238	21	18	90	ตัวเมีย	-
239	20	17	70	ตัวเมีย	-
240	19	16	64	ตัวเมีย	-
241	21	18	68	ตัวเมีย	-
242	20	17	80	ตัวเมีย	6.15
243	17	15	50	ตัวเมีย	-
244	21.5	17	80	ตัวผู้	-
245	20	16	70	ตัวเมีย	-
246	22	18	100	ตัวเมีย	5.65
247	18	16	64	ตัวเมีย	-
248	18	16	70	ตัวผู้	0.47
249	19	16	68	ตัวเมีย	-

ตารางผนวกที่ 2 (ต่อ)

ลำดับ	ความยาวทั้งหมด (เซนติเมตร)	ความยาวมาตรฐาน (เซนติเมตร)	น้ำหนักตัว (กรัม)	เพศ	น้ำหนักรังไข่ (กรัม)
252	18	16	62	ตัวผู้	40
253	19.5	16	78	ตัวผู้	60
254	20	17	80	ตัวผู้	-
255	18.5	15.5	60	ตัวผู้	98
256	21	16.5	94.7	ตัวผู้	-
257	20	14	61.8	ตัวเมีย	122
258	22.25	16.5	100.9	ตัวเมีย	-
259	20	15	64.75	ตัวเมีย	-
260	20.3	16	97.9	ตัวเมีย	60
261	24	16.3	104.65	ตัวเมีย	40
262	22.1	16.1	88.2	ตัวผู้	-
263	20.5	15.4	82.4	ตัวเมีย	32
264	22.6	16.5	89.5	ตัวผู้	-
265	23	17.5	109.95	ตัวเมีย	-
266	22.8	17.5	106.65	ตัวเมีย	-
267	22.9	17	23.7	ตัวผู้	-
268	23.4	15.4	94.05	ตัวเมีย	-
269	20.5	15.3	80.6	ตัวผู้	-
270	22.5	16	107.45	ตัวผู้	-
271	21.8	15.1	82	ตัวเมีย	-
272	24	17.8	117.45	ตัวเมีย	-
273	23	17.1	92.4	ตัวผู้	-
274	21.5	15.9	91.45	ตัวผู้	-
275	23.4	17.2	91.4	ตัวผู้	-
276	21	15.3	73.4	ตัวผู้	-
277	21.4	15.9	86.05	ตัวเมีย	-

ตารางผนวกที่ 2 (ต่อ)

ลำดับ	ความยาวทั้งหมด (เซนติเมตร)	ความยาวมาตรฐาน (เซนติเมตร)	น้ำหนักตัว (กรัม)	เพศ	น้ำหนักรังไข่ (กรัม)
280	19	14.2	78.15	ตัวเมีย	8.1
281	19.4	13.5	60.3	ตัวเมีย	-
282	20.4	15.5	64.15	ตัวผู้	7.7
283	23.4	17.5	71.3	ตัวผู้	-
284	22.2	16.5	76.05	ตัวผู้	9.55
285	21.5	15.5	81.8	ตัวผู้	-
286	17	15	62	ตัวเมีย	-
287	16.5	13	80	ตัวผู้	8.05
288	17.6	15	42	ตัวเมีย	13.05
289	18	14.5	64	ตัวผู้	11
290	17.2	14.2	60	ตัวผู้	-
291	18.6	15	46	ตัวเมีย	7.65
292	18.6	14.2	48	ตัวผู้	-
293	16.4	12.5	60	ตัวเมีย	8.2
294	19	15.6	50	ตัวเมีย	-
295	17.6	14	63	ตัวเมีย	-
296	21.5	17	100	ตัวเมีย	-
297	18.5	15	75	ตัวเมีย	-
298	22	16	90	ตัวเมีย	-
299	18	14	60	ตัวผู้	0.3
300	19.6	15	82	ตัวผู้	5.95
301	18.4	14.5	76	ตัวเมีย	-
302	18.6	14	82	ตัวเมีย	-
303	17	13	78	ตัวเมีย	17.8
304	16.4	13.5	60	ตัวเมีย	-
305	17.5	13	66	ตัวเมีย	-

ตารางผนวกที่ 2 (ต่อ)

ลำดับ	ความยาวทั้งหมด (เซนติเมตร)	ความยาวมาตรฐาน (เซนติเมตร)	น้ำหนักตัว (กรัม)	เพศ	น้ำหนักร่างไข่ (กรัม)
308	19	14	64	ตัวผู้	5.65
309	18	14.5	64	ตัวเมีย	-
310	16.6	13.6	58	ตัวผู้	11.9
311	16	13	66	ตัวผู้	-
312	19	15	88	ตัวเมีย	-
313	17.4	14	80	ตัวผู้	-
314	18	14.5	92	ตัวผู้	15.55
315	18.2	14.5	82	ตัวเมีย	-
316	19	15	68.1	ตัวเมีย	-
317	19.3	14.5	62.5	ตัวผู้	-
318	19.1	17.7	68.2	ตัวเมีย	-
319	17.3	13.5	46.3	ตัวเมีย	0.6
320	17.3	13.2	43	ตัวผู้	-
321	14.3	12.9	45.6	ตัวผู้	-
322	17.2	13.4	53.2	ตัวเมีย	-
323	19.5	14.7	60.7	ตัวเมีย	-
324	18	13.9	68.1	ตัวเมีย	-
325	19.5	15.5	84.9	ตัวเมีย	-
326	15	11.5	40.3	ตัวเมีย	-
327	13.5	10	28.6	ตัวเมีย	-
328	15.8	12.5	43.8	ตัวเมีย	-
329	18.1	13.9	52.8	ตัวผู้	-
330	14.5	11.2	30.1	ตัวผู้	-
331	15.2	11.9	25.4	ตัวเมีย	-
332	17.2	13.9	54.6	ตัวผู้	-
333	18.2	14.4	72	ตัวเมีย	-

ตารางผนวกที่ 2 (ต่อ)

ลำดับ	ความยาวทั้งหมด (เซนติเมตร)	ความยาวมาตรฐาน (เซนติเมตร)	น้ำหนักตัว (กรัม)	เพศ	น้ำหนักร่างไข่ (กรัม)
336	17.8	14	63	ตัวผู้	-
337	16.1	13.2	41.7	ตัวผู้	-
338	14.8	11.2	37.2	ตัวเมีย	-
339	17.2	13.4	50.4	ตัวผู้	-
340	19.8	15	72.1	ตัวผู้	-
341	16.4	12.5	45.9	ตัวเมีย	-
342	19.5	14.3	64.8	ตัวเมีย	-
343	18.6	14.2	63.7	ตัวเมีย	-
344	18.4	14.2	72	ตัวเมีย	-
345	16.6	14	40.8	ตัวผู้	-

**ตารางผนวกที่ 3 ข้อมูลความยาวเหยียด (เซนติเมตร) ความยาวมาตรฐาน (เซนติเมตร) น้ำหนักตัว (กรัม)
เพศ และน้ำหนักรังไข่ (กรัม) ของปลากดหัวอ่อน ในระบบนิเวศน้ำจืด**

ลำดับ	ความยาวหัวงอด (เซนติเมตร)	ความยาวมาตรฐาน (เซนติเมตร)	น้ำหนักตัว (กรัม)	เพศ	น้ำหนักรังไข่ (กรัม)
1	26	23	122	ตัวเมีย	-
2	25	22	110	ตัวผู้	-
3	24	21	120	ตัวเมีย	-
4	25.5	23	150	ตัวเมีย	13
5	22	20	100	ตัวเมีย	-
6	23	21	112	ตัวเมีย	2
7	23.5	21	131	ตัวเมีย	5
8	24	22	120	ตัวเมีย	-
9	18	16.5	60	ตัวผู้	-
10	21	19	72	ตัวผู้	-
11	14.5	12.5	30	ตัวผู้	-
12	15	13	30	ตัวผู้	-
13	15	13.5	32	ตัวผู้	-
14	15.5	13.5	28	ตัวผู้	-
15	24.5	22	110	ตัวเมีย	4
16	22	20	96	ตัวเมีย	10
17	19.5	17	62	ตัวผู้	-
18	21	18.5	70	ตัวผู้	-
19	23	20.5	112	ตัวเมีย	10
20	23	21	84	ตัวผู้	-
21	17	14.5	42	ตัวผู้	-
22	23	25	112	ตัวเมีย	4
23	23.5	21.5	130	ตัวเมีย	4
24	21	18.5	84	ตัวเมีย	8
25	24	21	120	ตัวเมีย	6

ตารางผนวกที่ 3 (ต่อ)

ลำดับ	ความยาวทั้งหมด (เซนติเมตร)	ความยาวมาตรฐาน (เซนติเมตร)	น้ำหนักตัว (กรัม)	เพศ	น้ำหนักรังไข่ (กรัม)
26	20	17.5	62	ตัวผู้	-
27	18.3	16.5	56	ตัวผู้	-
28	17.7	15.7	54	ตัวผู้	-
29	17.5	15.5	54	ตัวผู้	-
30	14	12.5	26	ตัวผู้	-
31	13.4	11.5	20	ตัวผู้	-
32	16.5	15	40	ตัวผู้	-
33	20	17.5	72	ตัวผู้	-
34	13.5	12	20	ตัวผู้	-
35	20.4	18	82	ตัวเมีย	1
36	21.3	19	90	ตัวผู้	-
37	22.5	19.5	90	ตัวเมีย	2
38	26	24	124	ตัวเมีย	2
39	24	21	126	ตัวเมีย	8
40	24	21.5	126	ตัวเมีย	12
41	24.5	22	128	ตัวเมีย	8
42	24	21.5	125	ตัวผู้	-
43	24.5	22	126	ตัวเมีย	4
44	24	22	122	ตัวเมีย	6
45	24	22	124	ตัวเมีย	3
46	24	21	120	ตัวเมีย	6
47	24	22	122	ตัวเมีย	6
48	24.5	22	110	ตัวผู้	-
49	20.5	19	88	ตัวเมีย	6
50	21.5	20	88	ตัวผู้	4
51	23.5	21.5	126	ตัวเมีย	6

ตารางผนวกที่ 3 (ต่อ)

ลำดับ	ความยาวทั้งหมด (เซนติเมตร)	ความยาวมาตรฐาน (เซนติเมตร)	น้ำหนักตัว (กรัม)	เพศ	น้ำหนักรังไข่ (กรัม)
54	22.5	21	120	ตัวเมีย	8
55	21.5	20	100	ตัวเมีย	4
56	24.5	22	120	ตัวเมีย	4
57	19	17	60	ตัวเมีย	-
58	17	15	50	ตัวเมีย	-
59	17	15	40	ตัวผู้	-
60	19	17	60	ตัวผู้	-
61	20	18	74	ตัวเมีย	4
62	16	14	40	ตัวเมีย	-
63	16	14.5	40	ตัวผู้	-
64	16.5	15	40	ตัวเมีย	-
65	16.5	15	50	ตัวผู้	-
66	21	20	80	ตัวผู้	-
67	20	19	74	ตัวผู้	-
68	18	16.5	50	ตัวผู้	-
69	17	14.5	42	ตัวผู้	-
70	18.5	15	58	ตัวเมีย	-
71	20	17	76	ตัวเมีย	-
72	16.5	14.5	44	ตัวผู้	-
73	20	17	60	ตัวเมีย	-
74	19	16.5	58	ตัวเมีย	-
75	19.5	17.5	70	ตัวผู้	-
76	21.5	18.5	74	ตัวผู้	-
77	16	14	44	ตัวผู้	-
78	17.5	15.5	50	ตัวเมีย	-
79	17.5	15	50	ตัวเมีย	-

ตารางผนวกที่ 3 (ต่อ)

ลำดับ	ความยาวทั้งหมด (เซนติเมตร)	ความยาวมาตรฐาน (เซนติเมตร)	น้ำหนักตัว (กรัม)	เพศ	น้ำหนักร่างไข่ (กรัม)
82	18.5	16	64	ตัวผู้	-
83	21.5	18.5	90	ตัวเมีย	1.8
84	18.5	16	60	ตัวเมีย	-
85	18	15.5	50	ตัวผู้	-
86	22	18.5	86	ตัวผู้	-
87	19	16	64	ตัวเมีย	-
88	18	16.5	60	ตัวเมีย	-
89	17	15.5	50	ตัวผู้	-
90	17.5	14.5	46	ตัวเมีย	-
91	19.5	16.5	62	ตัวเมีย	-
92	30.5	17.5	74	ตัวเมีย	-
93	20.5	17.5	70	ตัวผู้	-
94	19	17	64	ตัวเมีย	-
95	18	15.5	50	ตัวเมีย	-
96	19.5	17	70	ตัวผู้	-
97	21	18	78	ตัวเมีย	1.45
98	19	17	70	ตัวเมีย	1
99	19	17	70	ตัวผู้	-
100	20	18	90	ตัวเมีย	3.55
101	19	17	70	ตัวผู้	-
102	17	16	60	ตัวผู้	-
103	18	16	70	ตัวเมีย	0.1
104	20	18	80	ตัวเมีย	0.1
105	19	17	90	ตัวเมีย	0.2
106	19	17	70	ตัวเมีย	0.1
107	20	18.5	80	ตัวเมีย	0.4

ตารางผนวกที่ 3 (ต่อ)

ลำดับ	ความยาวทั้งหมด (เซนติเมตร)	ความยาวมาตรฐาน (เซนติเมตร)	น้ำหนักตัว (กรัม)	เพศ	น้ำหนักร่างไข่ (กรัม)
110	20	18	80	ตัวเมีย	0.4
111	19	17	70	ตัวเมีย	0.5
112	20	18	80	ตัวเมีย	0.75
113	20	17	70	ตัวเมีย	0.1
114	20	18	70	ตัวเมีย	0.2
115	19.5	17	70	ตัวผู้	-
116	19	17	60	ตัวผู้	-
117	20	18	80	ตัวเมีย	0.4
118	18	17	60	ตัวผู้	-
119	20	18	70	ตัวผู้	-
120	20	18	70	ตัวเมีย	0.1
121	21	18	74	ตัวเมีย	0.1
122	20	17	80	ตัวผู้	-
123	21	18	90	ตัวเมีย	1.15
124	19.5	17	70	ตัวเมีย	4.1
125	18	16	70	ตัวเมีย	0.1
126	20	18	80	ตัวผู้	-
127	18.5	16	70	ตัวเมีย	1.7
128	20.5	18.2	64	ตัวผู้	-
129	22	20	108	ตัวเมีย	11.4
130	17.8	15	44	ตัวผู้	-
131	18.9	17.2	60	ตัวผู้	-
132	25	23.1	145	ตัวเมีย	3.4
133	20.5	18.2	71	ตัวผู้	-
134	20.1	17.5	72	ตัวเมีย	2.45
135	17.9	15.5	32	ตัวผู้	-

ตารางผนวกที่ 3 (ต่อ)

ลำดับ	ความยาวทั้งหมด (เซนติเมตร)	ความยาวมาตรฐาน (เซนติเมตร)	น้ำหนักตัว (กรัม)	เพศ	น้ำหนักรังไข่ (กรัม)
138	18	15	62	ตัวผู้	-
139	18	15	42	ตัวผู้	-
140	16	14	18	ตัวผู้	-
141	17	15	44	ตัวผู้	-
142	19	17	60	ตัวเมีย	-
143	18.5	16.5	60	ตัวผู้	-
144	16.5	15	40	ตัวเมีย	-
145	18.5	16.5	60	ตัวผู้	-
146	21.5	19.5	78	ตัวผู้	-
147	19.5	17	60	ตัวเมีย	-
148	15.5	14	44	ตัวผู้	-
149	18.5	17.5	70	ตัวผู้	-
150	19	16.5	64	ตัวเมีย	-
151	19	17	60	ตัวเมีย	-
152	17	15	44	ตัวเมีย	-
153	16	14	30	ตัวผู้	-
154	18	16	50	ตัวเมีย	-
155	19	17	62	ตัวเมีย	-
156	23	21	92	ตัวเมีย	2
157	18	16	60	ตัวผู้	-
158	18.6	15	56.95	ตัวผู้	-
159	21.9	17.5	77.55	ตัวเมีย	1.85
160	22.7	18.5	108.95	ตัวเมีย	3.2
161	20	16.5	53.8	ตัวผู้	-
162	19.1	15.4	43.35	ตัวผู้	-
163	21.1	18	62.7	ตัวผู้	-

ตารางผนวกที่ 3 (ต่อ)

ลำดับ	ความยาวทั้งหมด (เซนติเมตร)	ความยาวมาตรฐาน (เซนติเมตร)	น้ำหนักตัว (กรัม)	เพศ	น้ำหนักรังไข่ (กรัม)
166	20.4	16.4	60.5	ตัวเมีย	-
167	20.5	16.6	64.6	ตัวผู้	-
168	18.5	15	66.65	ตัวเมีย	2
169	13.4	11	28.2	ตัวเมีย	-
170	20.4	18	72.15	ตัวผู้	-
171	22.2	18	78.45	ตัวเมีย	-
172	17.2	14	46.45	ตัวเมีย	-
173	17.4	14	61.5	ตัวเมีย	-
174	17.7	11.5	50.4	ตัวผู้	-
175	14.1	12	32.35	ตัวผู้	-
176	14.6	12	29.9	ตัวเมีย	-
177	16	13	37.8	ตัวเมีย	-
178	17.2	14	52.25	ตัวเมีย	-
179	20.2	17	83.05	ตัวเมีย	3.95
180	17.2	14	48.7	ตัวผู้	-
181	15.4	12.5	35.05	ตัวผู้	-
182	17	13.5	45.05	ตัวผู้	-
183	16	13.4	38.2	ตัวผู้	-
184	25.5	20	93.7	ตัวผู้	-
185	25.5	20.5	131	ตัวเมีย	-
186	20.5	16.6	74.55	ตัวผู้	-
187	24.8	20	117.86	ตัวผู้	-
188	20	17	76	ตัวเมีย	-
189	19.3	17	60	ตัวผู้	-
190	16.2	13.5	41	ตัวเมีย	-
191	18.4	16.9	80	ตัวเมีย	0.5

ตารางผนวกที่ 3 (ต่อ)

ลำดับ	ความยาวทั้งหมด (เซนติเมตร)	ความยาวมาตรฐาน (เซนติเมตร)	น้ำหนักตัว (กรัม)	เพศ	น้ำหนักรังไข่ (กรัม)
194	18.2	15.5	70	ตัวเมีย	-
195	18.3	16.1	71	ตัวเมีย	-
196	18.4	16	73	ตัวเมีย	-
197	15.2	13	42	ตัวผู้	-
198	20.2	17	82	ตัวเมีย	10
199	23	18.5	100	ตัวเมีย	0.5
200	18.5	15.5	62	ตัวผู้	-
201	23	19	100	ตัวเมีย	-
202	22.6	18	98	ตัวเมีย	12
203	19.5	15	66	ตัวผู้	-
204	23.4	19.5	120	ตัวเมีย	-
205	19	15.5	64	ตัวเมีย	-
206	22.4	18.5	100	ตัวเมีย	-
207	21.2	17.5	84	ตัวผู้	-
208	20	17	80	ตัวเมีย	-
209	19.3	16.5	78	ตัวเมีย	-
210	22.5	18	98	ตัวเมีย	-
211	21.2	17.5	82	ตัวเมีย	20.2
212	21.8	18.3	98	ตัวผู้	-
213	22	18	90	ตัวผู้	-
214	22.2	18	120	ตัวเมีย	-
215	19.6	15.5	80	ตัวเมีย	-
216	18	14.5	60	ตัวเมีย	-
217	19.6	16	68	ตัวเมีย	-
218	19.2	16	82.3	ตัวผู้	-
219	19	15.5	86	ตัวเมีย	-

ตารางผนวกที่ 3 (ต่อ)

ลำดับ	ความยาวทั้งหมด (เซนติเมตร)	ความยาวมาตรฐาน (เซนติเมตร)	น้ำหนักตัว (กรัม)	เพศ	น้ำหนักรังไข่ (กรัม)
222	19.8	16	69.3	ตัวเมีย	-
223	20	16.4	67.1	ตัวเมีย	-
224	18.7	16	95.8	ตัวเมีย	0.2
225	18.5	16.5	80.9	ตัวผู้	-
226	20	17	92.1	ตัวเมีย	-
227	21	17.3	80.4	ตัวเมีย	-
228	22	17.6	102.7	ตัวเมีย	-
229	21	16.5	69.8	ตัวผู้	-
230	20.5	16.8	83.3	ตัวเมีย	-
231	19.6	16.5	86.2	ตัวเมีย	-
232	21.5	18	102.3	ตัวเมีย	-
233	24	20	122.2	ตัวเมีย	0.5
234	17	15	58.4	ตัวผู้	-
235	19	16	66.5	ตัวเมีย	-
236	20	16.2	84.6	ตัวผู้	-
237	20.5	17	82.9	ตัวเมีย	-
238	19	16.2	81.1	ตัวเมีย	-
239	20.5	17.5	83.8	ตัวเมีย	-
240	21	18.5	82.4	ตัวผู้	-
241	20	16.6	82.3	ตัวผู้	-
242	19.2	16.6	69.2	ตัวเมีย	-
243	20	17	78.8	ตัวผู้	-
244	18	15	68.6	ตัวผู้	-
245	20	17	79.9	ตัวผู้	-
246	21	17.2	84.3	ตัวเมีย	-
247	20	16.5	68.4	ตัวเมีย	-

**ตารางผนวกที่ 4 ข้อมูลความยาวเหยียด (เซนติเมตร) ความยาวมาตรฐาน (เซนติเมตร) น้ำหนักตัว (กรัม)
เพศ และน้ำหนักรังไข่ (กรัม) ของปลาดหัวอ่อน ในระบบนิเวศน์กรร้อย**

ลำดับ	ความยาวหัวงุด (เซนติเมตร)	ความยาวมาตรฐาน (เซนติเมตร)	น้ำหนักตัว (กรัม)	เพศ	น้ำหนักรังไข่ (กรัม)
1	24	22	120	ตัวเมีย	-
2	23	21	103	ตัวเมีย	-
3	29	17	59	ตัวผู้	-
4	18	16	50	ตัวผู้	-
5	22	19	91	ตัวผู้	-
6	21	19	72	ตัวผู้	-
7	22	19	90	ตัวผู้	-
8	23	20	89	ตัวผู้	-
9	18	15	50	ตัวผู้	-
10	25	22	110	ตัวเมีย	-
11	23	21	89	ตัวผู้	-
12	24	21	102	ตัวผู้	-
13	25	21	112	ตัวผู้	-
14	22	20	90	ตัวผู้	-
15	19	17	62	ตัวผู้	-
16	24	21	91	ตัวผู้	-
17	22	19	99	ตัวผู้	-
18	25	22	129	ตัวเมีย	-
19	21	19	70	ตัวผู้	-
20	16	14	39	ตัวผู้	-
21	17	15	42	ตัวผู้	-
22	23	20	100	ตัวเมีย	-
23	23	20	79	ตัวผู้	-
24	24	21	100	ตัวเมีย	-
25	21	18	70	ตัวผู้	-

ตารางผนวกที่ 4 (ต่อ)

ลำดับ	ความยาวทั้งหมด (เซนติเมตร)	ความยาวมาตรฐาน (เซนติเมตร)	น้ำหนักตัว (กรัม)	เพศ	น้ำหนักร่างไข่ (กรัม)
28	23	20	90	ตัวผู้	2.8
29	23	20	80	ตัวผู้	-
30	22	19	66	ตัวผู้	-
31	23	19	105	ตัวผู้	-
32	20	18	84	ตัวผู้	-
33	20	18	68	ตัวผู้	-
34	22	19	88	ตัวเมีย	-
35	21	18	89	ตัวเมีย	-
36	20	18	89	ตัวเมีย	-
37	22	19	83	ตัวเมีย	-
38	20	18	69	ตัวเมีย	-
39	18	16	66	ตัวเมีย	-
40	22	19	102	ตัวผู้	-
41	21	18	88	ตัวเมีย	-
42	23	21	123	ตัวผู้	-
43	20	18	86	ตัวเมีย	-
44	23	20	105	ตัวผู้	3
45	20	18	100	ตัวผู้	-
46	21	19	100	ตัวเมีย	-
47	24	21	141	ตัวผู้	-
48	21	19	105	ตัวเมีย	-
49	20	18	81	ตัวเมีย	-
50	20	18	60	ตัวผู้	-
51	21	19	80	ตัวผู้	-
52	19	17	70	ตัวผู้	-
53	22	20	100	ตัวเมีย	-

ตารางผนวกที่ 4 (ต่อ)

ลำดับ	ความยาวทั้งหมด (เซนติเมตร)	ความยาวมาตรฐาน (เซนติเมตร)	น้ำหนักตัว (กรัม)	เพศ	น้ำหนักร่างไข่ (กรัม)
56	18	16	70	ตัวผู้	-
57	21	18	80	ตัวผู้	-
58	21	19	90	ตัวเมีย	-
59	20	18	90	ตัวเมีย	-
60	23	20	100	ตัวเมีย	-
61	22	20	100	ตัวเมีย	-
62	20	17	70	ตัวผู้	-
63	18	16	60	ตัวผู้	-
64	22	19	90	ตัวเมีย	-
65	20	17	80	ตัวผู้	-
66	18	16	60	ตัวผู้	-
67	23	20	110	ตัวเมีย	-
68	21	28	80	ตัวผู้	-
69	20	17	90	ตัวเมีย	-
70	21.5	18.9	74	ตัวผู้	-
71	21.5	18.2	76	ตัวผู้	-
72	23.2	20.4	90	ตัวเมีย	-
73	24.3	21.5	102	ตัวเมีย	-
74	21.1	18.3	72	ตัวผู้	-
75	23	19.8	92	ตัวเมีย	-
76	24	21.3	100	ตัวผู้	-
77	21.4	18.9	88	ตัวผู้	-
78	20.5	17.8	71	ตัวผู้	-
79	20	17.4	55	ตัวเมีย	-
80	18	15	40	ตัวผู้	-
81	21	19	70	ตัวผู้	8

ตารางผนวกที่ 4 (ต่อ)

ลำดับ	ความยาวทั้งหมด (เซนติเมตร)	ความยาวมาตรฐาน (เซนติเมตร)	น้ำหนักตัว (กรัม)	เพศ	น้ำหนักรังไข่ (กรัม)
84	22	19	90	ตัวเมีย	-
85	22	19	90	ตัวเมีย	-
86	23	20	100	ตัวเมีย	10
87	19	17	70	ตัวผู้	-
88	22	19	80	ตัวผู้	-
89	22	19	90	ตัวเมีย	-
90	18	15	50	ตัวผู้	6
91	19	16	70	ตัวผู้	-
92	19	17	80	ตัวผู้	-
93	22	18.5	90	ตัวเมีย	7
94	23	19	80	ตัวผู้	-
95	22	19	90	ตัวเมีย	9
96	20	17	80	ตัวผู้	-
97	22	19	80	ตัวผู้	-
98	19	16	70	ตัวผู้	-
99	22	19	100	ตัวเมีย	-
100	20	16	70	ตัวผู้	-
101	19	16	70	ตัวผู้	5
102	22	19	100	ตัวเมีย	-
103	18	16	60	ตัวผู้	-
104	20	18	70	ตัวผู้	-
105	22	19	90	ตัวเมีย	-
106	19	15.7	60	ตัวเมีย	-
107	18.7	16	60	ตัวผู้	-
108	23.3	20	101	ตัวผู้	-
109	20	17	66	ตัวเมีย	-

ตารางผนวกที่ 4 (ต่อ)

ลำดับ	ความยาวทั้งหมด (เซนติเมตร)	ความยาวมาตรฐาน (เซนติเมตร)	น้ำหนักตัว (กรัม)	เพศ	น้ำหนักร่างไข่ (กรัม)
112	17.7	15	44	ตัวผู้	-
113	18	15.5	50	ตัวผู้	-
114	19	16	62	ตัวเมีย	-
115	20.5	17.4	70	ตัวเมีย	-
116	18.5	16	62	ตัวผู้	-
117	18.2	15.5	50	ตัวผู้	-
118	18	15.5	52	ตัวผู้	-
119	19	15.5	50	ตัวเมีย	-
120	19	16.5	62	ตัวเมีย	-
121	20	17	70	ตัวเมีย	-
122	19	16	60	ตัวผู้	-
123	19	16.5	60	ตัวเมีย	-
124	18.5	15.6	58	ตัวผู้	-
125	19.5	16.6	65	ตัวเมีย	-
126	19	16	60	ตัวผู้	-
127	21	18.3	86	ตัวเมีย	-
128	18	15.5	60	ตัวผู้	-
129	20	17	66	ตัวเมีย	-
130	20	17.3	70	ตัวผู้	-
131	20	17	66	ตัวเมีย	-
132	20	17.3	80	ตัวผู้	-
133	20.5	17.7	76	ตัวเมีย	-
134	18.5	16	58	ตัวผู้	-
135	21	17.8	72	ตัวเมีย	-
136	23	20.5	100	ตัวผู้	-
137	18.5	16	50	ตัวเมีย	2

ตารางผนวกที่ 4 (ต่อ)

ลำดับ	ความยาวทั้งหมด (เซนติเมตร)	ความยาวมาตรฐาน (เซนติเมตร)	น้ำหนักตัว (กรัม)	เพศ	น้ำหนักรังไข่ (กรัม)
140	23.5	20	100	ตัวเมีย	1
141	18.5	16.5	52	ตัวผู้	4
142	19	16.5	58	ตัวผู้	-
143	19.5	17	53	ตัวผู้	-
144	20.5	18	72	ตัวเมีย	-
145	19	15	56	ตัวผู้	-
146	19.5	17	58	ตัวผู้	-
147	19.5	17	60	ตัวผู้	1
148	19	16	56	ตัวผู้	-
149	18.5	16	54	ตัวผู้	-
150	20	17.5	60	ตัวผู้	-
151	20.5	18	72	ตัวผู้	1
152	18	16	52	ตัวผู้	-
153	20	17.5	68	ตัวเมีย	-
154	21	18.5	88	ตัวผู้	-
155	19	16.5	52	ตัวผู้	-
156	19	17	59	ตัวผู้	-
157	18.5	16	50	ตัวผู้	-
158	19.5	17	64	ตัวผู้	-
159	19.5	16	62	ตัวเมีย	-
160	22.5	19.5	90	ตัวเมีย	-
161	19	16.5	60	ตัวผู้	-
162	20	16.7	67	ตัวผู้	-
163	19	15.4	61	ตัวผู้	-
164	20.4	17.8	65	ตัวผู้	-
165	18	15.7	51	ตัวผู้	-

ตารางผนวกที่ 4 (ต่อ)

ลำดับ	ความยาวทั้งหมด (เซนติเมตร)	ความยาวมาตรฐาน (เซนติเมตร)	น้ำหนักตัว (กรัม)	เพศ	น้ำหนักร่างไข่ (กรัม)
168	23	22	100	ตัวผู้	-
169	22	20	90	ตัวผู้	-
170	25	24	150	ตัวเมีย	1
171	24	20	95	ตัวเมีย	-
172	21	19	100	ตัวเมีย	-
173	19	17	85	ตัวผู้	-
174	16	14	50	ตัวผู้	-
175	23	22	110	ตัวผู้	-
176	17	15	40	ตัวผู้	-
177	17	15	40	ตัวผู้	-
178	18	17	60	ตัวเมีย	-
179	18	17	60	ตัวเมีย	-
180	19	18	60	ตัวเมีย	-
181	18	17	60	ตัวผู้	-
182	19	17	70	ตัวผู้	-
183	17	16	70	ตัวเมีย	-
184	22	19	70	ตัวผู้	-
185	18	17	70	ตัวเมีย	-
186	16	14	52	ตัวผู้	-
187	18	16	61	ตัวผู้	-
188	23	21	100	ตัวผู้	-
189	23	20	90	ตัวเมีย	-
190	18	17	50	ตัวผู้	-
191	22	19	102	ตัวผู้	-
192	19	17	90	ตัวเมีย	4.6
193	20	18	110	ตัวผู้	-

ตารางผนวกที่ 4 (ต่อ)

ลำดับ	ความยาวทั้งหมด (เซนติเมตร)	ความยาวมาตรฐาน (เซนติเมตร)	น้ำหนักตัว (กรัม)	เพศ	น้ำหนักรังไข่ (กรัม)
196	21	18.5	90	ตัวผู้	-
197	23	20.5	92	ตัวเมีย	-
198	19.5	17.5	70	ตัวเมีย	11.85
199	21	19	70	ตัวเมีย	-
200	20.5	18	74	ตัวเมีย	-
201	22	20	77	ตัวเมีย	-
202	19.5	16	70	ตัวผู้	-
203	22	19	80	ตัวเมีย	-
204	21	18	69	ตัวเมีย	-
205	20.5	17.5	68	ตัวเมีย	-
206	22	19	70	ตัวผู้	-
207	19	16	60	ตัวผู้	-
208	24	22	90	ตัวเมีย	-
209	19	16	70	ตัวผู้	-
210	18	15.5	50	ตัวผู้	-
211	20	17.5	70	ตัวเมีย	-
212	21	18.5	79	ตัวเมีย	-
213	19	17	50	ตัวผู้	-
214	22	20	72	ตัวผู้	-
215	23	20.5	82	ตัวผู้	-
216	18	16	50	ตัวผู้	-
217	20	17.5	70	ตัวผู้	-
218	19	17	60	ตัวผู้	-
219	23	21	90	ตัวผู้	-
220	20.5	18.5	70	ตัวผู้	-
221	17	15.5	40	ตัวผู้	-

ตารางผนวกที่ 4 (ต่อ)

ลำดับ	ความยาวทั้งหมด (เซนติเมตร)	ความยาวมาตรฐาน (เซนติเมตร)	น้ำหนักตัว (กรัม)	เพศ	น้ำหนักร่างไข่ (กรัม)
224	18.5	16.5	60	ตัวผู้	0.25
225	17	15.5	50	ตัวผู้	0.3
226	21.5	18	81	ตัวเมีย	-
227	21.5	18.5	86	ตัวผู้	-
228	20.3	17	66	ตัวผู้	-
229	20.4	17	74	ตัวเมีย	0.5
230	21	17.5	70	ตัวเมีย	0.65
231	21.5	18	78	ตัวผู้	-
232	20	17.4	64	ตัวเมีย	-
233	21.9	18.5	78	ตัวผู้	-
234	20	17	66	ตัวเมีย	0.57
235	22.3	19	91	ตัวเมีย	-
236	21	18	80	ตัวเมีย	-
237	20	18	80	ตัวผู้	0.19
238	20	18	76	ตัวเมีย	0.49
239	19	17	60	ตัวผู้	-
240	20	18	80	ตัวผู้	-
241	20	18	80	ตัวผู้	-
242	21	18	64	ตัวเมีย	-
243	21	19	90	ตัวเมีย	-
244	21	18	80	ตัวผู้	-
245	20	17	60	ตัวเมีย	-
246	21	18.5	90	ตัวผู้	-
247	20	18	72	ตัวผู้	-
248	19.5	16	60	ตัวผู้	-
249	19	17	70	ตัวเมีย	-

ตารางผนวกที่ 4 (ต่อ)

ลำดับ	ความยาวทั้งหมด (เซนติเมตร)	ความยาวมาตรฐาน (เซนติเมตร)	น้ำหนักตัว (กรัม)	เพศ	น้ำหนักรังไข่ (กรัม)
252	21	18.5	64	ตัวเมีย	0.7
253	21	18.5	74	ตัวผู้	-
254	22	18.5	78	ตัวเมีย	-
255	22	17.5	66	ตัวผู้	-
256	27.1	21.5	151.45	ตัวเมีย	0.65
257	28	22.5	150.15	ตัวผู้	-
258	24.5	19	113.4	ตัวเมีย	2.5
259	24.8	20	105.8	ตัวผู้	-
260	21.5	17	76.4	ตัวผู้	1
261	23.5	19	88.45	ตัวผู้	-
262	25.3	19.6	130.5	ตัวเมีย	5.4
263	26.5	20.9	125.5	ตัวผู้	-
264	26.2	20.5	130.2	ตัวผู้	0.65
265	21.8	17.1	85.9	ตัวผู้	-
266	25.5	21	130.7	ตัวผู้	-
267	25.6	20.5	134.75	ตัวผู้	-
268	24.5	18.5	104.55	ตัวผู้	-
269	24.5	20	108.7	ตัวผู้	0.8
270	27	21	138.9	ตัวผู้	-
271	24.5	19	140.2	ตัวเมีย	-
272	25.5	20.1	141.35	ตัวผู้	-
273	25.5	18.1	87.75	ตัวผู้	-
274	22.2	18.5	82.95	ตัวเมีย	-
275	24.2	19	91.8	ตัวผู้	-
276	21.5	16.5	66.3	ตัวผู้	-
277	27.5	23	155.35	ตัวผู้	-

ตารางพนวกที่ 4 (ต่อ)

ลำดับ	ความยาวทั้งหมด (เซนติเมตร)	ความยาวมาตรฐาน (เซนติเมตร)	น้ำหนักตัว (กรัม)	เพศ	น้ำหนักรังไข่ (กรัม)
280	22.5	18.5	109.95	ตัวผู้	0.5
281	23.5	18.5	89.75	ตัวผู้	-
282	25.5	20	131.05	ตัวผู้	5.5
283	25.5	20.5	75.45	ตัวเมีย	-
284	20.5	16.5	75.45	ตัวผู้	8.05
285	24.8	20	118.12	ตัวผู้	-
286	19	16	44	ตัวเมีย	-
287	19.8	16.4	72	ตัวเมีย	-
288	16.2	13.4	46	ตัวเมีย	4.1
289	18.9	16	86	ตัวเมีย	-
290	18	14.6	50	ตัวผู้	-
291	17	13.4	57	ตัวเมีย	-
292	20	16.5	65	ตัวเมีย	-
293	21	17.1	83	ตัวเมีย	-
294	17.5	15	59	ตัวผู้	-
295	19.5	16	60	ตัวผู้	-
296	22.6	19	128	ตัวเมีย	-
297	18.8	15.5	60	ตัวเมีย	2.75
298	24.5	20.5	110	ตัวเมีย	-
299	22	18.6	104	ตัวเมีย	-
300	22	18	100	ตัวเมีย	-
301	22.2	17	80	ตัวเมีย	-
302	21.6	18	98	ตัวผู้	-
303	20.8	16.5	78	ตัวเมีย	-
304	20	16.6	80	ตัวเมีย	-
305	20	17	82	ตัวเมีย	-

ตารางผนวกที่ 4 (ต่อ)

ลำดับ	ความยาวทั้งหมด (เซนติเมตร)	ความยาวมาตรฐาน (เซนติเมตร)	น้ำหนักตัว (กรัม)	เพศ	น้ำหนักรังไข่ (กรัม)
308	21.2	17.5	80	ตัวเมีย	-
309	21.2	17.5	80	ตัวเมีย	-
310	19.6	16	78	ตัวเมีย	-
311	23	19	100	ตัวเมีย	-
312	21.2	17.5	82	ตัวเมีย	-
313	20	16.5	82	ตัวเมีย	-
314	22.2	18.4	100	ตัวเมีย	-
315	22	17	86	ตัวผู้	10
316	21.1	16.5	72.7	ตัวผู้	-
317	20.2	17.2	81.5	ตัวผู้	-
318	19.8	17.1	94.3	ตัวเมีย	-
319	20.2	15.7	61.2	ตัวเมีย	-
320	20.4	16.5	71.4	ตัวผู้	-
321	20.1	15.9	72.3	ตัวเมีย	-
322	20.3	15.9	69.8	ตัวเมีย	-
323	20.5	16.5	68.5	ตัวเมีย	-
324	21.5	17.3	71.3	ตัวผู้	-
325	22.1	17.5	81.3	ตัวเมีย	-
326	22.1	17.4	89.5	ตัวเมีย	-
327	20.1	16.3	64.2	ตัวเมีย	-
328	19.3	15.5	62.5	ตัวเมีย	-
329	20.5	17	80.9	ตัวผู้	-
330	20.4	16.9	90	ตัวเมีย	-
331	18.2	15.9	62.5	ตัวเมีย	-
332	19.2	16.4	65.9	ตัวเมีย	-
333	22.2	18.5	92.3	ตัวผู้	-

ตารางผนวกที่ 4 (ต่อ)

ลำดับ	ความยาวทั้งหมด (เซนติเมตร)	ความยาวมาตรฐาน (เซนติเมตร)	น้ำหนักตัว (กรัม)	เพศ	น้ำหนักรังไข่ (กรัม)
336	19.2	15.2	65.5	ตัวเมีย	-
337	20.9	17	80.5	ตัวเมีย	-
338	21.4	17.2	82.3	ตัวเมีย	-
339	18.6	14.5	60.5	ตัวผู้	-
340	20.8	17.5	71.5	ตัวเมีย	-
341	20.2	17	92.5	ตัวเมีย	-
342	22.4	18.3	91.3	ตัวเมีย	-
343	22.7	18.5	91.9	ตัวผู้	-
344	24.2	19.5	105	ตัวเมีย	-
345	19.8	16.3	99.1	ตัวเมีย	-

ตารางผนวกที่ 5 ดัชนีความสมบูรณ์เพศ ของปลากรดหัวแข็ง บริเวณระบบนิเวศน้ำจืด

เดือน	จำนวนเพศเมีย	ระบบนิเวศน้ำจืด
		ดัชนีความสมบูรณ์เพศ ± ส่วนเบี่ยงเบนมาตรฐาน
ม.ค.-50	29	8.16 ± 4.31
ก.พ.-50	17	ไม่สามารถชั่งรังไข่ได้เนื่องจากไม่สมบูรณ์เพศ
มี.ค.-50	ไม่มีตัวอย่าง	-
เม.ย.-50	ไม่มีตัวอย่าง	-
พ.ค.-50	10	8.77 ± 4.69
มิ.ย.-50	6	6.29 ± 2.04
ก.ค.-50	4	2.93 ± 2.40
ส.ค.-50	15	4.36 ± 3.56
ก.ย.-50	2	5.84 ± 1.00
ต.ค.-50	6	10.57 ± 7.39
พ.ย.-50	21	ไม่สามารถชั่งรังไข่ได้เนื่องจากไม่สมบูรณ์เพศ
ธ.ค.-50	3	0.47 ± 0.33

ตารางผนวกที่ 6 ดัชนีความสมบูรณ์เพศ ของปลากรดหัวแข็ง บริเวณระบบนิเวศน้ำกร่อย

ระบบนิเวศน้ำกร่อย		
เดือน	จำนวนเพศเมีย	ดัชนีความสมบูรณ์เพศ ± ส่วนเบี่ยงเบนมาตรฐาน
ม.ค.-50	2	13.1 ± 4.66
ก.พ.-50	10	ไม่สามารถชั่งรังไข่ได้เนื่องจากไม่สมบูรณ์เพศ
มี.ค.-50	11	11.57 ± 2.80
เม.ย.-50	14	ไม่สามารถชั่งรังไข่ได้เนื่องจากไม่สมบูรณ์เพศ
พ.ค.-50	2	2.13 ± 0.81
มิ.ย.-50	4	4.28 ± 1.48
ก.ค.-50	13	5.96 ± 3.44
ส.ค.-50	11	85.39 ± 59.59
ก.ย.-50	8	13.19 ± 3.45
ต.ค.-50	8	7.06 ± 6.45
พ.ย.-50	18	ไม่สามารถชั่งรังไข่ได้เนื่องจากไม่สมบูรณ์เพศ
ธ.ค.-50	19	ไม่สามารถชั่งรังไข่ได้เนื่องจากไม่สมบูรณ์เพศ

ตารางผนวกที่ 7 ดัชนีความสมบูรณ์เพศ ของปลากรดหัวอ่อน บริเวณระบบนิเวศน้ำจืด

เดือน	จำนวนเพศเมีย	ระบบนิเวศน้ำจืด
		ดัชนีความสมบูรณ์เพศ \pm ส่วนเบี่ยงเบนมาตรฐาน
ม.ค.-50	3	4.76 \pm 3.54
ก.พ.-50	ไม่มีตัวอย่าง*	-
มี.ค.-50	ไม่มีตัวอย่าง*	-
เม.ย.-50	ไม่มีตัวอย่าง*	-
พ.ค.-50	9	5.29 \pm 3.43
มิ.ย.-50	18	4.79 \pm 1.97
ก.ค.-50	2	1.93 \pm 0.10
ส.ค.-50	19	1.03 \pm 1.52
ก.ย.-50	4	4.62 \pm 4.00
ต.ค.-50	4	3.27 \pm 1.03
พ.ย.-50	5	10.04 \pm 10.03
ธ.ค.-50	2	0.31 \pm 0.14

ตารางผนวกที่ 8 ดัชนีความสมบูรณ์เพศ ของปลากรดหัวอ่อน บริเวณระบบนิเวศน้ำกร่อย

ระบบนิเวศน้ำกร่อย		
เดือน	จำนวนเพศเมีย	ดัชนีความสมบูรณ์เพศ ± ส่วนเบี่ยงเบนมาตรฐาน
ม.ค.-50	3	2.24 ± 0.53
ก.พ.-50	11	ไม่สามารถชั้งรังไข่ได้เนื่องจากไม่สมบูรณ์เพศ
มี.ค.-50	6	7.74 ± 1.93
เม.ย.-50	10	ไม่สามารถชั้งรังไข่ได้เนื่องจากไม่สมบูรณ์เพศ
พ.ค.-50	5	2.63 ± 1.81
มิ.ย.-50	1	1.3889
ก.ค.-50	2	8.48 ± 4.77
ส.ค.-50	8	0.57 ± 0.21
ก.ย.-50	8	2.04 ± 2.18
ต.ค.-50	4	3.96 ± 2.21
พ.ย.-50	1	11.62791
ธ.ค.-50	21	ไม่สามารถชั้งรังไข่ได้เนื่องจากไม่สมบูรณ์เพศ

ประวัติการศึกษา และการทำงาน

ชื่อ – นามสกุล	นายธีรนันท์ เทพรักษ์
วัน เดือน ปี ที่เกิด	วันที่ 13 มกราคม 2527
สถานที่เกิด	จังหวัดปัตตานี
ประวัติการศึกษา	วิทยาศาสตรบัณฑิต (ประมาณ) คณะเกษตรศาสตร์ นครศรีธรรมราช (วิทยาเขตนครศรีธรรมราช) มหาวิทยาลัยเทคโนโลยีราชมงคลครุวิชัย จังหวัดนครศรีธรรมราช
ตำแหน่งหน้าที่การงานปัจจุบัน	-
สถานที่ทำงานปัจจุบัน	-
ผลงานเด่นและรางวัลทางวิชาการ	-
ทุนการศึกษาที่ได้รับ	-